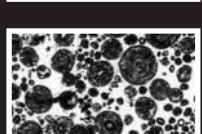
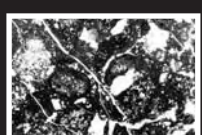


T
A
V
O
L
E



P
L
A
T
E
S

TAVOLA I

Fig. 1 – Dolomia con Megalodontidi nel Triassico superiore (Retico) di Monte Cefalo (Monti Aurunci, Lazio meridionale).

Fig. 2 – Bioorizzonte con Coralli coloniali nel Triassico superiore (Retico) di Monte Cefalo (Monti Aurunci, Lazio meridionale).

PLATE I

Fig. 1 – Dolomite with Megalodontidae in the Upper Triassic (Rhaetian) of Monte Cefalo (Aurunci Mts., Southern Latium).

Fig. 2 – Biohorizon with Corals colony in the Upper Triassic (Rhaetian) of Monte Cefalo (Aurunci Mts., Southern Latium).

Tavola I



1



2

TAVOLA II

Fig. 1 – Calcare con *Lithiotis* del Lias medio; parte iniziale della successione stratigrafica di Monte Vomero (Monti Aurunci, Lazio meridionale).

Fig. 2 – Calcare con *Palaeodasycladus* del Lias medio; base della successione stratigrafica di Monte Vomero (Monti Aurunci, Lazio meridionale).

PLATE II

Fig. 1 – *Limestone layer with Lithiotis in the Pliensbachian of Monte Vomero (Aurunci Mts., Southern Latium).*

Fig. 2 – *Limestone with Palaeodasycladus in the Pliensbachian of Monte Vomero (Aurunci Mts., Southern Latium).*

Tavola II



1



2

TAVOLA III

Fig. 1 – Calcare ad oncoidi con nucleo costituito da un resto organico; base della successione stratigrafica del Monte Vomero, Lias medio (Monti Aurunci, Lazio meridionale).

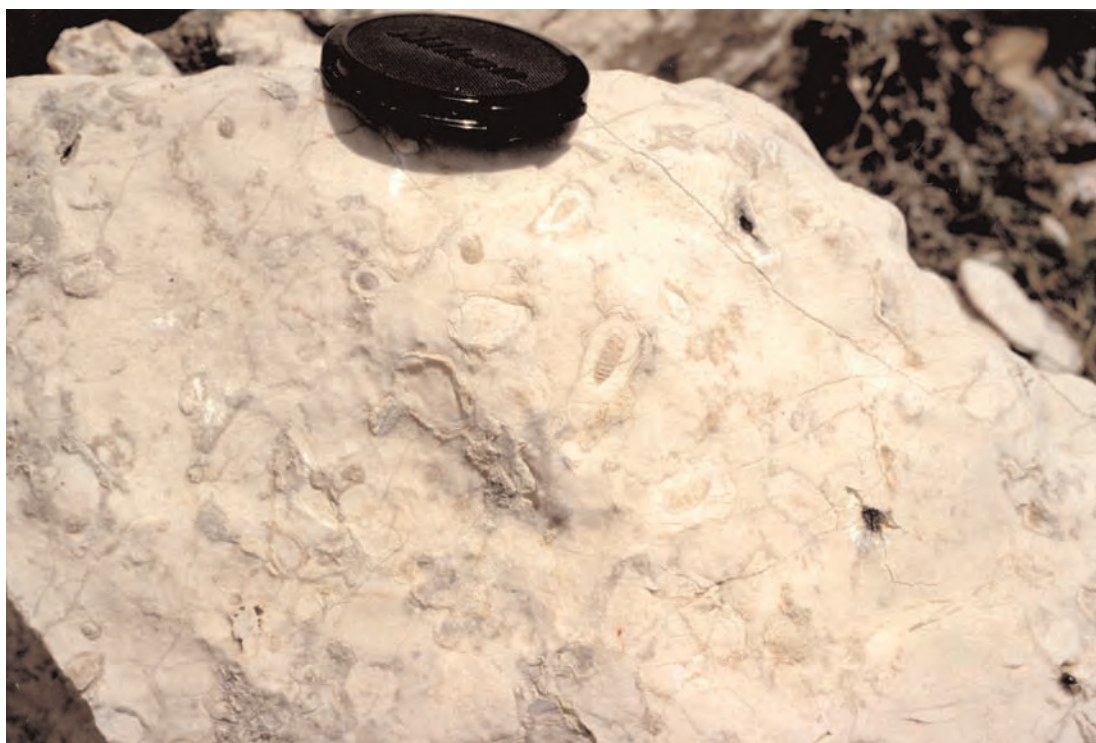
Fig. 2 – Calcare con *Cladocoropsis*, circa 100 metri al di sotto del tetto della sezione stratigrafica del Monte Vomero (Monti Aurunci, Lazio meridionale).

PLATE III

Fig. 1 – Oncolitic limestone with nucleus composed by organic remains; Pliensbachian of the Monte Vomero stratigraphic section (Aurunci Mts., Southern Latium).

Fig. 2 – Limestone layer with Cladocoropsis, 100 meters under the top of the Monte Vomero stratigraphic section (Aurunci Mts., Southern Latium).

Tavola III



1



2

TAVOLA IV

Fig. 1 – Calcare fossilifero ad *Ellipsactinia ramosa*, Titoniano superiore-Berriasiiano inferiore di Capodichina (Monte Cairo, Lazio meridionale).

Fig. 2 – Calcare a piccole Requienidi dell'Albiano; versante orientale del Monte La Civita, lungo la strada provinciale che collega i centri abitati di Penitro e Spigno Vecchio (Monti Aurunci, Lazio meridionale).

PLATE IV

Fig. 1 – Fossiliferous limestone with *Ellipsactinia ramosa*, Upper Tithonian - Lower Berriasiian of the Capodichina (Cairo Mt., Southern Latium).

Fig. 2 – Albian limestones with little Requienidae; eastern side of Monte La Civita along the road linking Penitro and Spigno Vecchio villages (Aurunci Mts., Southern Latium).

Tavola IV



1



2

TAVOLA V

Fig. 1 – Calcare a Madreporari; Cenomaniano inferiore di Fossa Mezzaspada (Monti d'Ocre, Abruzzo).

Fig. 2 – Calcare organogeno a Caprinidi; Cenomaniano inferiore di Fossa Mezzaspada (Monti d'Ocre, Abruzzo).

PLATE V

Fig. 1 – Limestone with Medreporaria; Lower Cenomanian of Fossa Mezzaspada (d'Ocre Mts., Abruzzi).

Fig. 2 – Limestone with Caprinidae; Lower Cenomanian of Fossa Mezzaspada (d'Ocre Mts., Abruzzi).

Tavola V



1



2

TAVOLA VI

Fig. 1 – Calcare bioclastico con resti arrotondati di Caprotinidi; Cenomaniano inferiore di Fossa Mezzaspada (Monti d'Ocre, Abruzzo).

Fig. 2 – Calcare fossilifero ad Acteonidi del Cenomaniano de l'Ottaduna (Monte Cairo, Lazio meridionale).

PLATE VI

Fig. 1 – *Bioclastic limestone composed by worked up remains of Caprotinidae; Lower Cenomanian of Fossa Mezzaspada (d'Ocre Mts., Abruzzo).*

Fig. 2 – *Fossiliferous limestone with Acteonidae; Cenomanian of l'Ottaduna stratigraphic section (Cairo Mt., Southern Latium).*

Tavola VI



1



2

TAVOLA VII

Fig. 1 – Calcare fossilifero con Radiolitidi; Senoniano superiore di località Crisano, lungo la strada sterrata che collega il paese di Coreno Ausonio con Valle Maio (Monti Aurunci orientali, Lazio meridionale).

Fig. 2 – Calcare con *Keramosphaerina tergestina* del Senoniano superiore; località Costa S. Antonio, nei pressi del paese di Amaseno (Monti Ausoni, Lazio meridionale).

PLATE VII

Fig. 1 – Fossiliferous limestone with Radiolitidae; Upper Senonian of Crisano locality (Eastern Aurunci Mts., Southern Latium).

Fig. 2 – Limestone with *Keramosphaerina tergestina*; Upper Senonian of Costa S. Antonio locality, near Amaseno village (Ausoni Mts., Southern Latium).

Tavola VII



1



2

TAVOLA VIII

- Fig. 1** – Rudstone con oncoidi, Gasteropodi turricolati, *Triasina hantkeni*, *Aulotortus gr. sinuosus*, *Griphoporella curvata*. (x 15)
 Sezione stratigrafica del Monte Cefalo (Monti Aurunci, Lazio meridionale).
Biozona a Triasina hantkeni e Griphoporella curvata.
 Triassico superiore (Retico)
- Fig. 2** – Bindstone laminato con stromatoliti. (x 15)
 Sezione stratigrafica del Monte Cefalo (Monti Aurunci, Lazio meridionale).
Biozona a Triasina hantkeni e Griphoporella curvata.
 Triassico superiore (Retico)
- Fig. 3** – Packstone a piccoli Gasteropodi, *Triasina hantkeni*, *Aulotortus friedli*,
Auloconus permodiscoides, *Griphoporella curvata*. (x 15)
 Sezione stratigrafica del Monte Cefalo (Monti Aurunci, Lazio meridionale).
Biozona a Triasina hantkeni e Griphoporella curvata.
 Triassico superiore (Retico)
- Fig. 4** – Packstone con piccoli Gasteropodi, *Triasina hantkeni*,
Aulotortus sinuosus, Duostominidae. (x 15)
 Sezione stratigrafica del Monte Cefalo (Monti Aurunci, Lazio meridionale).
Biozona a Triasina hantkeni e Griphoporella curvata.
 Triassico superiore (Retico)

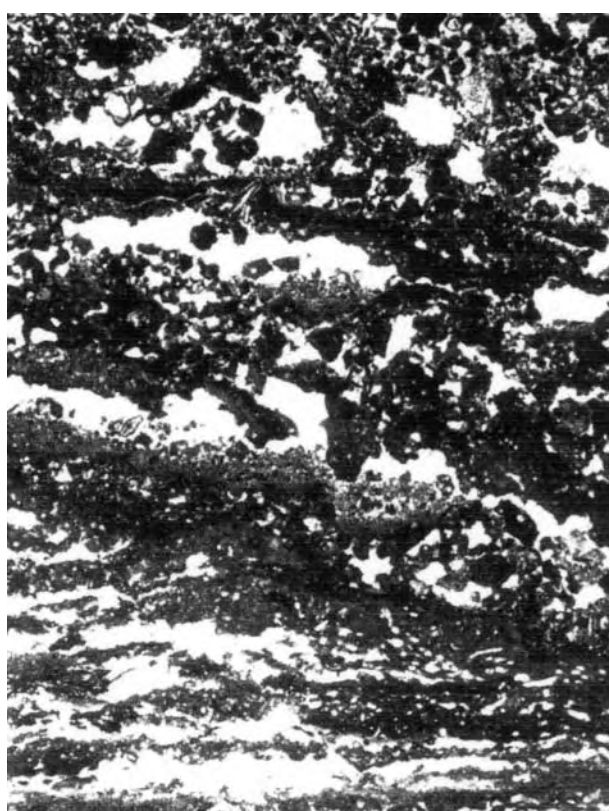
PLATE VIII

- Fig. 1** – Oncolitic rudstone with Gastropoda, *Triasina hantkeni*, *Aulotortus gr. sinuosus*, *Griphoporella curvata*. (x 15)
Monte Cefalo stratigraphic section (Aurunci Mts., Southern Latium).
Triasina hantkeni and *Griphoporella curvata* biozone.
Upper Triassic (Rhaetian)
- Fig. 2** – Laminated bindstone with stromatolites. (x 15)
Monte Cefalo stratigraphic section (Aurunci Mts., Southern Latium).
Triasina hantkeni and *Griphoporella curvata* biozone.
Upper Triassic (Rhaetian)
- Fig. 3** – Packstone with small Gastropoda, *Triasina hantkeni*, *Aulotortus friedli*,
Auloconus permodiscoides, *Griphoporella curvata*. (x 15)
Monte Cefalo stratigraphic section (Aurunci Mts., Southern Latium).
Triasina hantkeni and *Griphoporella curvata* biozone.
Upper Triassic (Rhaetian)
- Fig. 4** – Packstone with small Gastropoda, *Triasina hantkeni*, *Aulotortus sinuosus*, *Duostominidae*. (x 15)
Monte Cefalo stratigraphic section (Aurunci Mts., Southern Latium).
Triasina hantkeni and *Griphoporella curvata* biozone.
Upper Triassic (Rhaetian)

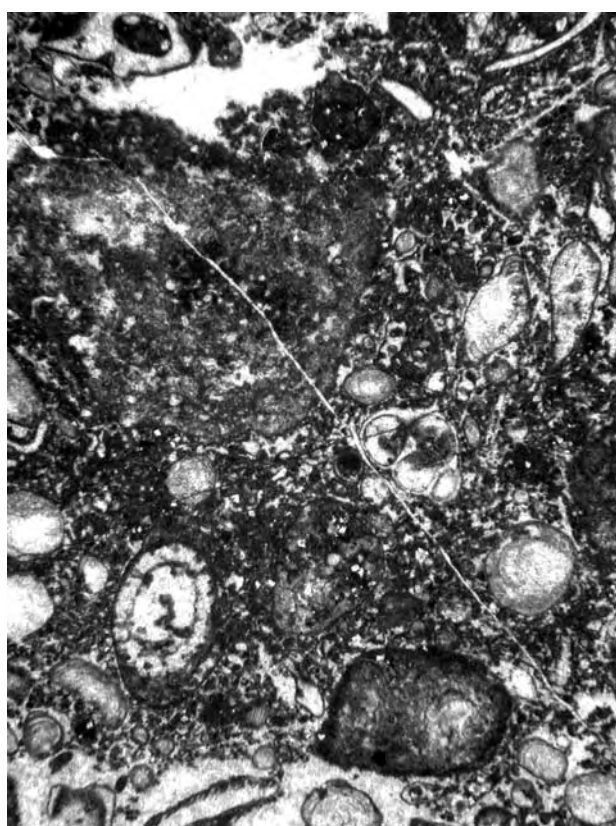
Tavola VIII



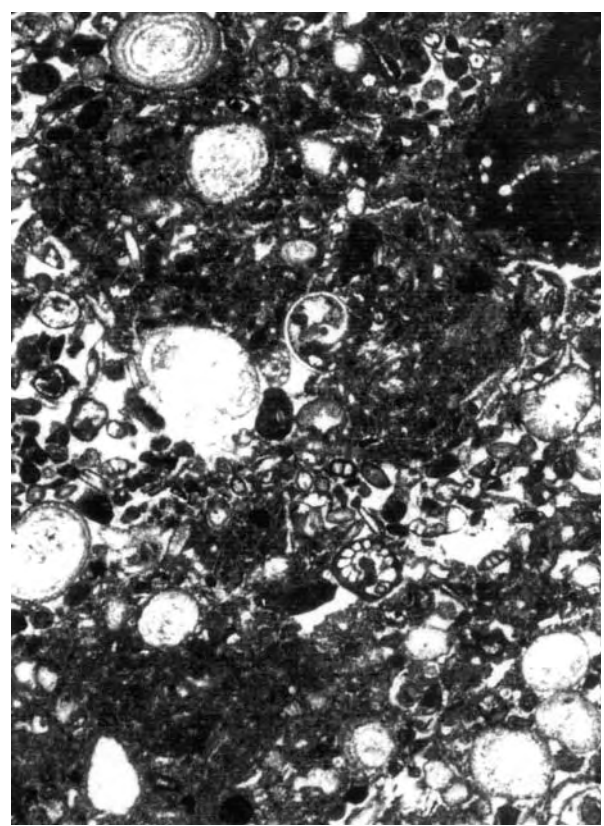
1



2



3



4

TAVOLA IX

Fig. 1 – Packstone con piccoli Gasteropodi, *Triasina hantkeni*, *Aulotortus friedli*, *Aulotortus tenuis*, *Gandinella falsofriedli*, *Aulotortus communis*, *Griphoporella curvata*, Duostominidae. (x 15)
 Sezione stratigrafica del Monte Cefalo (Monti Aurunci, Lazio meridionale).
Biozona a Triasina hantkeni e Griphoporella curvata.
 Triassico superiore (Retico)

Fig. 2 – Framestone con Anthozoa e *Griphoporella curvata*. (x 10)
 Sezione stratigrafica del Monte Cefalo (Monti Aurunci, Lazio meridionale).
Biozona a Triasina hantkeni e Griphoporella curvata.
 Triassico superiore (Retico)

Fig. 3 – Bindstone con *Thaumatoporella parvovesiculifera* e *Siphovalvulina* sp. (x 15)
 Sezione stratigrafica del Monte Cefalo (Monti Aurunci, Lazio meridionale).
Biozona a Thaumatoporella parvovesiculifera.
 Hettangiano – Sinemuriano inferiore

Fig. 4 – Rudstone con *Linoporella buseri*. (x 15)
 Sezione stratigrafica del Monte Cefalo (Monti Aurunci, Lazio meridionale).
 Parte inferiore della *biozona a Palaeodasycladus mediterraneus*.
 Sinemuriano superiore

PLATE IX

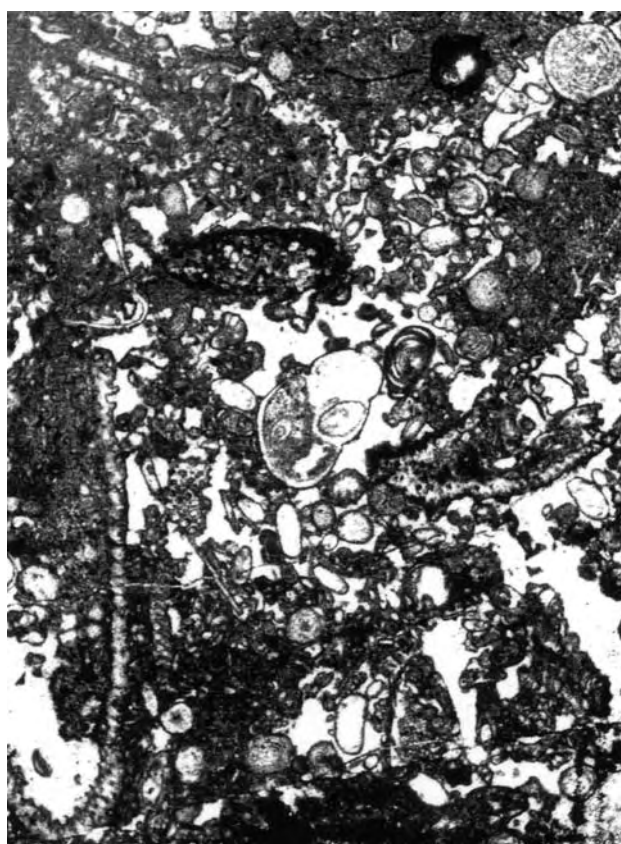
Fig. 1 – *Packstone with small Gastropoda*, *Triasina hantkeni*, *Aulotortus friedli*, *Aulotortus tenuis*, *Gandinella falsofriedli*, *Aulotortus communis*, *Griphoporella curvata*, *Duostominidae*. (x 15)
Monte Cefalo stratigraphic section (Aurunci Mts., Southern Latium).
Triasina hantkeni and Griphoporella curvata biozone.
Upper Triassic (Rhaetian)

Fig. 2 – *Framestone with Anthozoa and Griphoporella curvata*. (x 10)
Monte Cefalo stratigraphic section (Aurunci Mts., Southern Latium).
Triasina hantkeni and Griphoporella curvata biozone.
Upper Triassic (Rhaetian)

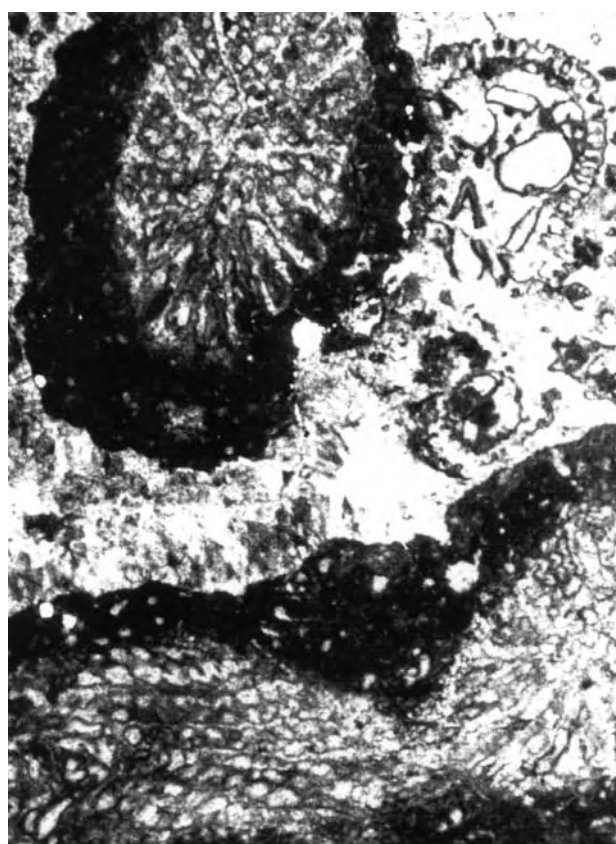
Fig. 3 – *Bindstone with Thaumatoporella parvovesiculifera* and *Siphovalvulina* sp. (x 15)
Monte Cefalo stratigraphic section (Aurunci Mts., Southern Latium).
Thaumatoporella parvovesiculifera biozone.
Hettangian - Lower Sinemurian

Fig. 4 – *Rudstone with Linoporella buseri*. (x 15)
Monte Cefalo stratigraphic section (Aurunci Mts., Southern Latium).
Lower part of the Palaeodasycladus mediterraneus biozone.
Upper Sinemurian

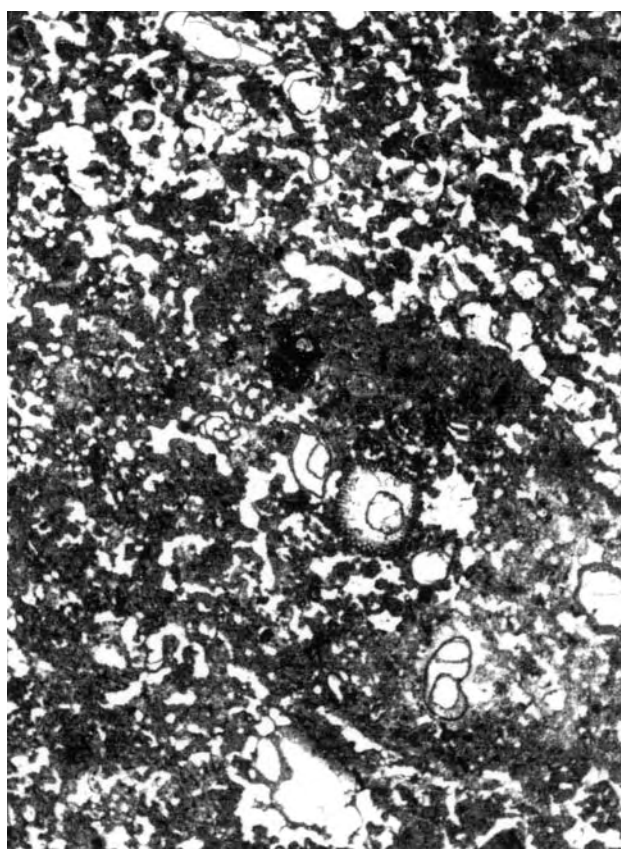
Tavola IX



1



2



3



4

TAVOLA X

Fig. 1 – Floatstone con *Palaeodasycladus mediterraneus*, *Thaumatoporella parvovesiculifera*, *Siphovalvulina variabilis*. (x 25)
 Sezione stratigrafica del Monte Vomero (Monti Aurunci, Lazio meridionale).
 Parte inferiore della biozona a *Palaeodasycladus mediterraneus*.
 Sinemuriano superiore

Fig. 2 – Rudstone mal classato con *Palaeodasycladus mediterraneus*, *Palaeodasycladus elongatus*, *Thaumatoporella parvovesiculifera*, Rivulariaceae. (x 15)
 Sezione stratigrafica della Grotta dei Serpenti (Monti Aurunci, Lazio meridionale).
Biozona a Palaeodasycladus mediterraneus - Sottozona a Orbitopsella.
 Pliensbachiano

Fig. 3 – Packstone con *Lituolipora termieri*, *Siphovalvulina variabilis*, *Thaumatoporella parvovesiculifera*. (x 20)
 Sezione stratigrafica del Monte Vomero (Monti Aurunci, Lazio meridionale).
Biozona a Palaeodasycladus mediterraneus - Sottozona a Orbitopsella.
 Pliensbachiano

Fig. 4 – Rudstone mal classato con oncoidi, *Orbitopsella primaeva*, *Thaumatoporella parvovesiculifera*, *Siphovalvulina variabilis*. (x 12)
 Sezione stratigrafica della Grotta dei Serpenti (Monti Aurunci, Lazio meridionale).
Biozona a Palaeodasycladus mediterraneus - Sottozona a Orbitopsella.
 Pliensbachiano

PLATE X

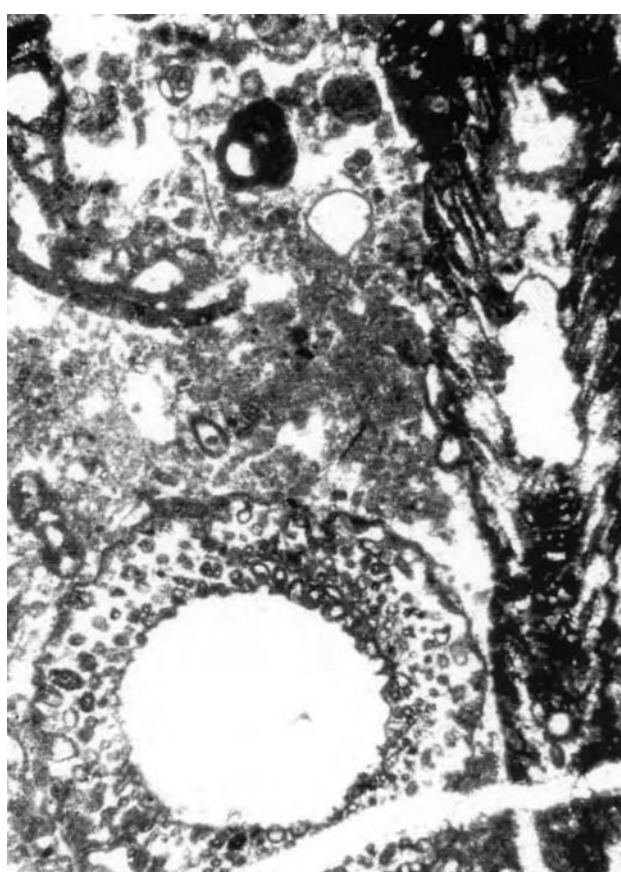
Fig. 1 – *Floatstone with Palaeodasycladus mediterraneus, Thaumatoporella parvovesiculifera, Siphovalvulina variabilis. (x 25)*
Monte Vomero stratigraphic section (Aurunci Mts., Southern Latium).
Lower part of the Palaeodasycladus mediterraneus biozone.
Upper Sinemurian

Fig. 2 – *Well-sorted rudstone with Palaeodasycladus mediterraneus, Palaeodasycladus elongatus, Thaumatoporella parvovesiculifera, Rivulariaceae. (x 15)*
Grotta dei Serpenti stratigraphic section (Aurunci Mts., Southern Latium).
Palaeodasycladus mediterraneus biozone - Orbitopsella subzone.
Pliensbachian

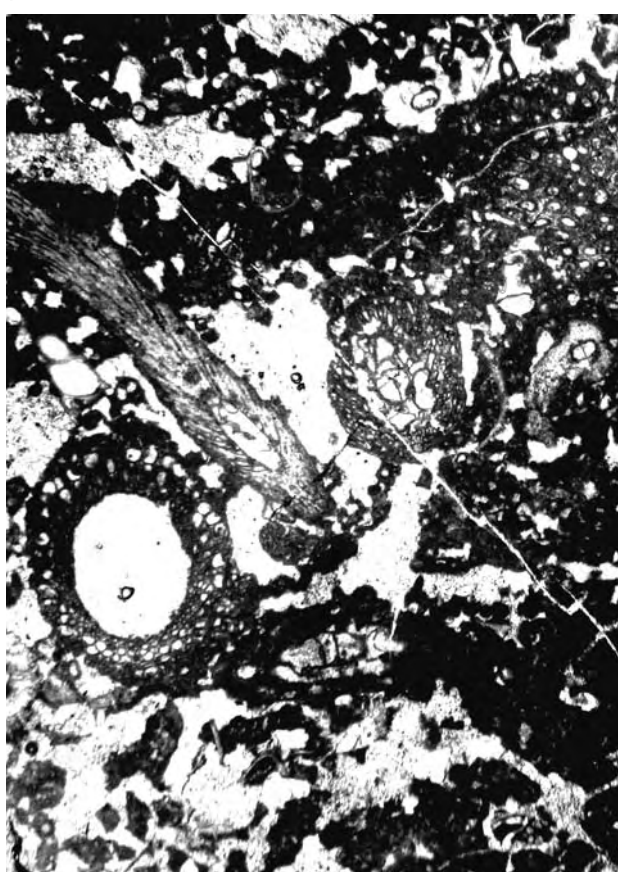
Fig. 3 – *Packstone with Lituolipora termieri, Siphovalvulina variabilis, Thaumatoporella parvovesiculifera. (x 20)*
Monte Vomero stratigraphic sections (Aurunci Mts., Southern Latium).
Palaeodasycladus mediterraneus biozone - Orbitopsella subzone.
Pliensbachian

Fig. 4 – *Well-sorted oncolitic rudstone with Orbitopsella primaeva, Thaumatoporella parvovesiculifera, Siphovalvulina variabilis. (x 12)*
Grotta dei Serpenti stratigraphic section (Aurunci Mts., Southern Latium).
Palaeodasycladus mediterraneus biozone - Orbitopsella subzone.
Pliensbachian

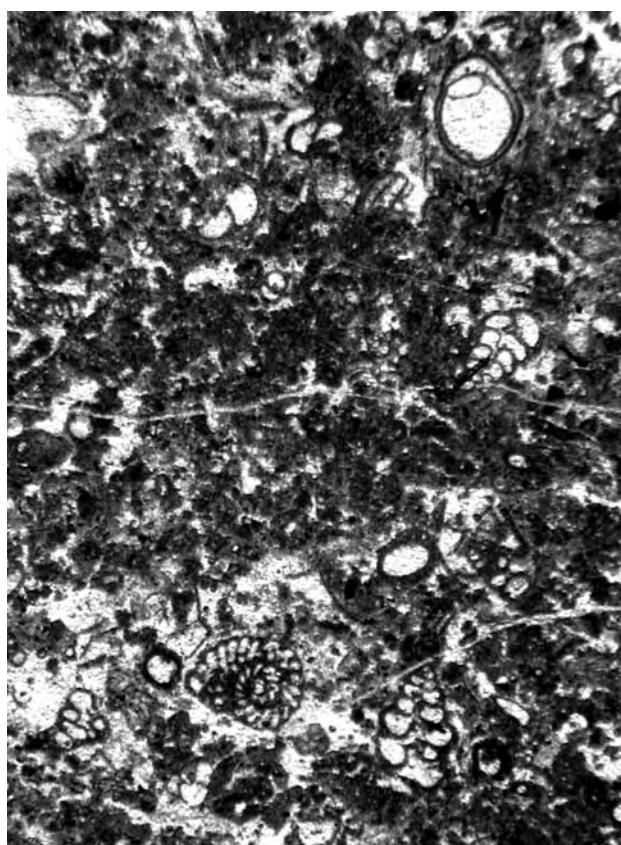
Tavola X



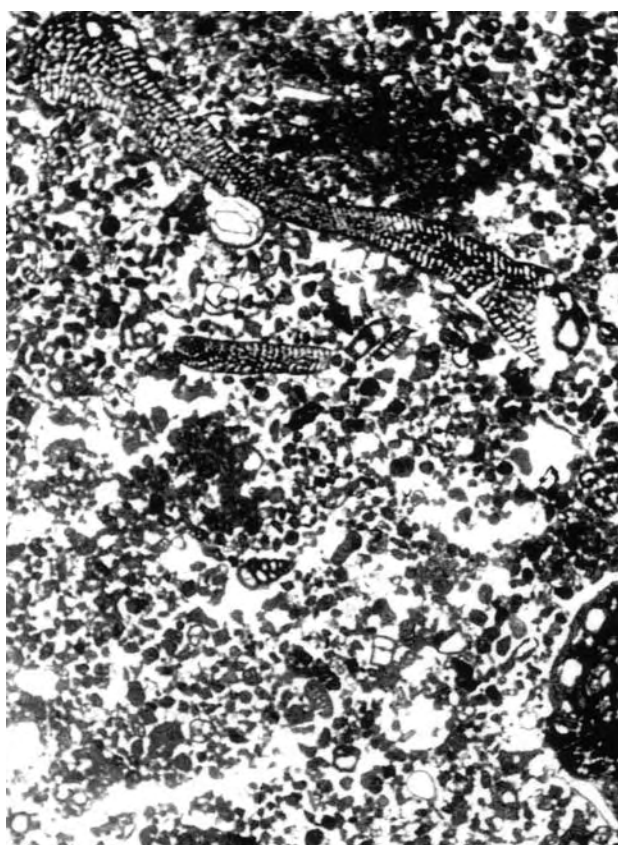
1



2



3



4

TAVOLA XI

Fig. 1 – Floatstone mal classato con *Orbitopsella praecursor* e *Siphovalvulina variabilis*. (x 12)
 Sezione stratigrafica del Monte Vomero (Monti Aurunci, Lazio meridionale).
Biozona a Palaeodasycladus mediterraneus – *Sottozona a Orbitopsella*.
 Pliensbachiano

Fig. 2 – Rudstone con oncidi, *Palaeodasycladus mediterraneus*, *Lituosepta recoarensis*, *Planisepta compressa*,
Haurania deserta, *Siphovalvulina variabilis*. (x 20)
 Sezione stratigrafica della Grotta dei Serpenti (Monti Aurunci, Lazio meridionale).
Biozona a Palaeodasycladus mediterraneus – *Sottozona a Orbitopsella*.
 Pliensbachiano

Fig. 3 – Packstone con *Haurania deserta* e *Siphovalvulina variabilis*. (x 20)
 Sezione stratigrafica della Grotta dei Serpenti (Monti Aurunci, Lazio meridionale).
Biozona a Palaeodasycladus mediterraneus - *Sottozona a Orbitopsella*.
 Pliensbachiano

Fig. 4 – Grainstone a ooliti ed oncidi con nuclei costituiti da frammenti di
 Gastropoda e Echinodermata. (x 15)
 Sezione stratigrafica del Monte Moneta (Monti Aurunci, Lazio meridionale).
Biozona a Echinodermata, Mollusca e Favreina.
 Toarciano terminale - Aaleniano superiore p.p.

PLATE XI

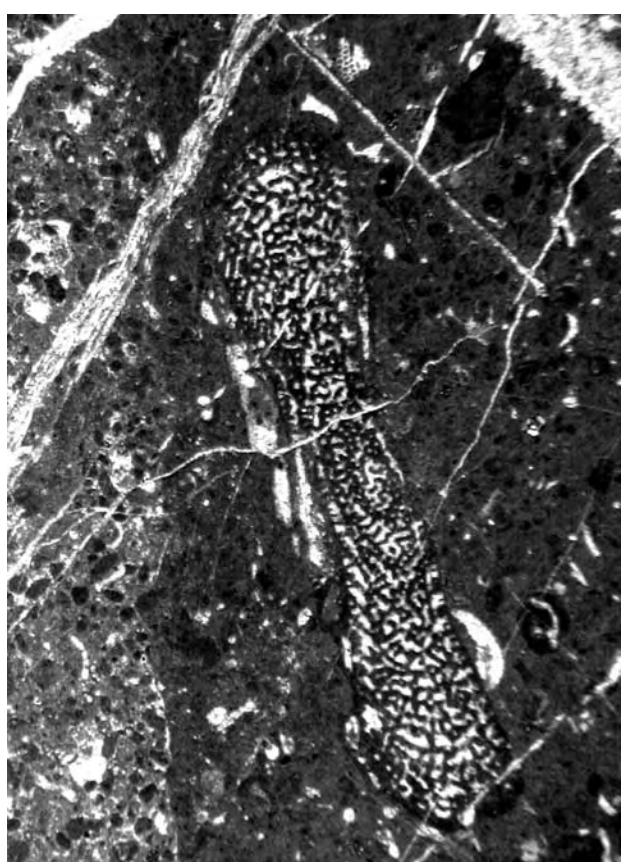
Fig. 1 – Well-sorted floatstone with *Orbitopsella praecursor* and *Siphovalvulina variabilis*. (x 12)
 Monte Vomero stratigraphic section (Aurunci Mts., Southern Latum).
Palaeodasycladus mediterraneus biozone - *Orbitopsella* subzone.
 Pliensbachian

Fig. 2 – Oncolitic rudstone with *Palaeodasycladus mediterraneus*, *Lituosepta recoarensis*,
Planisepta compressa, *Haurania deserta*, *Siphovalvulina variabilis*. (x 20)
 Grotta dei Serpenti stratigraphic section (Aurunci Mts., Southern Latum).
Palaeodasycladus mediterraneus biozone - *Orbitopsella* subzone.
 Pliensbachian

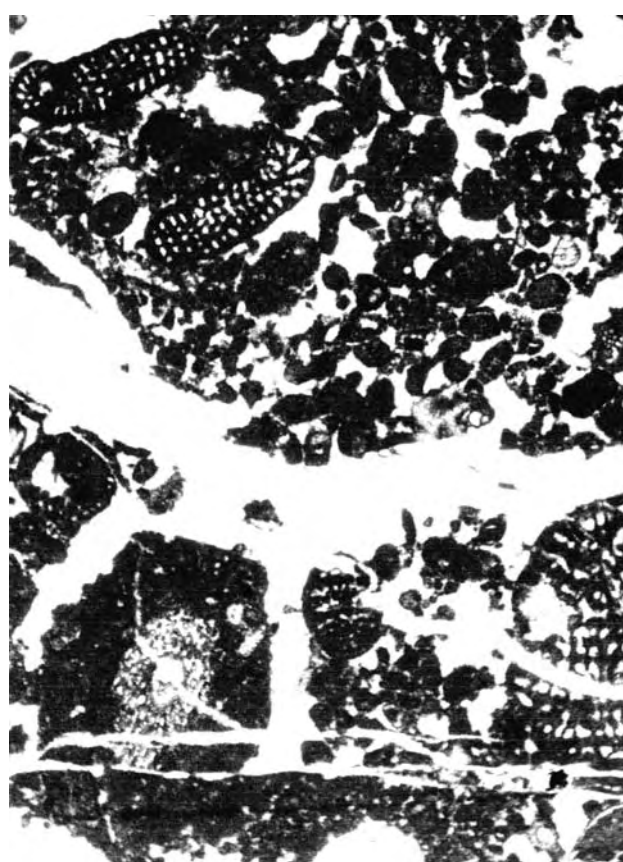
Fig. 3 – Packstone with *Haurania deserta* and *Siphovalvulina variabilis*. (x 20)
 Grotta dei Serpenti stratigraphic section (Aurunci Mts., Southern Latum).
Palaeodasycladus mediterraneus biozone - *Orbitopsella* subzone.
 Pliensbachian

Fig. 4 – Oolitic and oncolitic grainstone with nuclei made by Gastropoda and
 Echinodermata fragments. (x 15)
 Monte Moneta stratigraphic section (Aurunci Mts., Southern Latum).
 Echinodermata, Mollusca and Favreina biozone.
 Uppermost Toarcian - Upper Aalenian p.p.

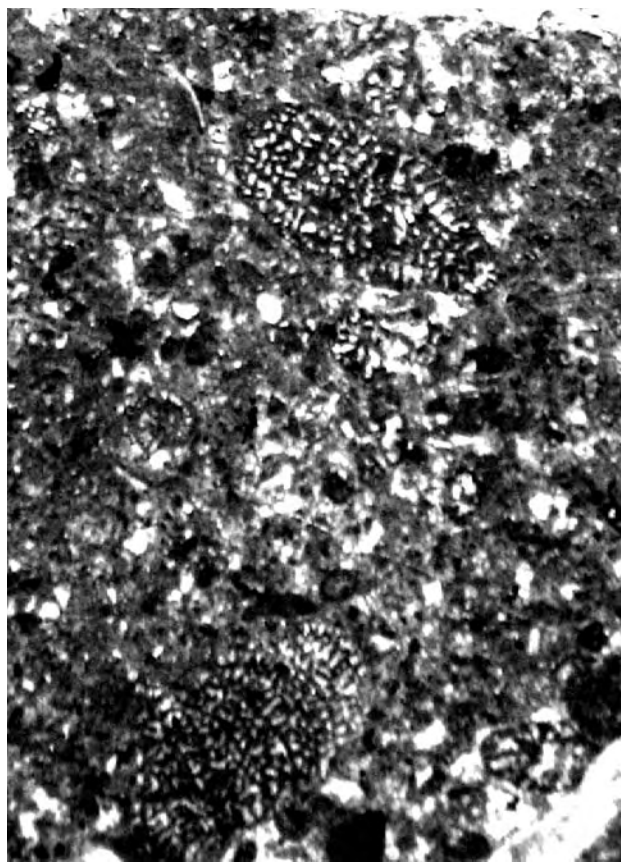
Tavola XI



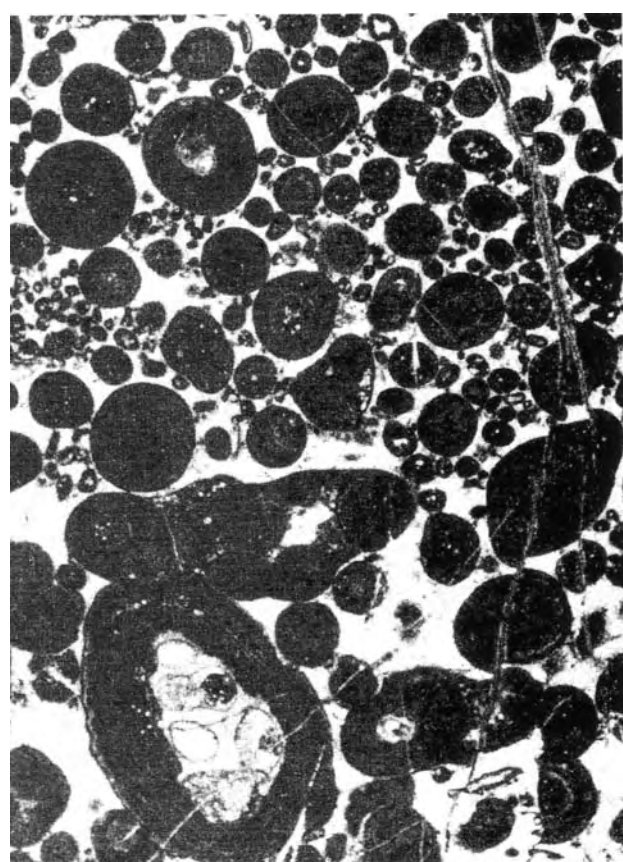
1



2



3



4

TAVOLA XII

Fig. 1 – Wackestone con Coproliti in gran parte riferibili a *Favreina salevensis*. (x 35)
 Sezione stratigrafica del Monte Moneta (Monti Aurunci, Lazio meridionale).
Biozona a Echinodermata, Mollusca e Favreina.
 Toarciano terminale - Aaleniano superiore p.p.

Fig. 2 – Grainstone mal classato ad ooliti con nucleo composto da piccoli frammenti di
 Mollusca ed Echinodermata. (x 15)
 Sezione stratigrafica del Monte Vomero (Monti Aurunci, Lazio meridionale).
Biozona a Echinodermata, Mollusca e Favreina.
 Toarciano terminale - Aaleniano superiore p.p.

Fig. 3 – Grainstone con *Bosniella croatica*. (x 25)
 Sezione stratigrafica del Monte Moneta (Monti Aurunci, Lazio meridionale).
Biozona a Bosniella croatica.
 Aaleniano superiore p.p. - Bajociano inferiore p.p..

Fig. 4 – Bafflestone con ?Porostromata in parte riferibili a “*Rivularia*” piae. (x 15)
 Sezione stratigrafica del Monte Vomero (Monti Aurunci, Lazio meridionale).
Biozona a Bosniella croatica.
 Aaleniano superiore p.p. - Bajociano inferiore p.p.

PLATE XII

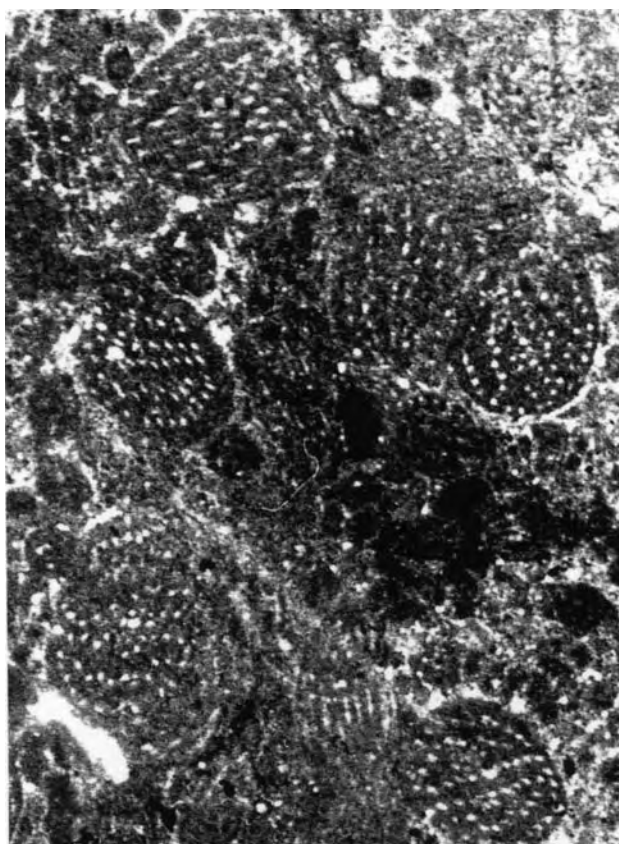
Fig. 1 – *Wackestone with Coprolites largely related to Favreina salevensis. (x 35)*
Monte Moneta stratigraphic section (Aurunci Mts., Southern Latium).
Echinodermata, Mollusca and Favreina biozone.
Uppermost Toarcian - Upper Aalenian p.p.

Fig. 2 – *Well-sorted oolitic grainstone with nuclei made by Gastropoda and Echinodermata small fragments. (x 15)*
Monte Vomero stratigraphic section (Aurunci Mts., Southern Latium).
Echinodermata, Mollusca and Favreina biozone.
Uppermost Toarcian - Upper Aalenian p.p.

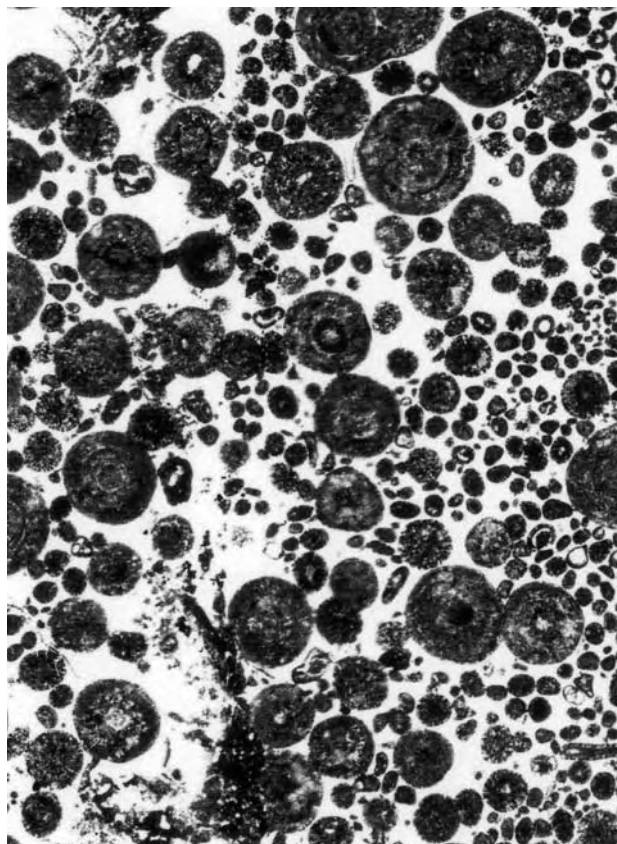
Fig. 3 – *Grainstone with Bosniella croatica. (x 25)*
Monte Moneta stratigraphic section (Aurunci Mts., Southern Latium).
Bosniella croatica biozone.
Upper Aalenian p.p. - Lower Bajocian p.p.

Fig. 4 – *?Porostromata bafflestone partially related to “Rivularia” piae. (x 15)*
Monte Vomero stratigraphic section (Aurunci Mts., Southern Latium).
Bosniella croatica biozone.
Upper Aalenian p.p. - Lower Bajocian p.p.

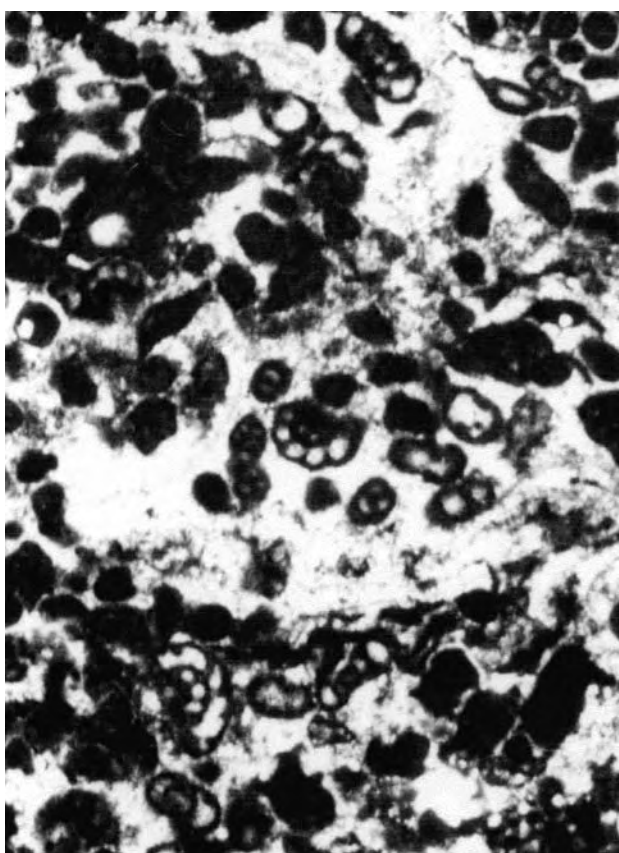
Tavola XII



1



2



3



4

TAVOLA XIII

Fig. 1 – Rudstone con *Selliporella donzellii* e *Siphovalvulina variabilis*. (x 12)
 Sezione stratigrafica del Monte Moneta (Monti Aurunci, Lazio meridionale).
Biozona a Selliporella donzellii.
 Bajociano inferiore p.p. - Bathonian inferiore p.p.

Fig. 2 – Rudstone con *Selliporella donzellii* e *Siphovalvulina variabilis*. (x 12)
 Sezione stratigrafica del Monte Vomero (Monti Aurunci, Lazio meridionale).
Biozona a Selliporella donzellii.
 Bajociano inferiore p.p. - Bathonian inferiore p.p.

Fig. 3 – Wackestone con *Redmondoides primitivus*, *Redmondoides medius* e Ostracoda. (x 45)
 Sezione stratigrafica del Monte Moneta (Monti Aurunci, Lazio meridionale).
Biozona a Redmondoides.
 Bathonian p.p.

Fig. 4 – Floatstone con *Paleopfenderina salernitana*, *Pfenderella arabica* e Ostracoda. (x 20)
 Sezione stratigrafica del Monte Vate Rutto (Monti Aurunci, Lazio meridionale).
Biozona a Paleopfenderina salernitana.
 Bathonian superiore

PLATE XIII

Fig. 1 – Rudstone with *Selliporella donzellii* and *Siphovalvulina variabilis*. (x 12)
Monte Moneta stratigraphic section (Aurunci Mts., Southern Latium).
Selliporella donzellii biozone.
Lower Bajocian p.p. - Lower Bathonian p.p.

Fig. 2 – Rudstone with *Selliporella donzellii* and *Siphovalvulina variabilis*. (x 12)
Monte Vomero stratigraphic section (Aurunci Mts., Southern Latium).
Selliporella donzellii biozone.
Lower Bajocian p.p. - Lower Bathonian p.p.

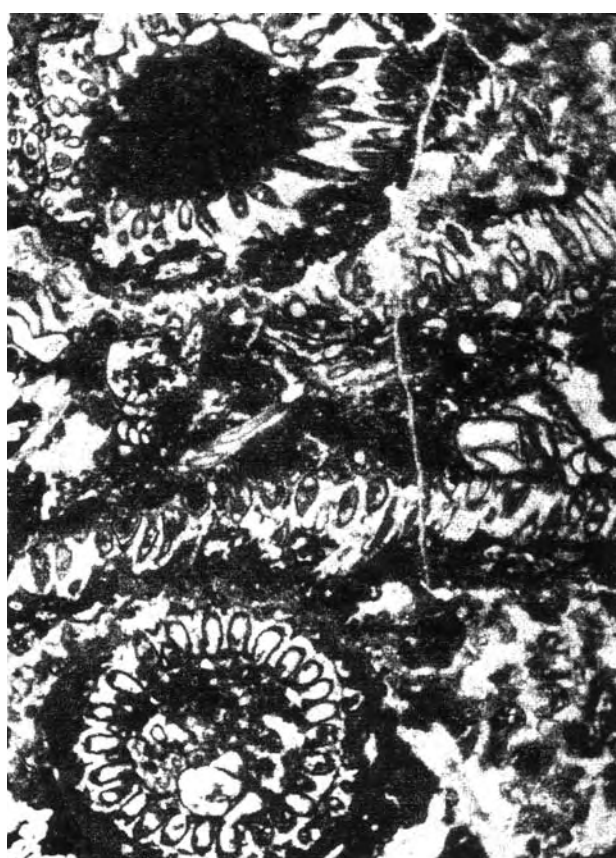
Fig. 3 – Wackestone with *Redmondoides primitivus*, *Redmondoides medius* and Ostracoda. (x 45)
Monte Moneta stratigraphic section (Aurunci Mts., Southern Latium).
Redmondoides biozone.
Bathonian p.p.

Fig. 4 – Floatstone with *Paleopfenderina salernitana*, *Pfenderella arabica* and Ostracoda. (x 20)
Monte Vate Rutto stratigraphic section (Aurunci Mts., Southern Latium).
Paleopfenderina salernitana biozone.
Upper Bathonian

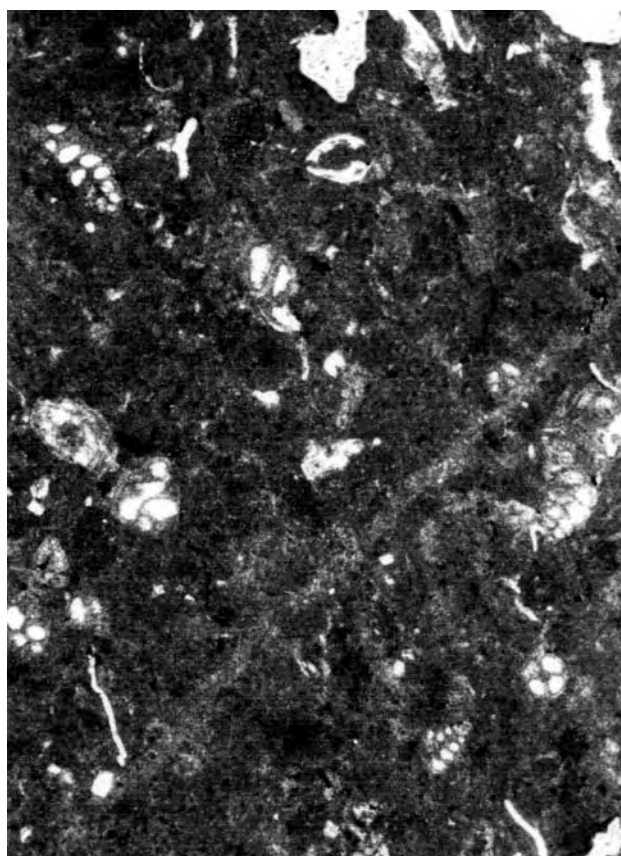
Tavola XIII



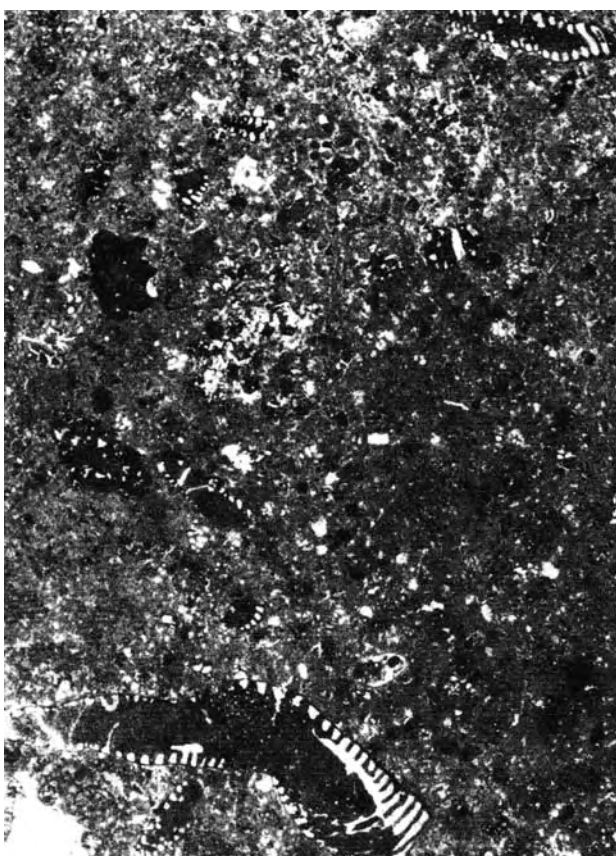
1



2



3



4

TAVOLA XIV

Fig. 1 – Packstone con *Satorina apuliensis*, *Pfenderella arabica*, *Siphovalvulina variabilis*, *Redmondoides lugeoni*. (x 25)
 Sezione stratigrafica del Monte Moneta (Monti Aurunci, Lazio meridionale).
Biozona a Paleopfenderina salernitana.
 Bathoniano superiore

Fig. 2 – Wackestone con *Paleopfenderina trochoidea*, *Siphovalvulina variabilis*, *Paravulvulina complicata*. (x 25)
 Sezione stratigrafica del Monte Moneta (Monti Aurunci, Lazio meridionale).
Biozona a Paleopfenderina salernitana.
 Bathoniano superiore

Fig. 3 – Packstone con *Pfenderella arabica*, *Paleopfenderina salernitana*, *Siphovalvulina variabilis*, *Redmondoides lugeoni*. (x 25)
 Sezione stratigrafica del Monte Vate Rutto (Monti Aurunci, Lazio meridionale).
Biozona a Paleopfenderina salernitana.
 Bathoniano superiore

Fig. 4 – Wackestone con oncidi, *Salpingoporella sellii* e *Siphovalvulina variabilis*. (x 25)
 Sezione stratigrafica del Monte Vate Rutto (Monti Aurunci, Lazio meridionale).
 Parte iniziale della *biozona a Kurnubia gr. palastiniensis*.
 Calloviano

PLATE XIV

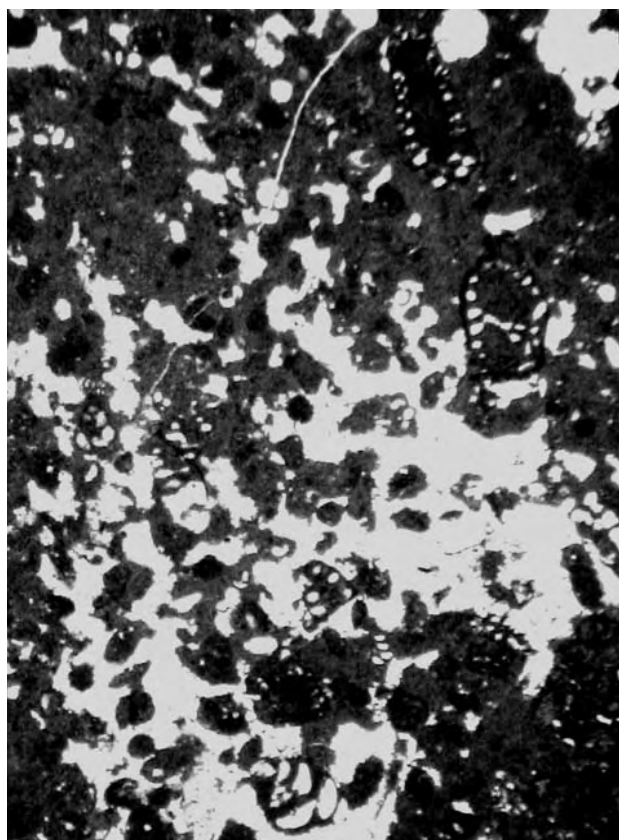
Fig. 1 – *Packstone with Satorina apuliensis, Pfenderella arabica, Siphovalvulina variabilis, Redmondoides lugeoni. (x 25)*
Monte Moneta stratigraphic section (Aurunci Mts., Southern Latium).
Paleopfenderina salernitana biozone.
Upper Bathonian

Fig. 2 – *Wackestone with Paleopfenderina trochoidea, Siphovalvulina variabilis, Paravulvulina complicata. (x 25)*
Monte Moneta stratigraphic section (Aurunci Mts., Southern Latium).
Paleopfenderina salernitana biozone.
Upper Bathonian

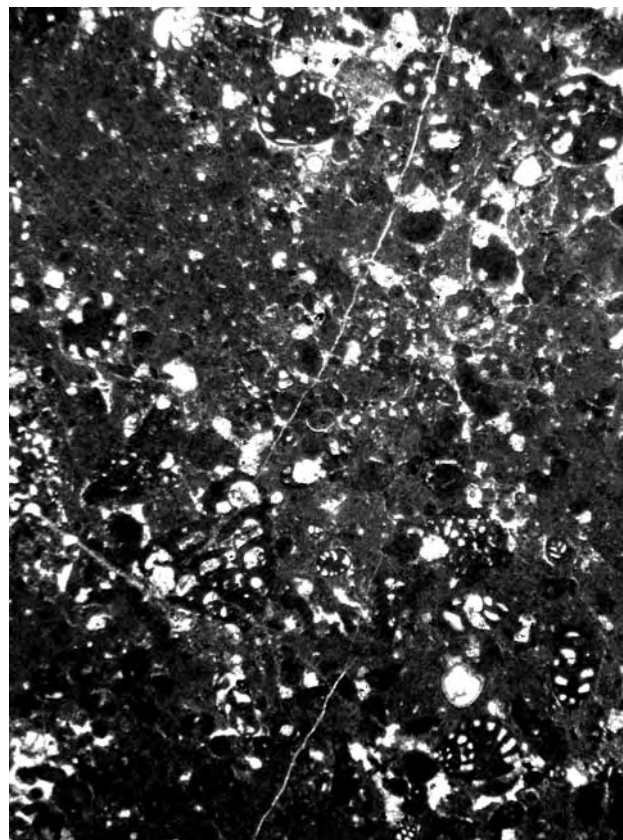
Fig. 3 – *Packstone with Pfenderella arabica, Paleopfenderina salernitana, Siphovalvulina variabilis, Redmondoides lugeoni. (x 25)*
Monte Vate Rutto stratigraphic section (Aurunci Mts., Southern Latium).
Paleopfenderina salernitana biozone.
Upper Bathonian

Fig. 4 – *Oncolitic wackestone with Salpingoporella sellii and Siphovalvulina variabilis. (x 25)*
Monte Vate Rutto stratigraphic section (Aurunci Mts., Southern Latium).
Initial part of the Kurnubia gr. palastiniensis biozone.
Callovian

Tavola XIV



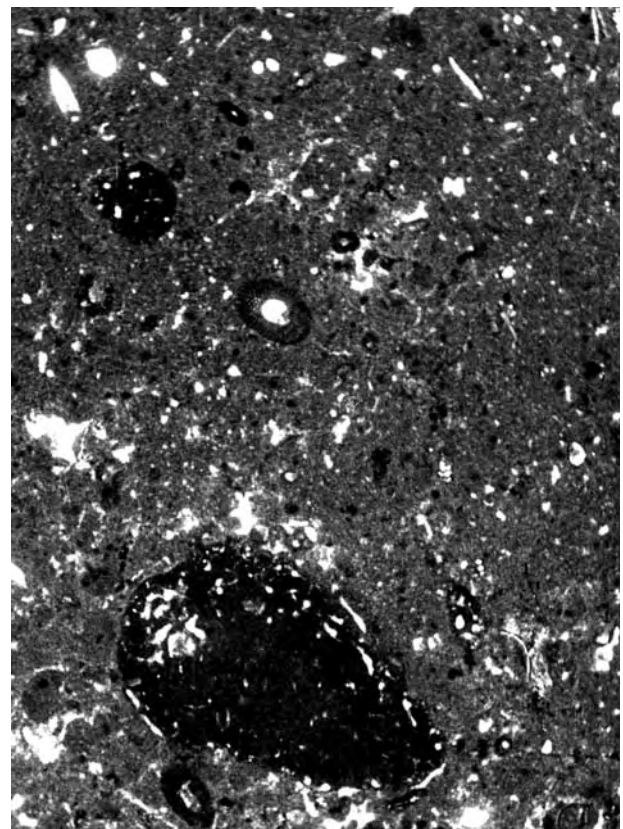
1



2



3



4

TAVOLA XV

Fig. 1 – Packstone con *Conicopfenderina mesojurassica*, *Siphovalvulina variabilis*, *Redmondoides lugeoni*, *Salpingoporella sellii*. (x 15)
 Sezione stratigrafica del Monte Vate Rutto (Monti Aurunci, Lazio meridionale).
 Parte inferiore della biozona a *Kurnubia gr. palastiniensis*.
 Calloviano

Fig. 2 – Packstone con *Chablaisia chablaisiensis*, *Paravalvulina complicata* e resti di Echinodermata. (x 45)
 Sezione stratigrafica di Costa Lunga (Monte Cairo, Lazio meridionale).
 Parte iniziale della biozona a *Kurnubia gr. palastiniensis*.
 Calloviano

Fig. 3 – Packstone con ooidi, *Chablaisia chablaisiensis* e *Ammobaculites* sp. (x 20)
 Sezione stratigrafica di Costalunga (Monte Cairo, Lazio meridionale).
 Parte iniziale della biozona a *Kurnubia gr. palastiniensis*.
 Calloviano

Fig. 4 – Floatstone con *Cladocoropsis mirabilis*. (x 10)
 Sezione stratigrafica del Monte Vate Rutto (Monti Aurunci, Lazio meridionale).
Biozona a Kurnubia gr. palastiniensis - Sottozona a Cladocoropsis mirabilis.
 Calloviano p.p. – Kimmeridgiano p.p.

PLATE XV

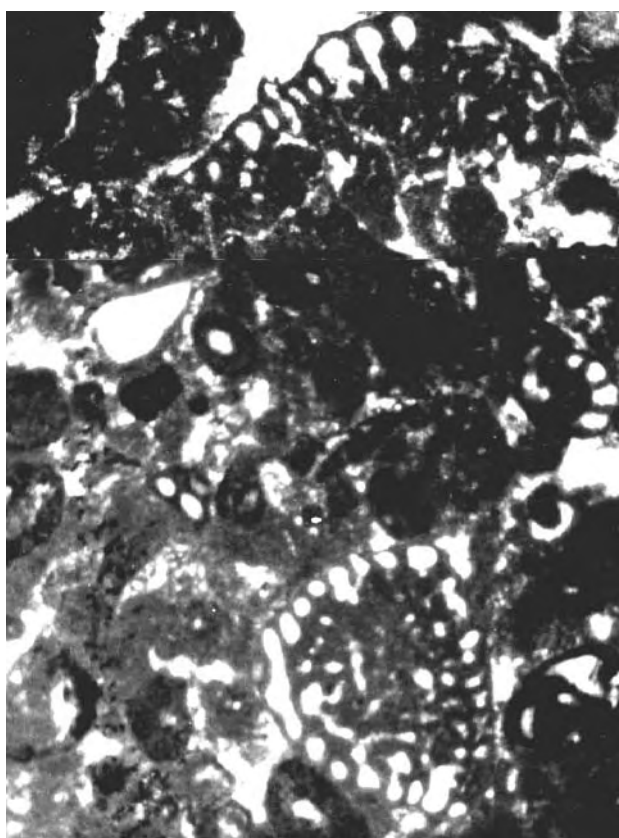
Fig. 1 – Packstone with *Conicopfenderina mesojurassica*, *Siphovalvulina variabilis*, *Redmondoides lugeoni*, *Salpingoporella sellii*. (x 15)
Monte Vate Rutto stratigraphic section (Aurunci Mts., Southern Latium).
Initial part of the Kurnubia gr. palastiniensis biozone.
Callovian

Fig. 2 – Packstone with *Chablaisia chablaisiensis*, *Paravalvulina complicata*, *Echinodermata remains*. (x 45)
Costa Lunga stratigraphic section (Cairo Mt., Southern Latium).
Initial part of the Kurnubia gr. palastiniensis biozone.
Callovian

Fig. 3 – Ooids packstone with *Chablaisia chablaisiensis* and *Ammobaculites* sp. (x 20)
Costa Lunga stratigraphic section (Cairo Mt., Southern Latium).
Initial portion of the Kurnubia gr. palastiniensis biozone.
Callovian

Fig. 4 – Floatstone with *Cladocoropsis mirabilis*. (x 10)
Monte Vate Rutto stratigraphic section (Aurunci Mts., Southern Latium).
Kurnubia gr. palastiniensis biozone - Cladocoropsis mirabilis subzone.
Callovian p.p. – Kimmeridgian p.p.

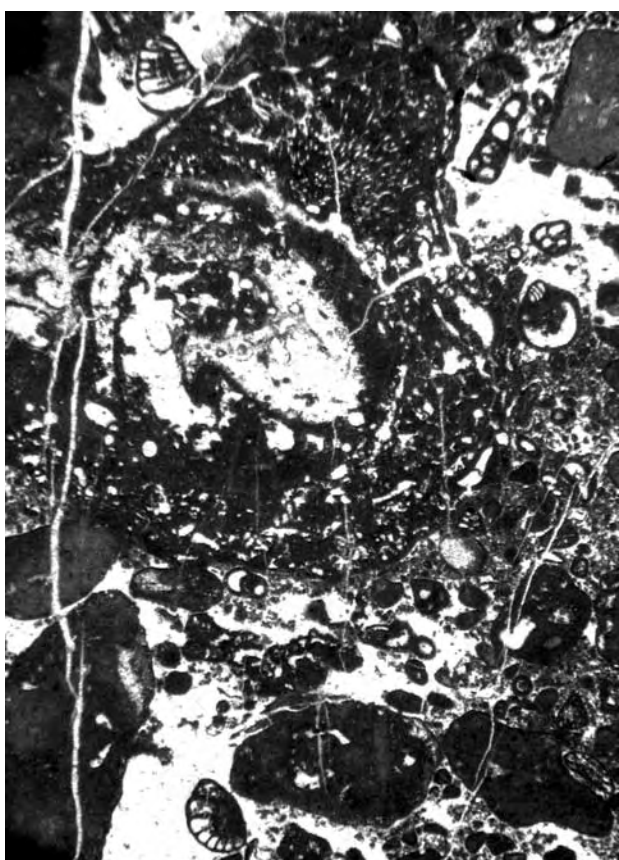
Tavola XV



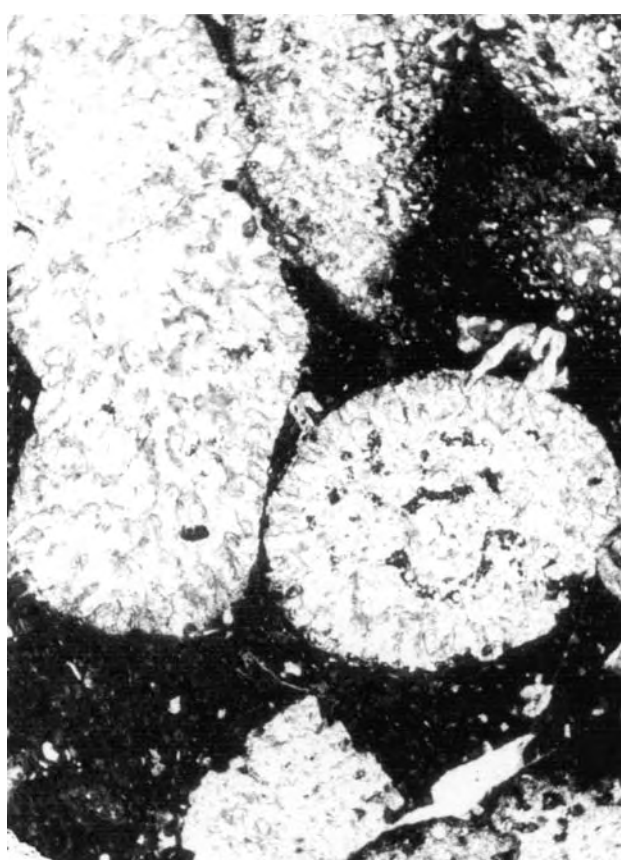
1



2



3



4

TAVOLA XVI**Fig. 1** – Wackestone con *Kurnubia palastiniensis*. (x 25)

Sezione stratigrafica del Monte Vate Rutto (Monti Aurunci, Lazio meridionale).

Biozona a Kurnubia gr. palastiniensis - *Sottozona a Cladocoropsis mirabilis*.

Calloviano p.p. - Kimmeridgiano superiore p.p.

Fig. 2 – Wackestone con *Clypeina jurassica*, *Thaumatoporella parvovesiculifera*,*Siphovalvulina variabilis*. (x 20)

Sezione stratigrafica del Monte Vate Rutto (Monti Aurunci, Lazio meridionale).

Biozona a Clypeina jurassica.

Kimmeridgiano superiore p.p. - Titoniano

Fig. 3 – Wackestone con oogoni di Charophyta ed Ostracodi. (x 30)

Sezione stratigrafica del Monte Vate Rutto (Monti Aurunci, Lazio meridionale).

Sommità della *Biozona a Clypeina jurassica*.

Titoniano superiore

Fig. 4 – Packstone con *Campbelliella striata*. (x 20)

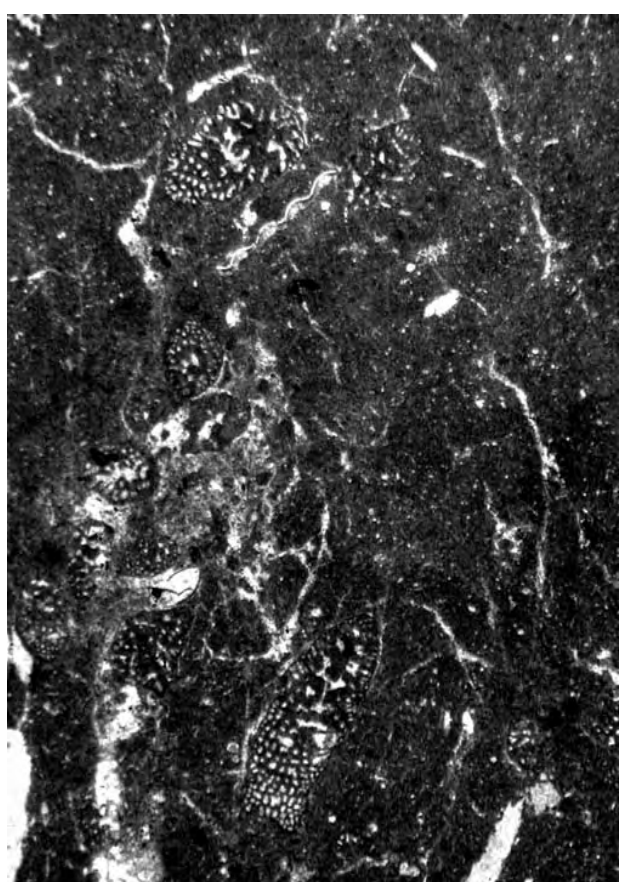
Sezione stratigrafica del Monte Vate Rutto (Monti Aurunci, Lazio meridionale).

Parte iniziale della *biozona a Favreina salevensis e Salpingoporella annulata*.

Berriasiano iniziale

PLATE XVI**Fig. 1** – *Wackestone with Kurnubia palastiniensis*. (x 25)*Monte Vate Rutto stratigraphic section (Aurunci Mts., Southern Latum).**Kurnubia gr. palastiniensis biozone - Cladocoropsis mirabilis subzone.**Callovian p.p. - Kimmeridgian p.p.***Fig. 2** – *Wackestone with Clypeina jurassica*, *Thaumatoporella parvovesiculifera*,*Siphovalvulina variabilis*. (x 20)*Monte Vate Rutto stratigraphic section (Aurunci Mts., Southern Latum).**Clypeina jurassica biozone.**Upper Kimmeridgian p.p. - Tithonian***Fig. 3** – *Wackestone with oogonia of Charophyta and Ostracoda*. (x 30)*Monte Vate Rutto stratigraphic section (Aurunci Mts., Southern Latum).**Clypeina jurassica biozone.**Upper Tithonian***Fig. 4** – *Packstone with Campbelliella striata*. (x 20)*Monte Vate Rutto stratigraphic section (Aurunci Mts., Southern Latum).**Initial part of the Favreina salevensis and Salpingoporella annulata biozone.**Lowermost Berriasian*

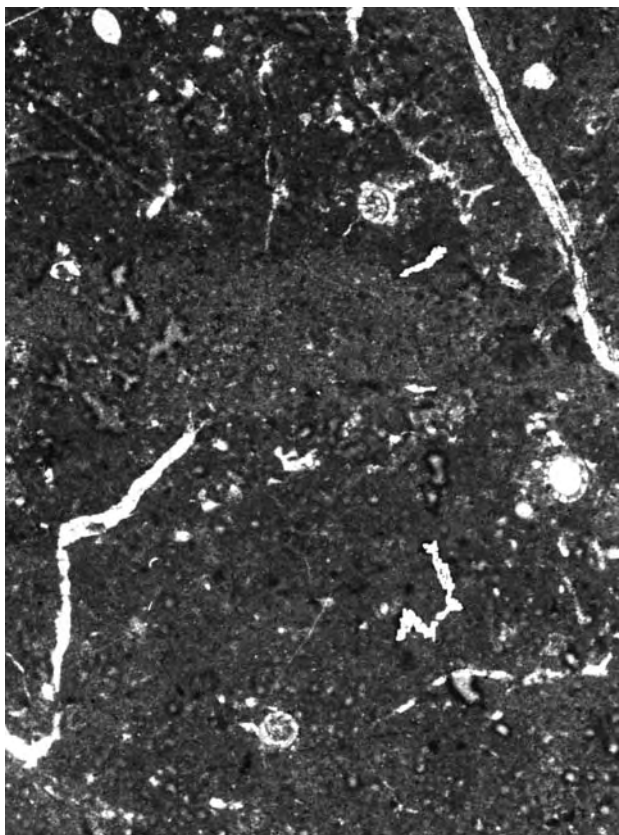
Tavola XVI



1



2



3



4

TAVOLA XVII

Fig. 1 – Wackestone con *Salpingoporella annulata*, altre Dasycladales, Miliolidae. (x 25)
 Sezione stratigrafica del Monte Vate Rutto (Monti Aurunci, Lazio meridionale).
Biozona a Favreina salevensis e Salpingoporella annulata.
 Berriasiano - Valanginiano

Fig. 2 – Packstone con *Favreina salevensis*, *Salpingoporella annulata* ed altre Dasycladales. (x 25)
 Sezione stratigrafica del Monte Vate Rutto (Monti Aurunci, Lazio meridionale).
Biozona a Favreina salevensis e Salpingoporella annulata.
 Berriasiano - Valanginiano

Fig. 3 – Packstone con *Montsaleria salevensis* e *Haplophragmoides joukowskii*. (x 100)
 Sezione stratigrafica del Monte Le Rave Fosche (Monti Aurunci, Lazio meridionale).
 Parte superiore della *Biozona a Favreina salevensis e Salpingoporella annulata*.
 Valanginiano

Fig. 4 – Packstone con *Campanellula capuensis* e Dasycladales. (x 30)
 Sezione stratigrafica del Monte Le Rave Fosche (Monti Aurunci, Lazio meridionale).
Biozona a ?Cuneolina scarsellai e Cuneolina camposaurii.
 Hauteriviano - Barremiano

PLATE XVII

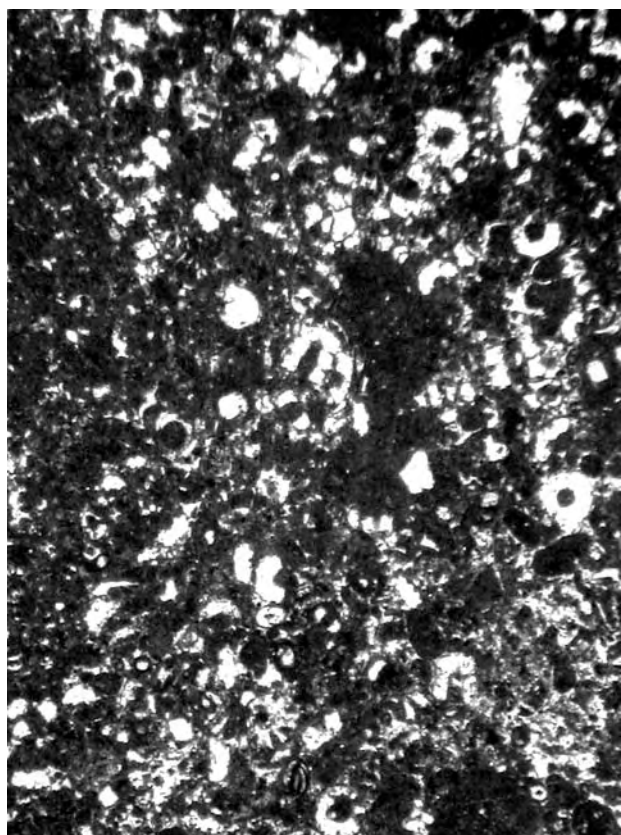
Fig. 1 – *Wackestone with Salpingoporella annulata, others Dasycladales, Miliolidae. (x 25)*
Monte Vate Rutto stratigraphic section (Aurunci Mts., Southern Latium).
Favreina salevensis and Salpingoporella annulata biozone.
Berriasian - Valanginian

Fig. 2 – *Packstone with Favreina salevensis, Salpingoporella annulata and others Dasycladales. (x 25)*
Monte Vate Rutto stratigraphic section (Aurunci Mts., Southern Latium).
Favreina salevensis and Salpingoporella annulata biozone.
Berriasian - Valanginian

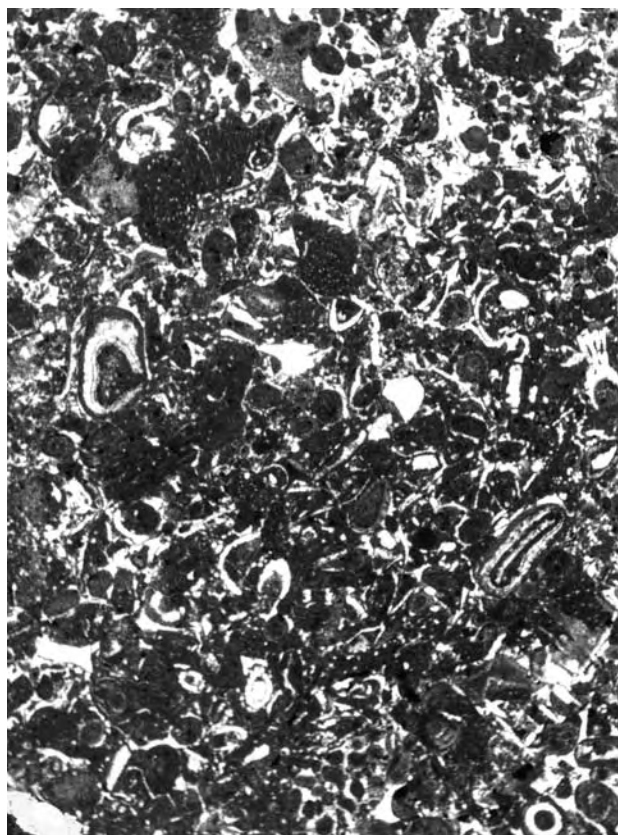
Fig. 3 – *Packstone with Montsalevia salevensis and Haplophragmoides joukowskii. (100)*
Monte Le Rave Fosche stratigraphic section (Aurunci Mts., Southern Latium).
Upper part of the Favreina salevensis and Salpingoporella annulata biozone.
Valanginian

Fig. 4 – *Packstone with Campanellula capuensis and Dasycladales. (x 30)*
Monte Le Rave Fosche stratigraphic section (Aurunci Mts., Southern Latium).
?Cuneolina scarsellai and Cuneolina camposaurii biozone.
Hauterivian - Barremian

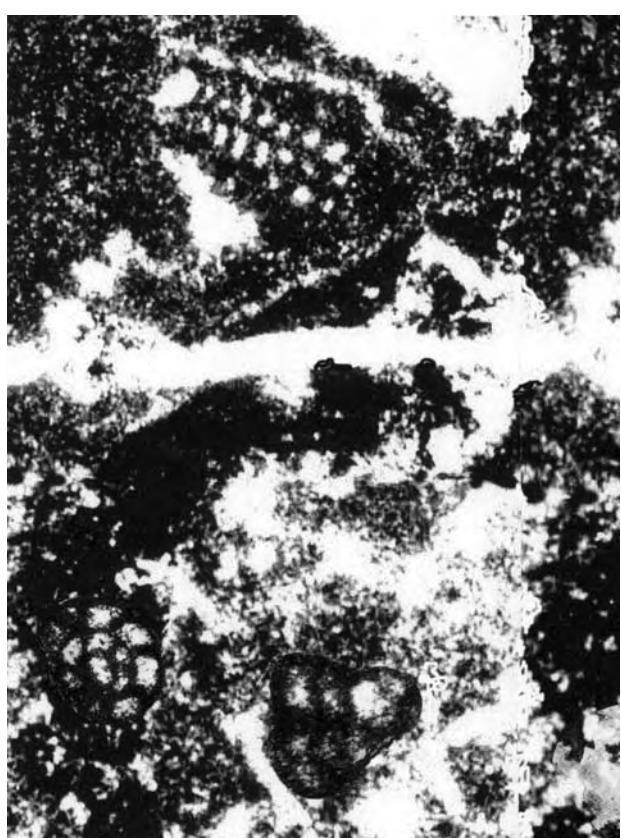
Tavola XVII



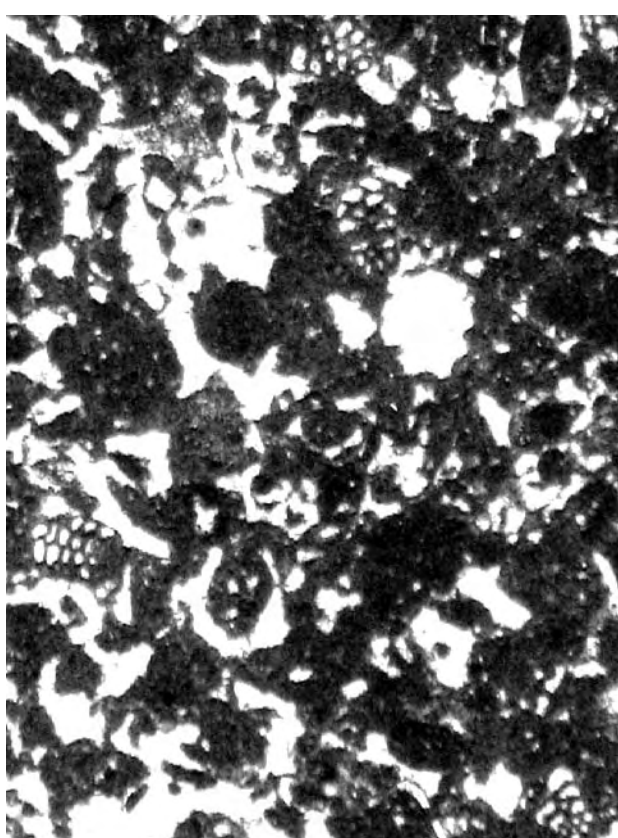
1



2



3



4

TAVOLA XVIII

Fig. 1 – Packstone con Gastropoda, *Salpingoporella hispanica* e *Thaumatoporella parvovesiculifera*. (x 25)
 Sezione stratigrafica del Monte Le Rave Fosche (Monti Aurunci, Lazio meridionale).
Biozona a ?Cuneolina scarsellai e Cuneolina camposaurii.
 Haueriviano - Barremiano

Fig. 2 – Wackestone con *Cuneolina camposaurii*, *Trochamminoides coronus*,
 Miliolidae e Ostracoda. (x 25)
 Sezione stratigrafica del Monte Le Rave Fosche (Monti Aurunci, Lazio meridionale).
Biozona a ?Cuneolina scarsellai e Cuneolina camposaurii.
 Haueriviano - Barremiano

Fig. 3 – Packstone con *Cuneolina laurentii* e Miliolidae. (x 25)
 Sezione stratigrafica del Monte Le Rave Fosche (Monti Aurunci, Lazio meridionale).
 Parte superiore della *biozona a ?Cuneolina scarsellai e Cuneolina camposaurii.*
 Barremiano

Fig. 4 – Rudstone a *Rivularia theodori* (in alto) e *Hedstroemia moldavica* (in basso). (x 30)
 Sezione stratigrafica di Colle Santa Lucia (Monte Cairo, Lazio meridionale).
 Parte superiore della *biozona a ?Cuneolina scarsellai e Cuneolina camposaurii.*
 Barremiano superiore

PLATE XVIII

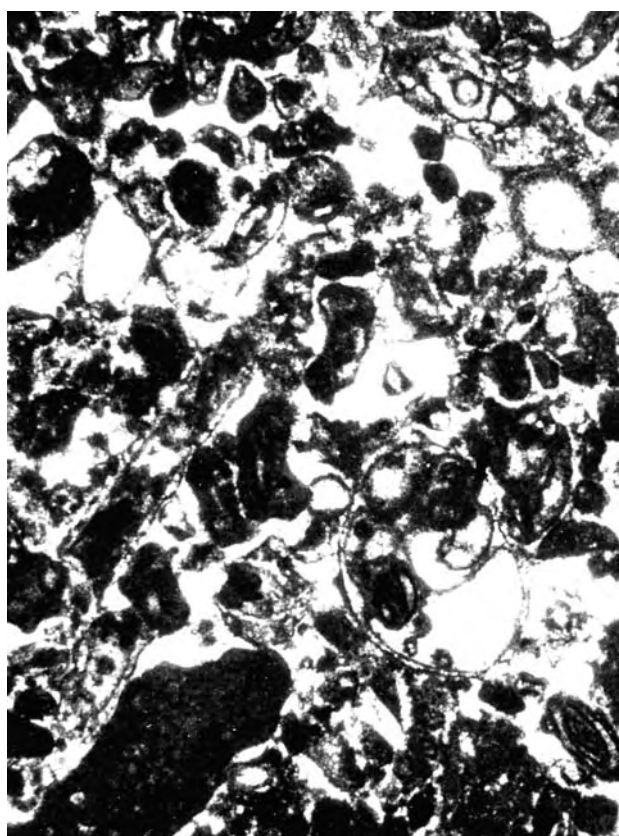
Fig. 1 – Packstone with Gastropoda, *Salpingoporella hispanica*, *Thaumatoporella parvovesiculifera*. (x 25)
 Monte Le Rave Fosche stratigraphic section (Aurunci Mts., Southern Latium).
?Cuneolina scarsellai and *Cuneolina camposaurii* biozone.
 Hauerivian - Barremian

Fig. 2 – Wackestone with *Cuneolina camposaurii*, *Trochamminoides coronus*,
 Miliolidae, Ostracoda. (x 25)
 Monte Le Rave Fosche stratigraphic section (Aurunci Mts., Southern Latium).
?Cuneolina scarsellai and *Cuneolina camposaurii* biozone.
 Hauerivian - Barremian

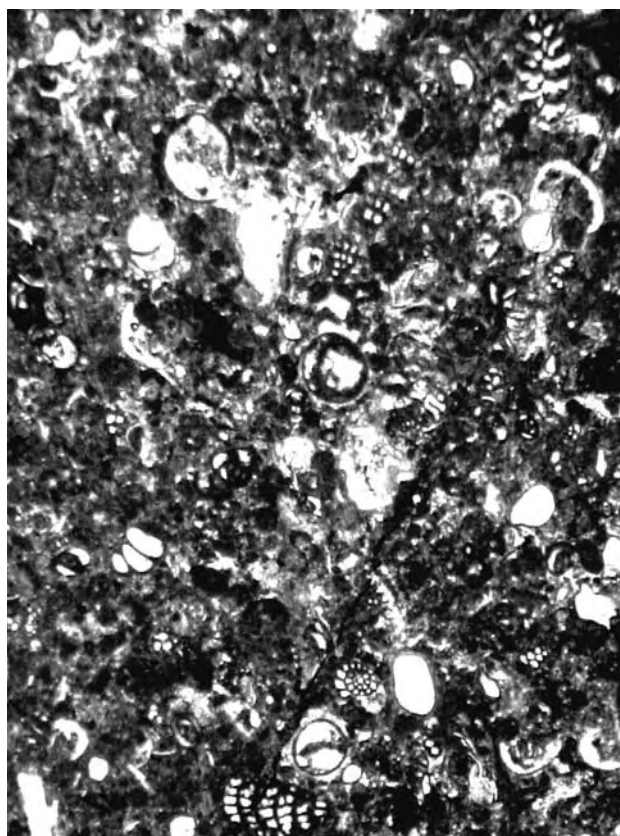
Fig. 3 – Packstone with *Cuneolina laurentii* and Miliolidae. (x 25)
 Monte Le Rave Fosche stratigraphic section (Aurunci Mts., Southern Latium).
 Upper part of the *?Cuneolina scarsellai* and *Cuneolina camposaurii* biozone.
 Barremian

Fig. 4 – Rudstone with *Rivularia theodori* (above) and *Hedstroemia moldavica* (below). (x 30)
 Monte Le Rave Fosche stratigraphic section (Aurunci Mts., Southern Latium).
 Upper part of the *?Cuneolina scarsellai* and *Cuneolina camposaurii* biozone.
 Upper Barremian

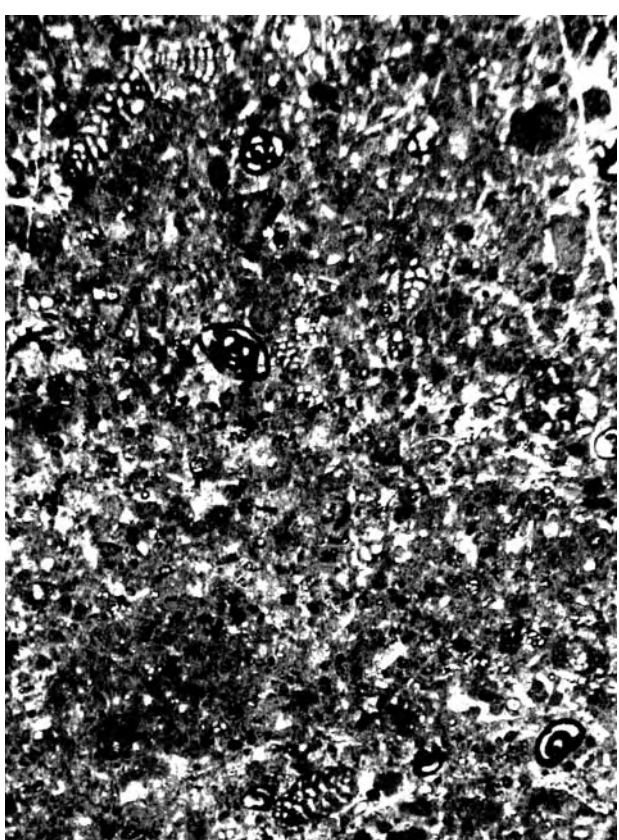
Tavola XVIII



1



2



3



4

TAVOLA XIX

Fig. 1 – Packstone con *Garwoodia fluegeli* (in alto) e *Pseudomitcheldeania dragastani* (in basso). (x 30)
 Sezione stratigrafica di Colle Santa Lucia (Monte Cairo, Lazio meridionale).
 Parte superiore della biozona a ? *Cuneolina scarsellai* e *Cuneolina camposaurii*.
 Barremiano

Fig. 2 – Rudstone con *Garwoodia polytomica*. (x 15)
 Sezione stratigrafica del Colle Santa Lucia (Monte Cairo, Lazio meridionale).
 Parte sommatale della biozona a ? *Cuneolina scarsellai* e *Cuneolina camposaurii*.
 Barremiano superiore

Fig. 3 – Packstone con *Palorbitolina lenticularis*. (x 30)
 Sezione stratigrafica di Costamezza (Monti Aurunci, Lazio meridionale).
Biozona a Salpingoporella dinarica.
 Aptiano inferiore

Fig. 4 – Floatstone con *Orbitolina (Mesorbitolina) parva*. (x 25)
 Sezione stratigrafica di Costamezza (Monti Aurunci, Lazio meridionale).
Biozona a Salpingoporella dinarica.
 Aptiano inferiore

PLATE XIX

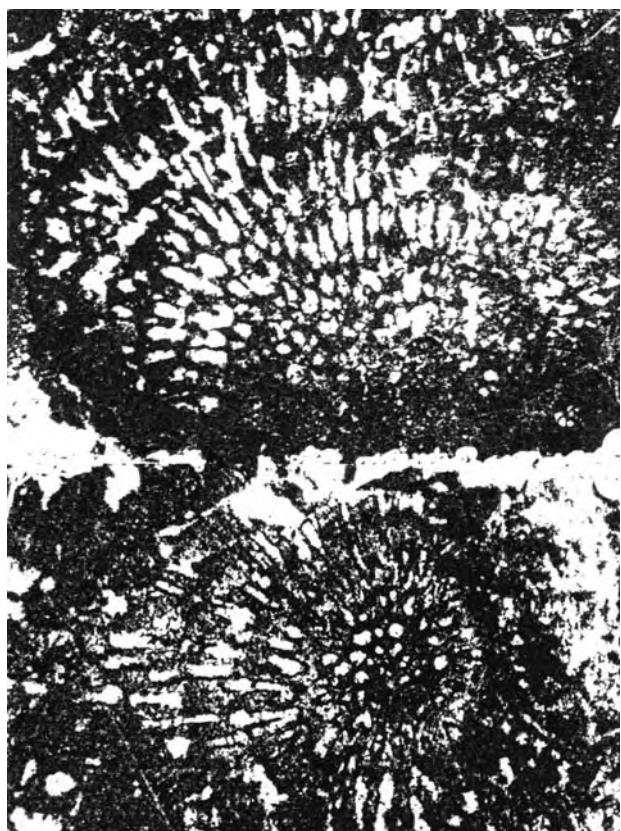
Fig. 1 – *Packstone with Garwoodia fluegeli (above) and Pseudomitcheldeania dragastani (below)*. (x 30)
Colle Santa Lucia stratigraphic section (Cairo Mt., Southern Latium).
Upper part of the ? Cuneolina scarsellai and Cuneolina camposaurii biozone.
Barremian

Fig. 2 – *Rudstone with Garwoodia polytomica*. (x 15)
Colle Santa Lucia stratigraphic section (Cairo Mt., Southern Latium).
Uppermost part of the ? Cuneolina scarsellai and Cuneolina camposaurii biozone.
Upper Barremian

Fig. 3 – *Packstone with Palorbitolina lenticularis*. (x 30)
Costamezza stratigraphic section (Aurunci Mts., Southern Latium).
Salpingoporella dinarica biozone.
Lower Aptian

Fig. 4 – *Floatstone with Orbitolina (Mesorbitolina) parva*. (x 25)
Costamezza stratigraphic section (Aurunci Mts., Southern Latium).
Salpingoporella dinarica biozone.
Lower Aptian

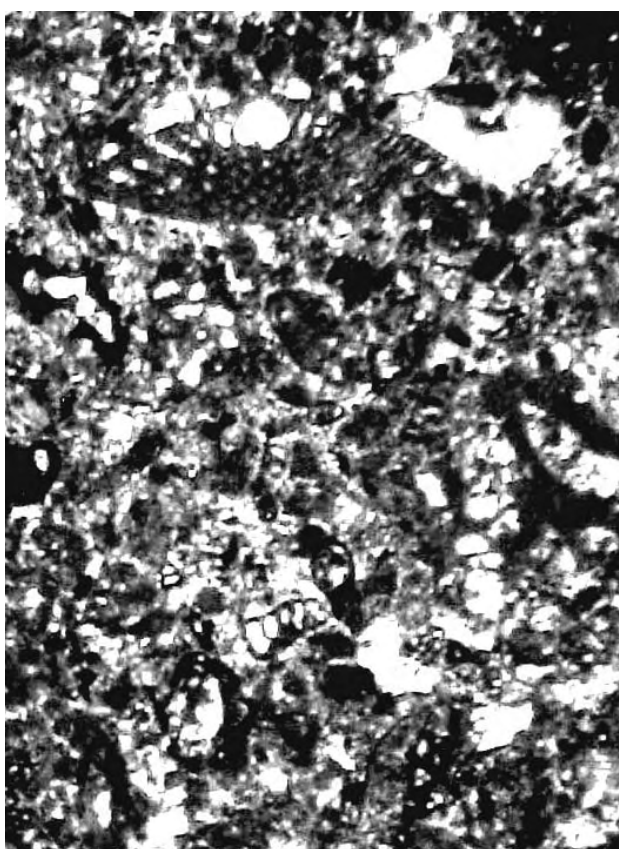
Tavola XIX



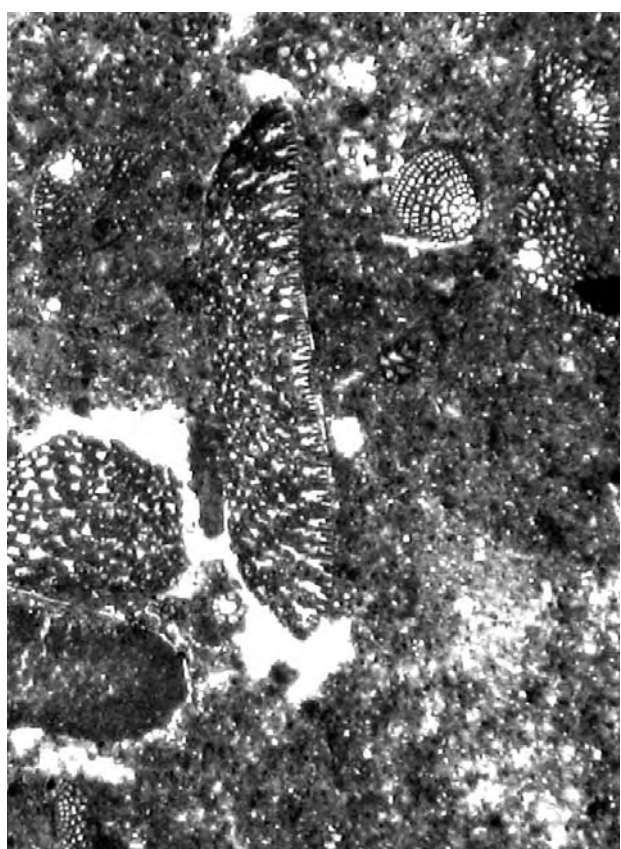
1



2



3



4

TAVOLA XX**Fig. 1** – Packstone con *Debarina habounerensis*. (x 80)

Sezione stratigrafica della Serra del Pruno (Monti Ausoni, Lazio meridionale).

Biozona a Salpingoporella dinarica.

Aptiano inferiore

Fig. 2 – Packstone con *Pseudolituonella conica*. (x 80)

Sezione stratigrafica del Monte Sant'Angelo (Monti Aurunci, Lazio meridionale).

Biozona a Salpingoporella dinarica.

Aptiano inferiore

Fig. 3 – Wackestone con *Salpingoporella dinarica* e ? *Valvulineria* sp. (x 50)

Sezione stratigrafica del Monte La Civita (Monti Aurunci, Lazio meridionale).

Biozona a Salpingoporella dinarica.

Aptiano inferiore.

Fig. 4 – Floatstone con *Dictyoconus pachymarginalis* e Miliolidae. (x 40)

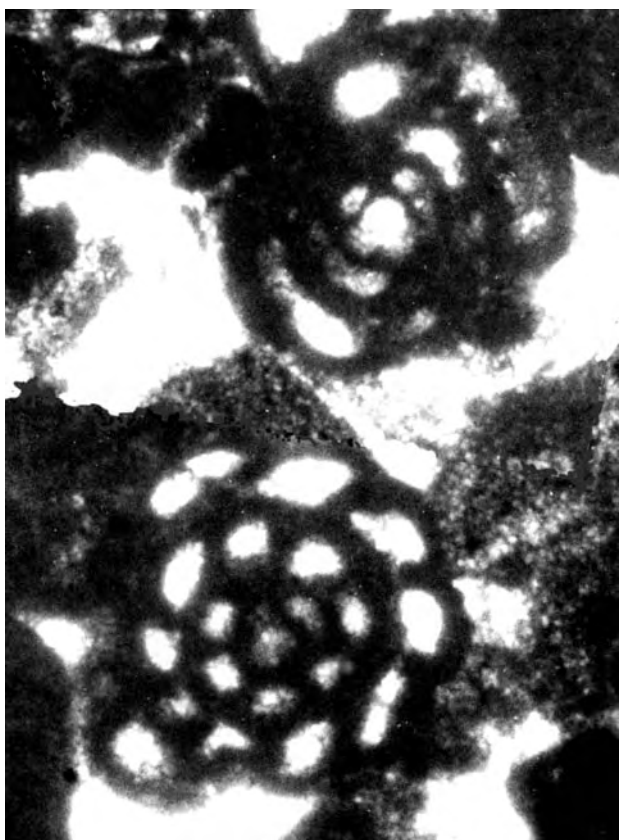
Sezione stratigrafica di Colle Sant'Angelo (Monte Cairo, Lazio meridionale).

Parte terminale della *Biozona a Salpingoporella dinarica*.

Aptiano inferiore sommitale

PLATE XX**Fig. 1** – *Packstone with Debarina hahounerensis. (x 80)**Serra del Pruno stratigraphic section (Ausoni Mts., Southern Latium).**Salpingoporella dinarica biozone.**Lower Aptian***Fig. 2** – *Packstone with Pseudolituonella conica. (x 80)**Monte Sant'Angelo stratigraphic section (Aurunci Mts., Southern Latium).**Salpingoporella dinarica biozone.**Lower Aptian***Fig. 3** – *Wackestone with Salpingoporella dinarica and ?Valvulineria sp. (x 50)**Monte La Civita stratigraphic section (Aurunci Mts., Southern Latium).**Salpingoporella dinarica biozone.**Lower Aptian***Fig. 4** – *Floatstone with Dictyoconus pachymarginalis and Miliolidae. (x 40)**Colle Sant'Angelo stratigraphic section (Cairo Mt., Southern Latium).**Terminal part of the Salpingoporella dinarica biozone.**Lower Aptian*

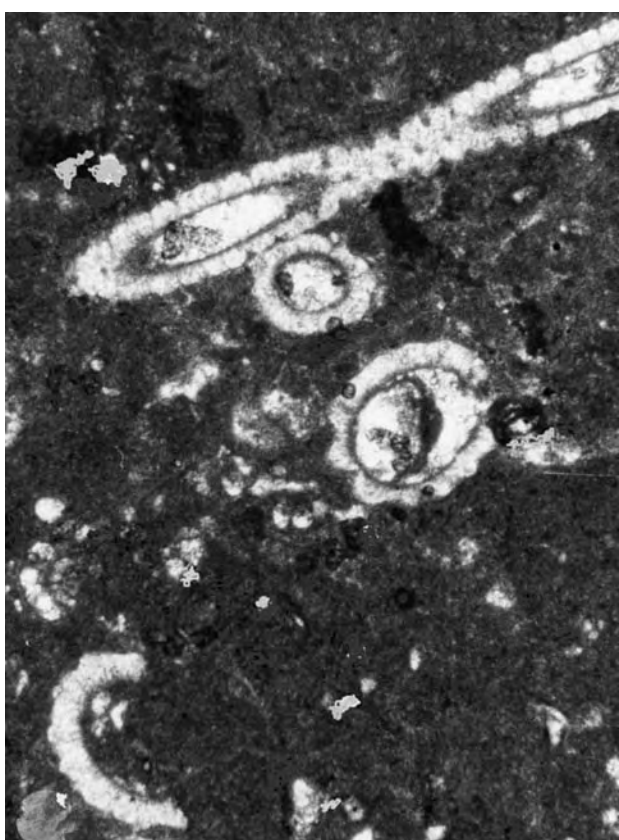
Tavola XX



1



2



3



4

TAVOLA XXI

Fig. 1 – Rudstone con *Orbitolina (Mesorbitolina) texana*, Orbitolinidae, Miliolidae. (x 20)
 Sezione stratigrafica di Colle Sant'Angelo (Monte Cairo, Lazio meridionale).
 Parte terminale della biozona a *Salpingoporella dinarica*.
 Limite Aptiano inferiore - Aptiano superiore

Fig. 2 – Grainstone con *Sabaudia auruncensis* e Miliolidae. (x 85)
 Sezione stratigrafica di Costamezza (Monti Aurunci, Lazio meridionale).
 Parte terminale della biozona a *Salpingoporella dinarica*.
 Aptiano inferiore sommitale

Fig. 3 – Wackestone con *Archaealveolina reicheli*, Miliolidae. (x 30)
 Sezione stratigrafica del Monte La Civita (Monti Aurunci, Lazio meridionale).
Biozona a Archaealveolina reicheli.
 Aptiano superiore p.p.

Fig. 4 – Grainstone con *Praechrysalidina infracretacea*, *Archaealveolina reicheli*, Miliolidae. (x 20)
 Sezione stratigrafica di Colle Santa Lucia (Monte Cairo, Lazio meridionale).
Biozona a Archaealveolina reicheli.
 Aptiano superiore p.p.

PLATE XXI

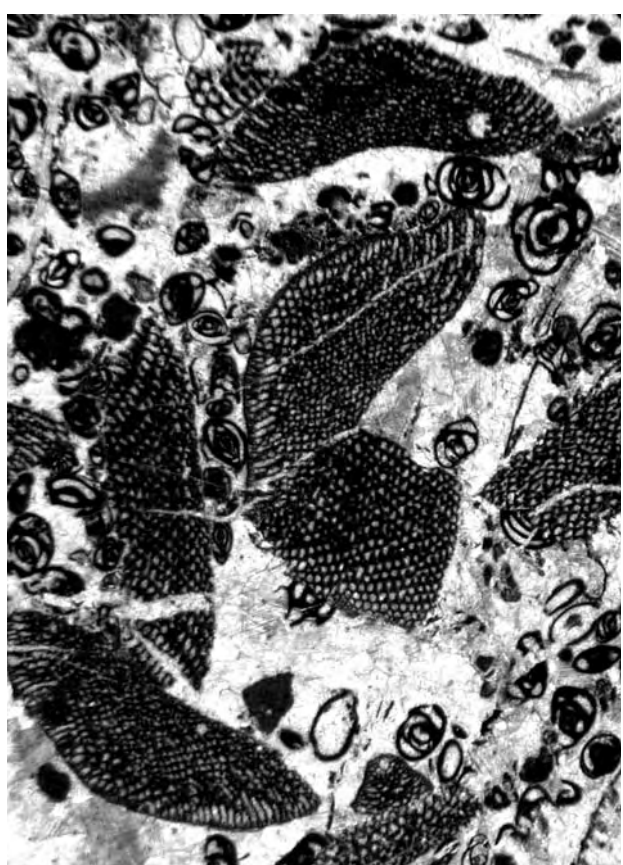
Fig. 1 – Rudstone with *Orbitolina (Mesorbitolina) texana*, *Orbitolinidae, Miliolidae*. (x 20)
Colle Sant'Angelo stratigraphic section (Cairo Mt., Southern Latium).
Terminal part of the Salpingoporella dinarica biozone.
Lower Aptian - Upper Aptian boundary

Fig. 2 – Grainstone with *Sabaudia auruncensis* and *Miliolidae*. (x 85)
Costamezza stratigraphic section (Aurunci Mts., Southern Latium).
Terminal part of the Salpingoporella dinarica biozone.
Uppermost Lower Aptian

Fig. 3 – Wackestone with *Archaealveolina reicheli* and *Miliolidae*. (x 30)
Monte La Civita stratigraphic section (Aurunci Mts., Southern Latium).
Archaealveolina reicheli biozone.
Upper Aptian p.p

Fig. 4 – Grainstone with *Praechrysalidina infracretacea*, *Archaealveolina reicheli*, *Miliolidae*. (x 20)
Colle Santa Lucia stratigraphic section (Cairo Mt., Southern Latium).
Archaealveolina reicheli biozone.
Upper Aptian p.p

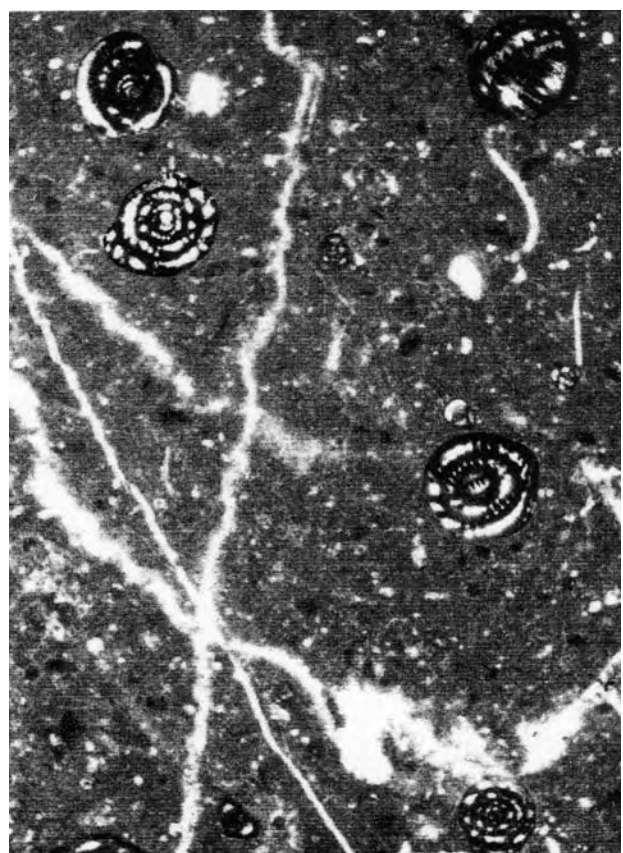
Tavola XXI



1



2



3



4

TAVOLA XXII

Fig. 1 - Wackestone con *Cuneolina sliteri*, Mollusca. (x 30)

Sezione stratigrafica di Colle Santa Lucia (Monte Cairo, Lazio meridionale).

Biozona a Archaealveolina reicheli.

Aptiano superiore p.p.

Fig. 2 - Floatstone con *Simplorbitolina aquitanica*, *Praechrysalidina infracretacea*, Miliolidae. (x 15)

Sezione stratigrafica della Serra del Pruno (Monti Ausoni, Lazio meridionale).

Biozona a Dictyoconus algerianus.

Aptiano superiore p.p. – Albiano inferiore p.p.

Fig. 3 – Floatstone a *Dictyoconus algerianus*. (x 35)

Sezione stratigrafica di Colle Santa Lucia (Monte Cairo, Lazio meridionale).

Biozona a Dictyoconus algerianus.

Aptiano superiore p.p. - Albiano inferiore p.p.

Fig. 4 – Floatstone con *Paracoskinolina tunesiana* e Miliolidae. (x 50)

Sezione stratigrafica di Colle Santa Lucia (Monte Cairo, Lazio meridionale).

Biozona a Dictyoconus algerianus.

Aptiano superiore p.p. - Albiano inferiore p.p.

PLATE XII

Fig. 1 – *Wackestone with Cuneolina sliteri, Mollusca. (x 30)*

Colle Santa Lucia stratigraphic section (Cairo Mt., Southern Latium).

Archaealveolina reicheli biozone.

Upper Aptian p.p.

Fig. 2 – *Floatstone with Simplorbitolina aquitanica, Praechrysalidina infracretacea, Miliolidae. (x 15)*

Serra del Pruno stratigraphic section (Ausoni Mts., Southern Latium).

Dictyoconus algerianus biozone.

Upper Aptian p.p. - Lower Albian p.p.

Fig. 3 – *Floatstone with Dictyoconus algerianus. (x 35)*

Colle Santa Lucia stratigraphic section (Cairo Mt., Southern Latium).

Dictyoconus algerianus biozone.

Upper Aptian p.p. - Lower Albian p.p.

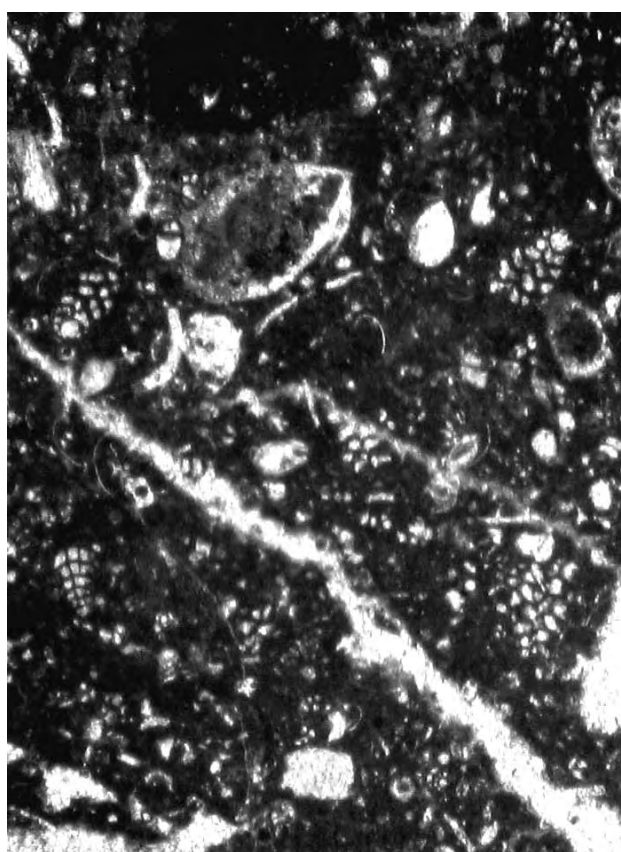
Fig. 4 – *Floatstone with Paracoskinolina tunesiana and Miliolidae. (x 50).*

Colle Santa Lucia stratigraphic section (Cairo Mt., Southern Latium).

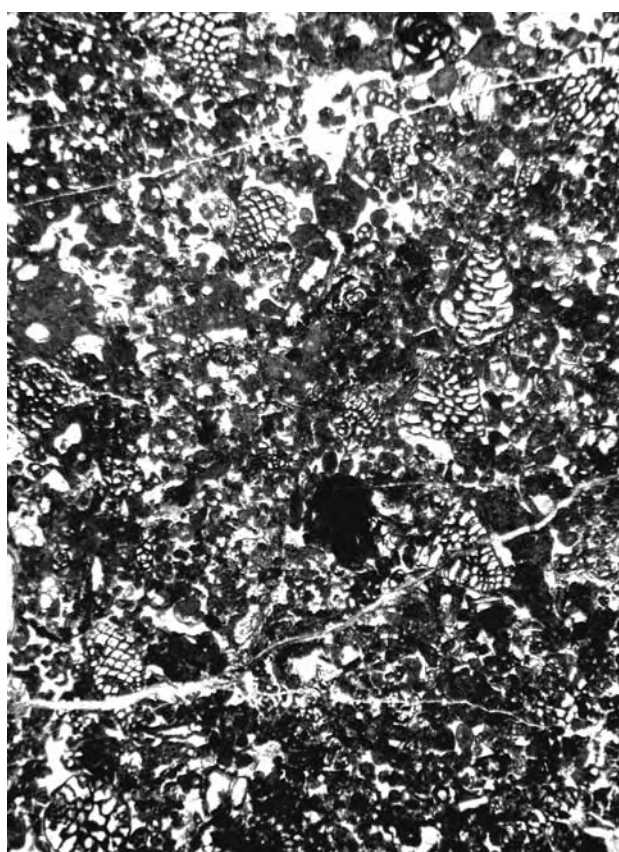
Dictyoconus algerianus biozone.

Upper Aptian p.p. - Lower Albian p.p.

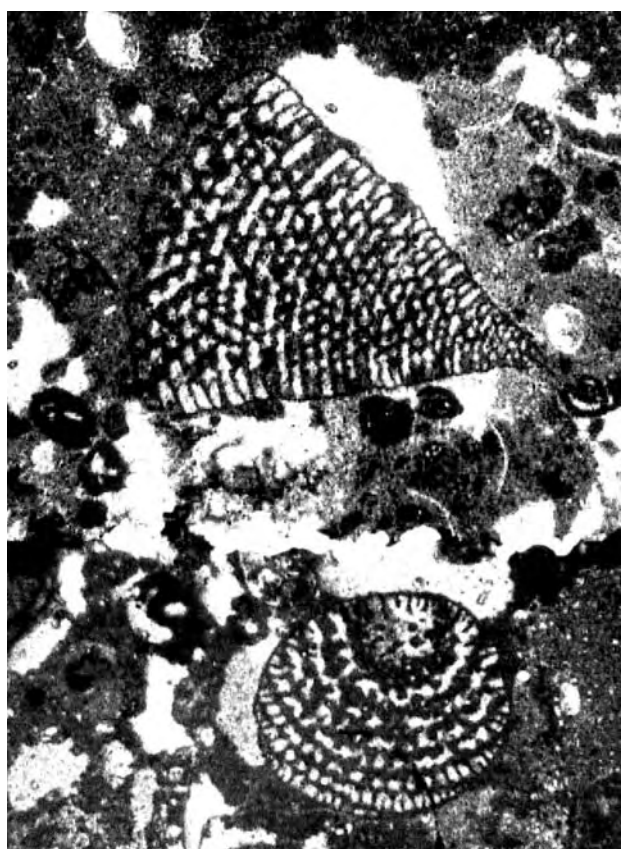
Tavola XXII



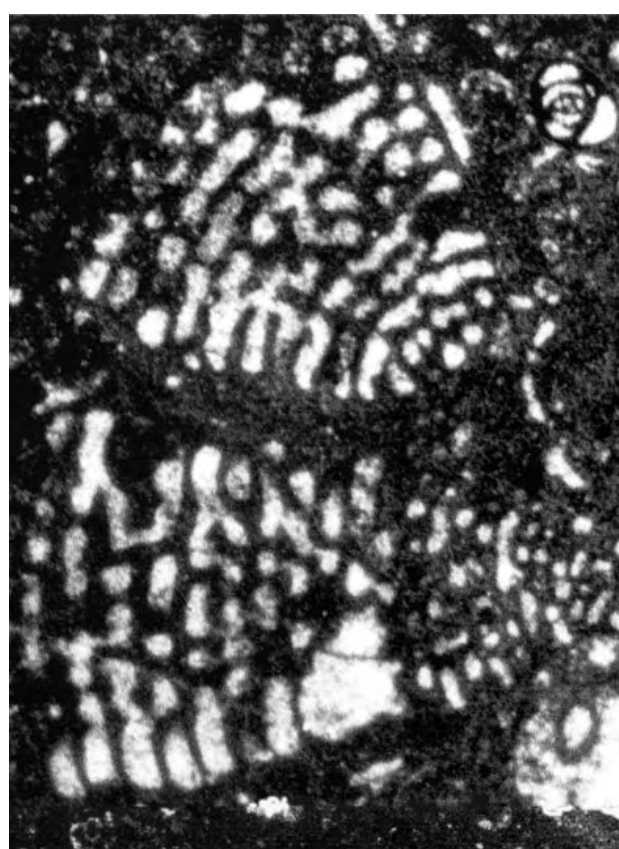
1



2



3



4

TAVOLA XXIII

Fig. 1 – Floatstone con *Cribelopsis arnaudae* e resti di Diceratidae. (x 25)
 Sezione stratigrafica di Monte La Civita (Monti Aurunci, Lazio meridionale).
Biozona a Ostracoda e Miliolidae.
 Albiano inferiore sommitale

Fig. 2 – Wackestone con *Nezzazata isabellae*, *Cuneolina* sp. (x 35)
 Sezione stratigrafica di Colle Santa Lucia (Monte Cairo, Lazio meridionale).
Biozona a Dictyoconus algerianus.
 Aptiano superiore p.p. - Albiano inferiore p.p.

Fig. 3 – Rudstone con *Salpingoporella turgida*. (x 30)
 Sezione stratigrafica del Monte La Civita (Lazio meridionale).
 Parte superiore della *biozona a Ostracoda e Miliolidae*.
 Albiano superiore

Fig. 4 – Wackestone con Miliolidae e Ostracoda. (x 35)
 Sezione stratigrafica del Monte La Civita (Monti Aurunci, Lazio meridionale).
Biozona a Ostracoda e Miliolidae.
 Albiano

PLATE XXIII

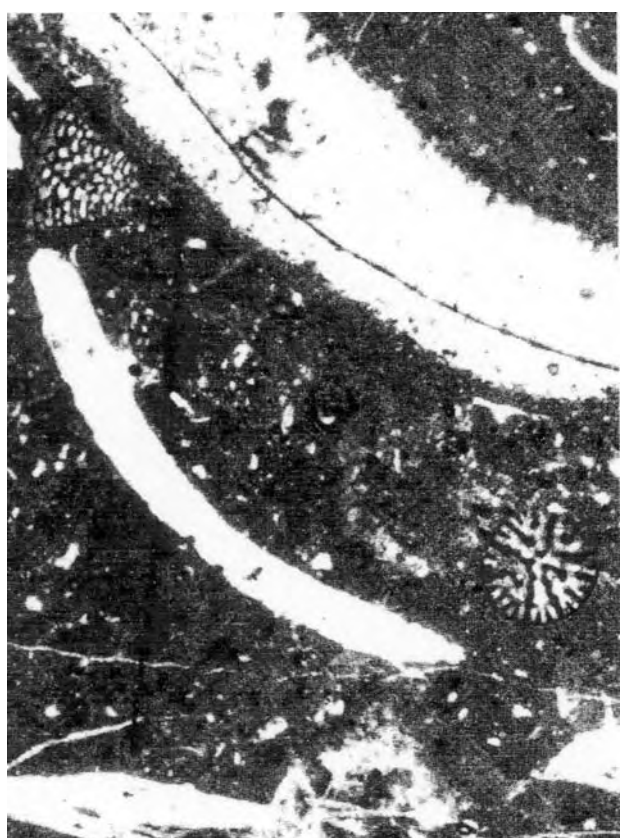
Fig. 1 – *Floatstone with Cribelopsis arnaudae and Diceratidae. (x 25)*
Monte La Civita stratigraphic section (Aurunci Mts., Southern Latium).
Ostracoda and Miliolidae biozone.
Uppermost Lower Albian

Fig. 2 – *Wackestone with Nezzazata isabellae, Cuneolina sp. (x 35)*
Colle Santa Lucia stratigraphic section (Cairo Mt., Southern Latium).
Dictyoconus algerianus biozone.
Upper Aptian p.p. - Lower Albian p.p.

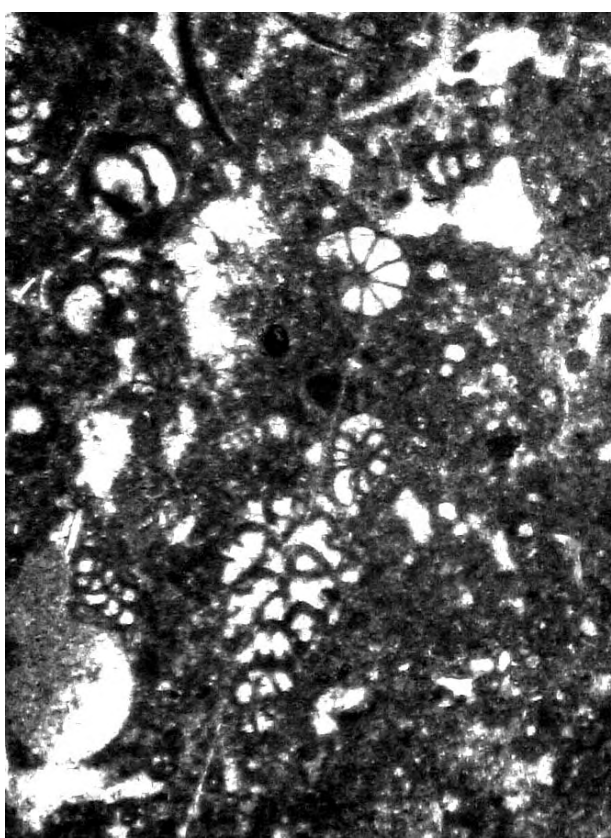
Fig. 3 – *Rudstone with Salpingoporella turgida. (x 30)*
Monte La Civita stratigraphic section (Aurunci Mts., Southern Latium).
Upper part of the Ostracoda and Miliolidae biozone.
Upper Albian

Fig. 4 – *Wackestone with Miliolidae and Ostracoda. (x 35)*
Monte La Civita stratigraphic section (Aurunci Mts., Southern Latium).
Ostracoda and Miliolidae biozone.
Albian

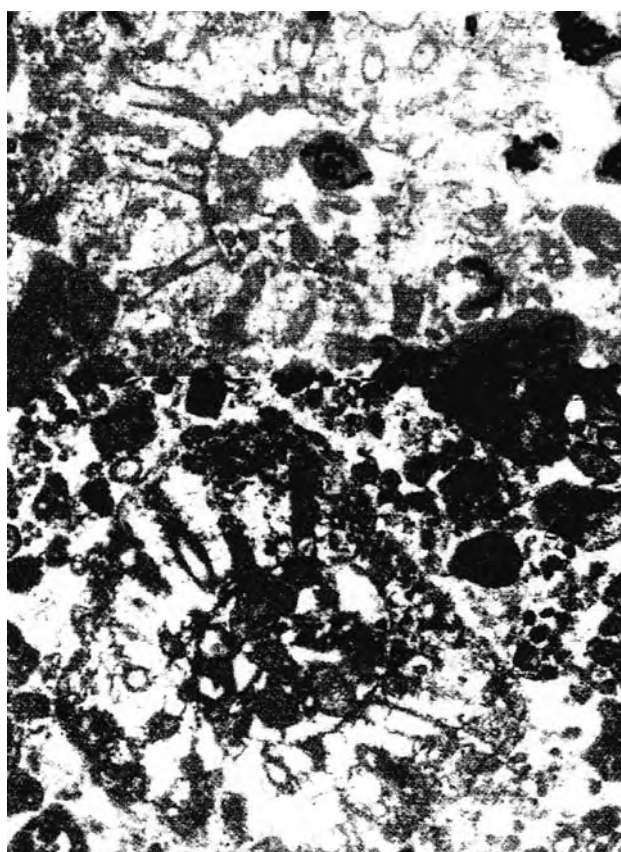
Tavola XXIII



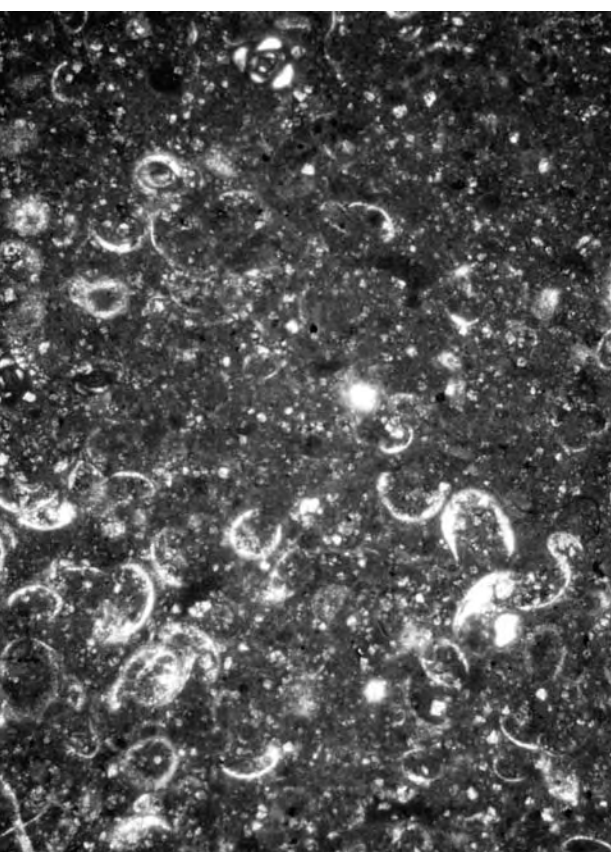
1



2



3



4

TAVOLA XXIV

Fig. 1 – Grainstone con *Neoiraqia insolita* e *Bolivinopsis* sp. (x 40)
 Sezione stratigrafica della Serra del Pruno (Monti Ausoni, Lazio meridionale).
Biozona a Ostracoda e Miliolidae.
 Limite Albiano - Cenomaniano

Fig. 2 – Grainstone con *Valdanchella dercourtii*, *Neoiraqia insolita* e *?Involutina* sp. (x 50)
 Sezione stratigrafica della Serra del Pruno (Monti Ausoni, Lazio meridionale).
Biozona a Ostracoda e Miliolidae.
 Limite Albiano - Cenomaniano

Fig. 3 – Wackestone con Miliolidae e Ostracoda. (x 35)
 Sezione stratigrafica del Monte La Civita (Monti Aurunci, Lazio meridionale).
Biozona a Ostracoda e Miliolidae.
 Albiano superiore

Fig. 4 – Grainstone laminato con lamine arrossate. (x 12)
 Sezione stratigrafica del Monte La Civita (Monti Aurunci, Lazio meridionale).
Biozona a Ostracoda e Miliolidae.
 Albiano superiore - Cenomaniano iniziale

PLATE XXIV

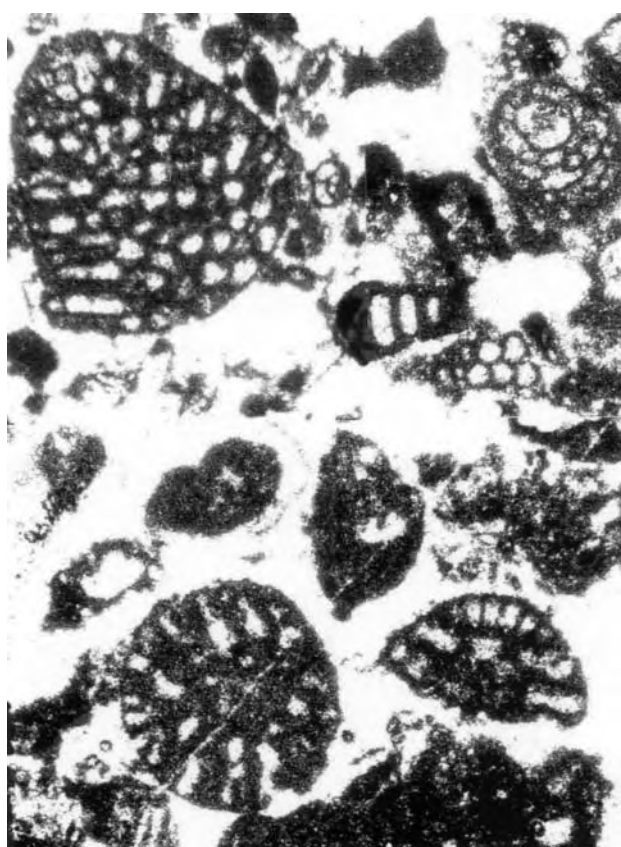
Fig. 1 – *Grainstone with Neoiraqia insolita and Bolivinopsis sp. (x 40)*
Serra del Pruno stratigraphic section (Ausoni Mts., Southern Latium).
Ostracoda and Milolidae biozone.
Albian - Cenomanian boundary

Fig. 2 – *Grainstone with Valdanchella dercourtii, Neoiraqia insolita and ? Involutina sp. (x 50)*
Serra del Pruno stratigraphic section (Ausoni Mts., Southern Latium).
Ostracoda and Milolidae biozone.
Albian - Cenomanian boundary

Fig. 3 – *Wackestone with Miliolidae and Ostracoda. (x 35)*
Monte La Civita stratigraphic section (Aurunci Mts., Southern Latium).
Ostracoda and Milolidae biozone.
Upper Albian

Fig. 4 – *Laminated grainstone with reddish laminae. (x 12)*
Monte La Civita stratigraphic section (Aurunci Mts., Southern Latium).
Ostracoda and Milolidae biozone.
Upper Albian - Early Cenomanian

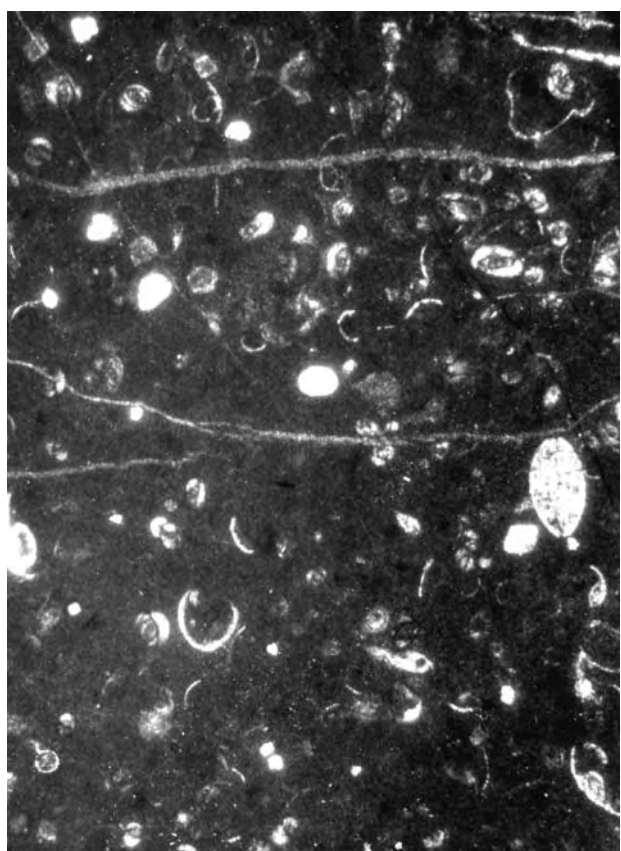
Tavola XXIV



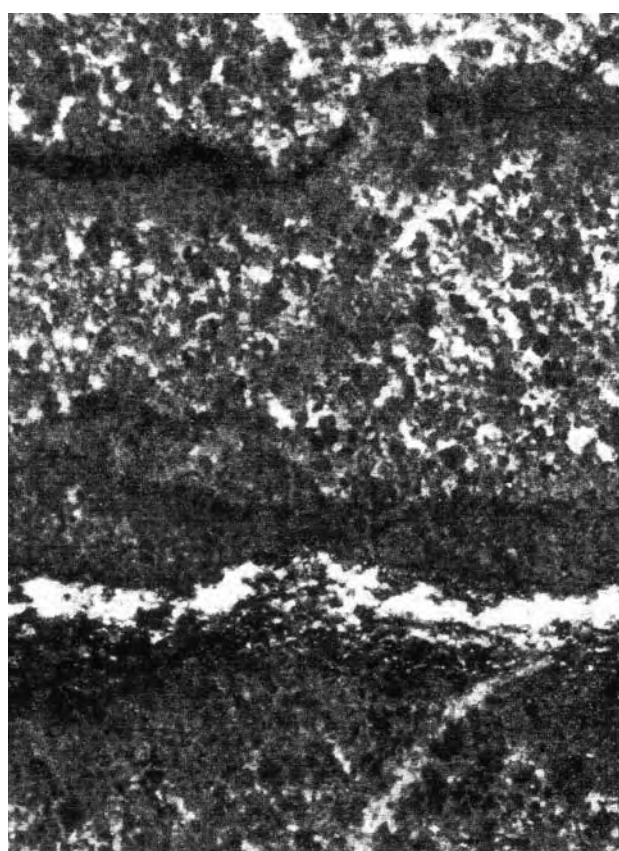
1



2



3



4

TAVOLA XXV

Fig. 1 – Grainstone con *Sellialveolina viallii* e resti di Mollusca. (x 30)
 Sezione stratigrafica de l'Ottaduna (Monte Cairo, Lazio meridionale).
 Parte superiore della biozona a Ostracoda e Miliolidae.
 Cenomaniano inferiore

Fig. 2 – Floatstone con *Praealveolina gr. cretacea*, *Cisalveolina lehneri* e Miliolacea. (x 25)
 Sezione stratigrafica de l'Ottaduna (Monte Cairo, Lazio meridionale).
 Parte iniziale della biozona a *Pseudorhapydionina dubia* e *Pseudorhapydionina laurinensis*.
 Cenomaniano superiore iniziale

Fig. 3 – Wackestone con *Trochospira avnimelechi*. (x 75)
 Sezione stratigrafica de l'Ottaduna (Monte Cairo, Lazio meridionale).
Biozona a Pseudorhapydionina dubia e Pseudorhapydionina laurinensis.
 Cenomaniano superiore iniziale

Fig. 4 – Packstone con *Merlingina cretacea*. (x 100)
 Sezione stratigrafica de l'Ottaduna (Monte Cairo, Lazio meridionale).
 Parte superiore della biozona a Ostracoda e Miliolidae.
 Cenomaniano inferiore sommitale

PLATE XXV

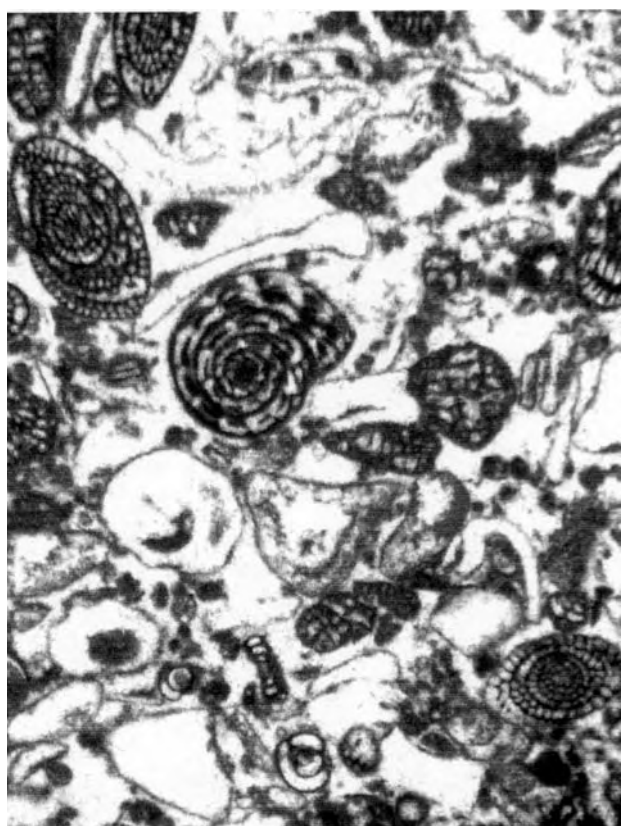
Fig. 1 – *Grainstone with Sellialveolina viallii and Mollusca remains. (x 30)*
L'Ottaduna stratigraphic section (Cairo Mt., Southern Latium).
Upper part of the Ostracoda and Miliolidae biozone.
Lower Cenomanian

Fig. 2 – *Floatstone with Praealveolina gr. cretacea, Cisalveolina lehneri and Miliolacea. (x 25)*
L'Ottaduna stratigraphic section (Cairo Mt., Southern Latium).
Initial part of the Pseudorhapydionina dubia and Pseudorhapydionina laurinensis biozone.
Lowermost Upper Cenomanian

Fig. 3 – *Wackestone with Trochospira avnimelechi. (x 75)*
L'Ottaduna stratigraphic section (Cairo Mt., Southern Latium).
Pseudorhapydionina dubia and Pseudorhapydionina laurinensis biozone.
Lowermost Upper Cenomanian

Fig. 4 – *Packstone with Merlingina cretacea. (x 100)*
L'Ottaduna stratigraphic section (Cairo Mt., Southern Latium).
Upper part of the Ostracoda and Miliolidae biozone.
Uppermost Lower Cenomanian

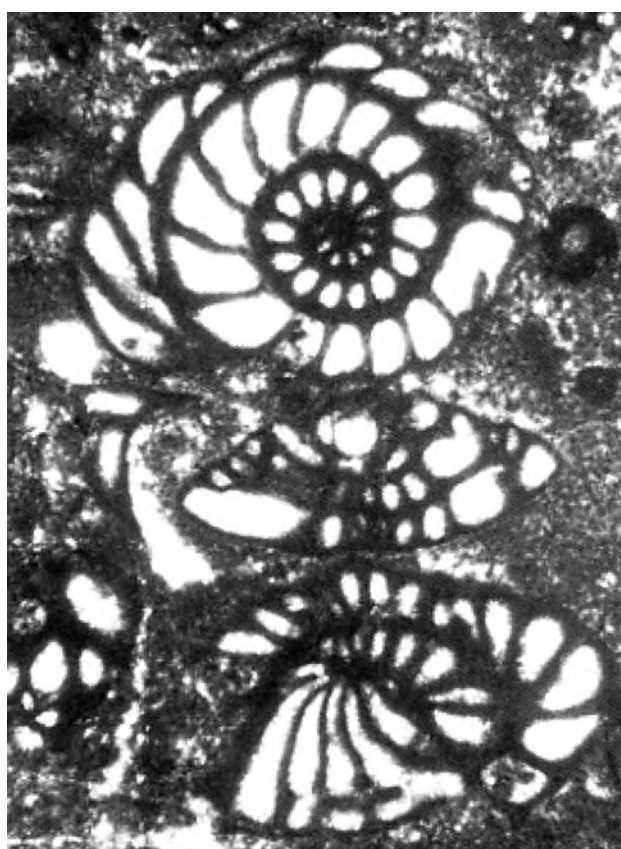
Tavola XXV



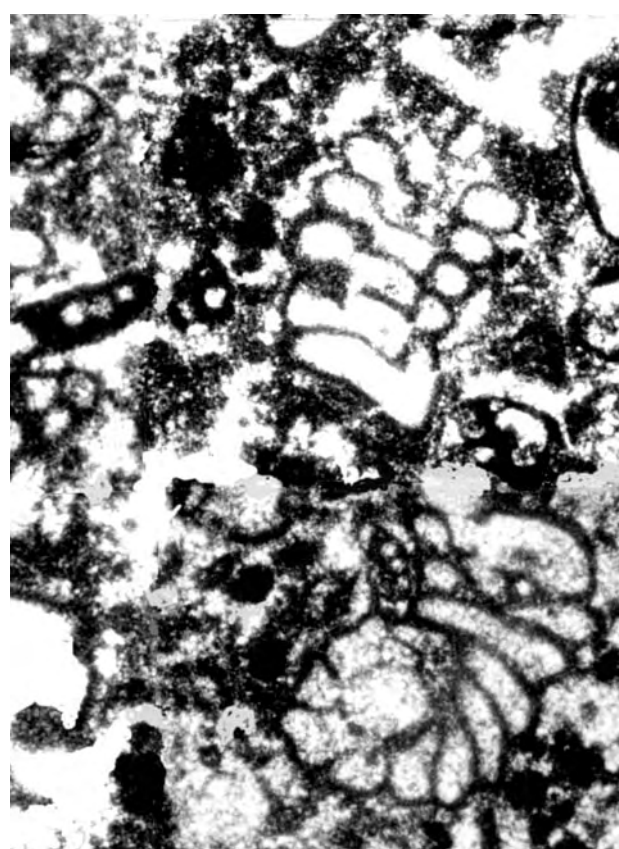
1



2



3



4

TAVOLA XXVI**Fig. 1** – Packstone con *Biplanata peneropliformis*. (x 75)

Sezione stratigrafica della Serra del Pruno (Monti Ausoni, Lazio meridionale).

Biozona a Pseudorhapydionina dubia e Pseudorhapydionina laurinensis.

Cenomaniano superiore p.p.

Fig. 2 – Rudstone con *Pseudorhapydionina dubia*, *Nezzazata* sp., Miliolidae. (x 75)

Sezione stratigrafica della Serra del Pruno (Monti Ausoni, Lazio meridionale).

Biozona a Pseudorhapydionina dubia e Pseudorhapydionina laurinensis.

Cenomaniano superiore p.p.

Fig. 3 – Wackestone con *Pseudonummoloculina aurigerica*. (x 30)

Sezione stratigrafica di Colle Santa Lucia (Monte Cairo, Lazio meridionale).

Biozona a Ostracoda e Miliolidae.

Albiano - Cenomaniano inferiore

Fig. 4 – Wackestone con *Pseudolituonella reicheli*, *Chrysalidina gradata*, Miliolidae. (x 25)

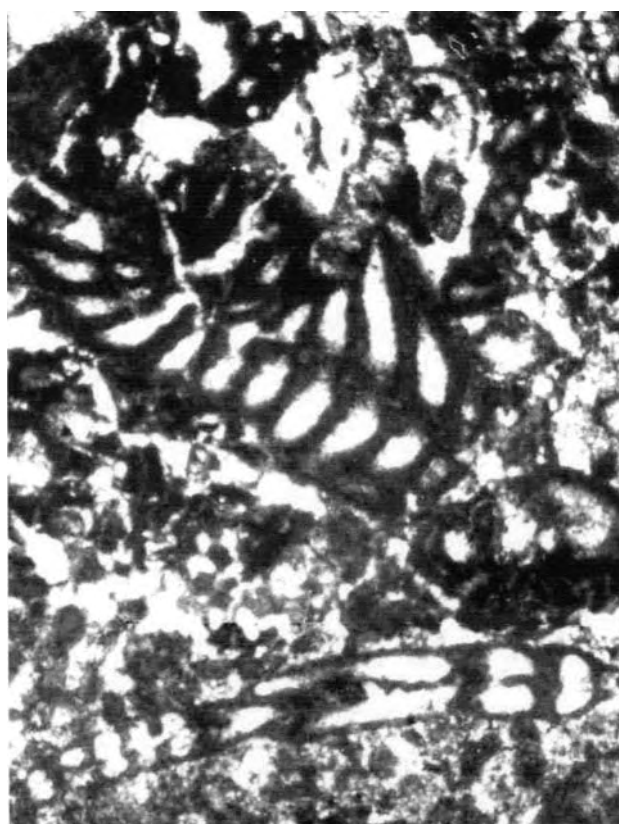
Sezione stratigrafica del Monte La Civita (Monti Aurunci, Lazio meridionale).

Biozona a Chrysalidina gradata e Pseudolituonella reicheli.

Cenomaniano superiore p.p.

PLATE XXVI**Fig. 1** – Packstone with *Biplanata peneropliformis*. (x 75)*Serra del Pruno stratigraphic section (Ausoni Mts., Southern Latium).**Pseudorhapydionina dubia and Pseudorhapydionina laurinensis biozone.**Upper Cenomanian p.p.***Fig. 2** – Rudstone with *Pseudorhapydionina dubia*, *Nezzazata* sp, Miliolidae. (x 75)*Serra del Pruno stratigraphic section (Ausoni Mts., Southern Latium).**Pseudorhapydionina dubia and Pseudorhapydionina laurinensis biozone.**Upper Cenomanian p.p.***Fig. 3** – Wackestone with *Pseudonummoloculina aurigerica*. (x 30)*Colle Santa Lucia stratigraphic section (Cairo Mt., Southern Latium).**Ostracoda and Miliolidae biozone.**Albian - Lower Cenomanian***Fig. 4** – Wackestone with *Pseudolituonella reicheli*, *Chrysalidina gradata*, Miliolidae. (x 25)*Monte La Civita stratigraphic section (Aurunci Mts., Southern Latium).**Chrysalidina gradata and Pseudolituonella reicheli biozone.**Upper Cenomanian p.p.*

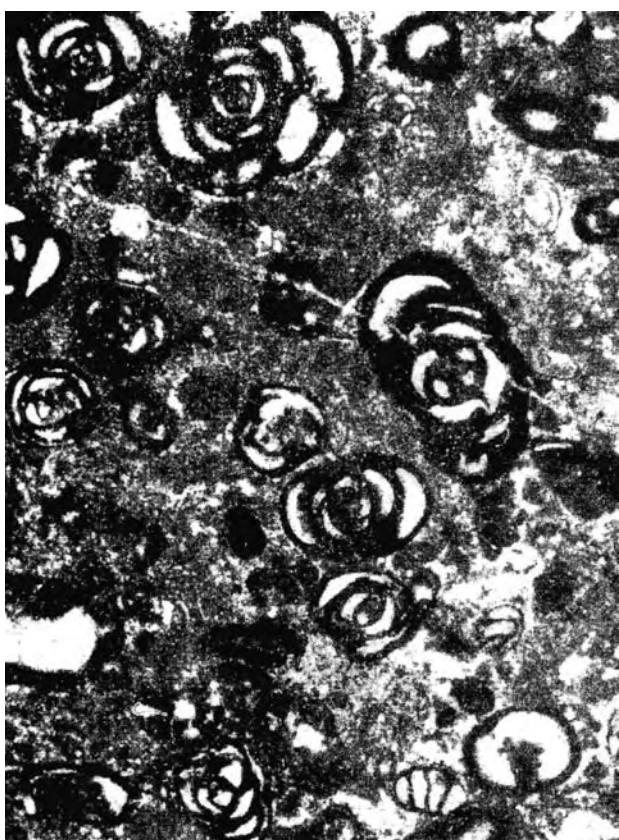
Tavola XXVI



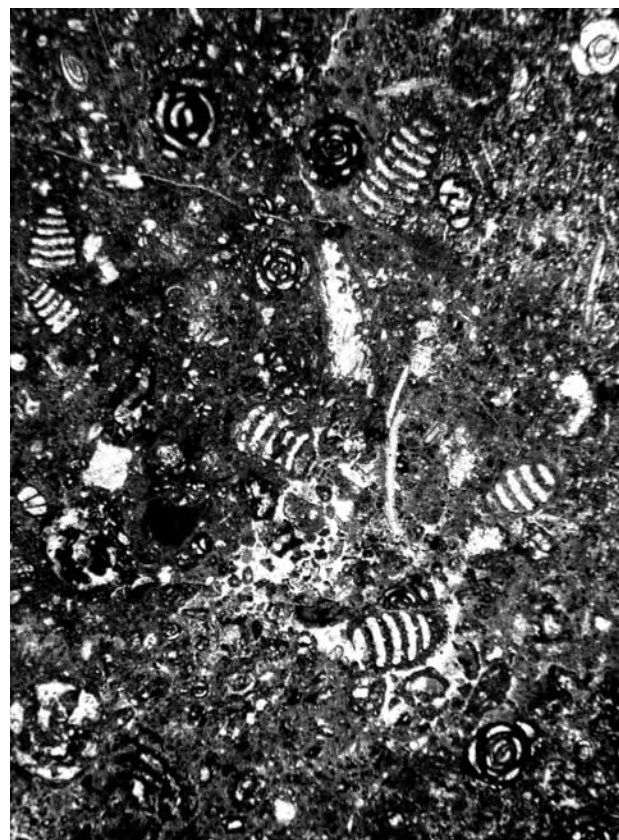
1



2



3



4

TAVOLA XXVII

Fig. 1 – Floatstone con *Chrysalidina gradata*, *Pseudolituonella reicheli*, *Thaumatoporella parvovesiculifera*, Miliolidae. (x 20)
 Sezione stratigrafica del Monte Orsello (Monti d'Ocre, Abruzzo).
Biozona a Chrysalidina gradata e Pseudolituonella reicheli.
 Cenomaniano superiore p.p.

Fig. 2 – Rudstone con *Cisalveolina fraasi*, *Pseudolituonella reicheli*, *Chrysalidina gradata*, Miliolidae. (x 12)
 Sezione stratigrafica de l'Ottaduna (Monte Cairo, Lazio meridionale).
 Parte superiore della *Biozona a Chrysalidina gradata e Pseudolituonella reicheli*.
 Cenomaniano superiore sommitale

Fig. 3 – Floatstone con *Cisalveolina fraasi*. (x 20)
 Sezione stratigrafica della Serra del Pruno (Monti Ausoni, Lazio meridionale).
 Parte superiore della *Biozona a Chrysalidina gradata e Pseudolituonella reicheli*.
 Cenomaniano superiore sommitale

Fig. 4 – Wackestone con *Pseudorhipidionina murgiana* e resti di Hippuritacea. (x 30)
 Sezione stratigrafica della Serra del Pruno (Monti Ausoni, Lazio meridionale).
 Parte superiore della *Biozona a Chrysalidina gradata e Pseudolituonella reicheli*.
 Cenomaniano superiore sommitale

PLATE XXVII

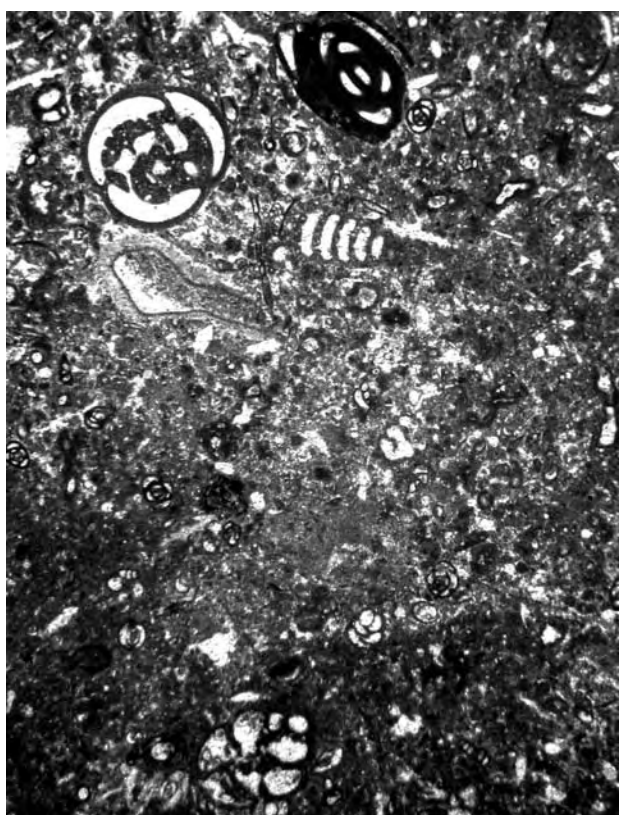
Fig. 1 – *Floatstone with Chrysalidina gradata, Pseudolituonella reicheli, Thaumatoporella parvovesiculifera, Miliolidae. (x 20)*
Monte Orsello stratigraphic section (d'Ocre Mts., Abruzzi).
Chrysalidina gradata and Pseudolituonella reicheli biozone.
Upper Cenomanian p.p.

Fig. 2 – *Rudstone with Cisalveolina fraasi, Pseudolituonella reicheli, Chrysalidina gradata, Miliolidae. (x 12)*
L'Ottaduna stratigraphic section (Cairo Mt., Southern Latium).
Upper part of the Chrysalidina gradata and Pseudolituonella reicheli biozone.
Uppermost Cenomanian

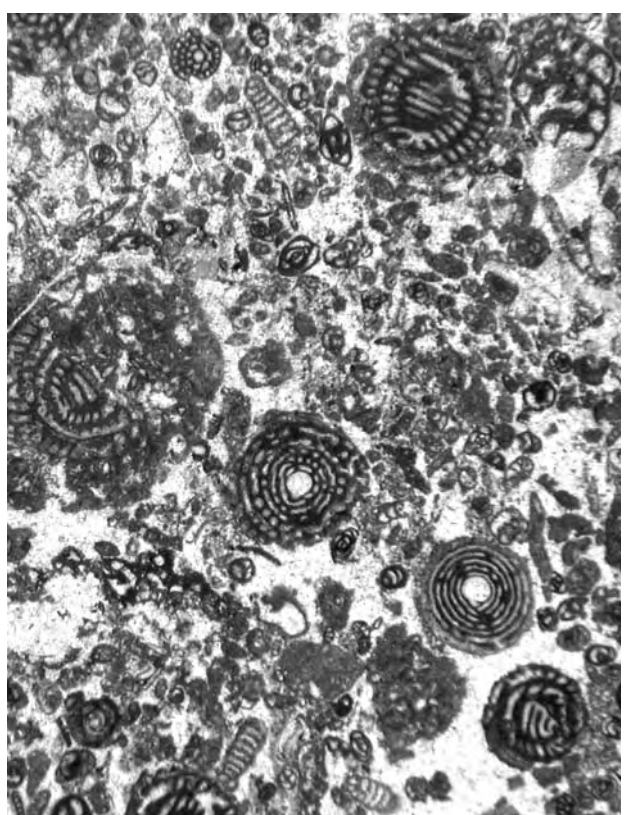
Fig. 3 – *Floatstone with Cisalveolina fraasi. (x 20)*
Serra del Pruno stratigraphic section (Ausoni Mts., Southern Latium).
Upper part of the Chrysalidina gradata and Pseudolituonella reicheli biozone.
Uppermost Cenomanian

Fig. 4 – *Wackestone with Pseudorhipidionina murgiana and Hippuritacea remains. (x 30)*
Serra del Pruno stratigraphic section (Ausoni Mts., Southern Latium).
Upper part of the Chrysalidina gradata and Pseudolituonella reicheli biozone.
Uppermost Cenomanian

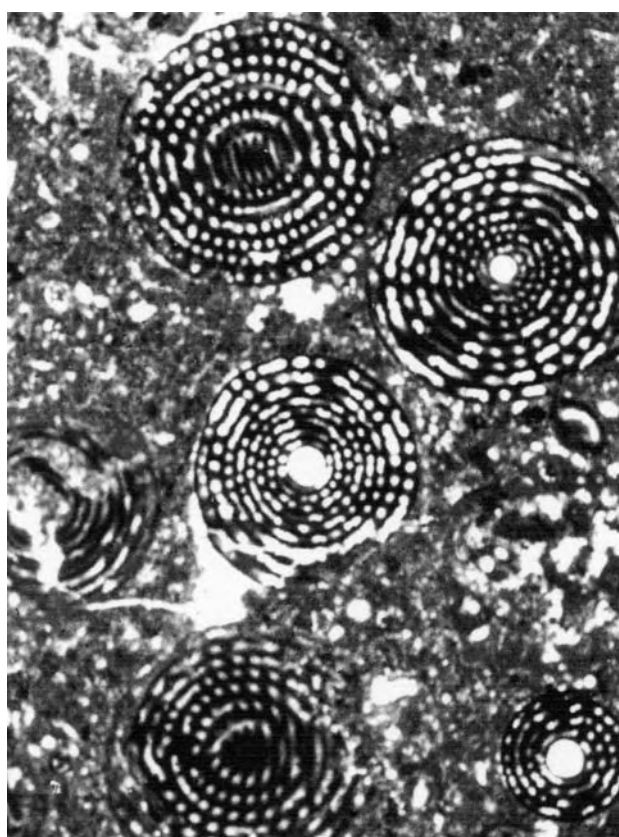
Tavola XXVII



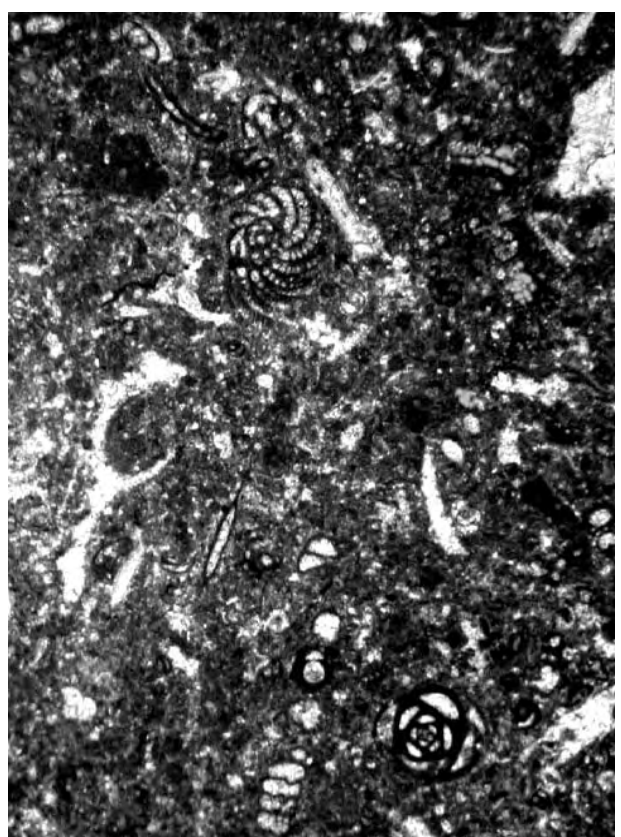
1



2



3



4

TAVOLA XXVIII

Fig. 1 – Grainstone con *Nezzazatinella cf. aegyptiaca*. (x 50)

Sezione stratigrafica del Monte Pizzuto (Monti Ausoni, Lazio meridionale).

Biozona a *Nezzazatinella cf. aegyptiaca* e *Nummoloculina cf. irregularis*.

Turoniano

Fig. 2 – Packstone con *Aeolisaccus barattoloi* e *Thaumatoporella parvovesiculifera*. (x 50)

Sezione stratigrafica del Monte Pizzuto (Monti Ausoni, Lazio meridionale).

Biozona a *Nezzazatinella cf. aegyptiaca* e *Nummoloculina cf. irregularis*.

Turoniano

Fig. 3 – Packstone con *Nummoloculina cf. irregularis*. (x 35)

Sezione stratigrafica del Monte Altino (Monti Aurunci, Lazio meridionale).

Biozona a *Nezzazatinella cf. aegyptiaca* e *Nummoloculina cf. irregularis*.

Turoniano

Fig. 4 – Wackestone con Miliolidae, *Spirolectammina multicamerata* e Lituolidae sp. ind. 1. (x 100)

Sezione stratigrafica di Civita d'Antino (Marsica occidentale, Abruzzo).

Parte superiore della biozona a *Nezzazatinella cf. aegyptiaca* e *Nummoloculina cf. irregularis*.

Turoniano superiore

PLATE XXVIII

Fig. 1 – Grainstone with *Nezzazatinella cf. aegyptiaca*. (x 50)

Monte Pizzuto stratigraphic section (Ausoni Mts., Southern Latium).

Nezzazatinella cf. aegyptiaca and Nummoloculina cf. irregularis biozone.

Turonian

Fig. 2 – Packstone with *Aeolisaccus barattoloi* and *Thaumatoporella parvovesiculifera*. (x 50)

Monte Pizzuto stratigraphic section (Ausoni Mts., Southern Latium).

Nezzazatinella cf. aegyptiaca and Nummoloculina cf. irregularis biozone.

Turonian

Fig. 3 – Packstone with *Nummoloculina cf. irregularis*. (x 35)

Monte Altino stratigraphic section (Aurunci Mts., Southern Latium).

Nezzazatinella cf. aegyptiaca and Nummoloculina cf. irregularis biozone.

Turonian

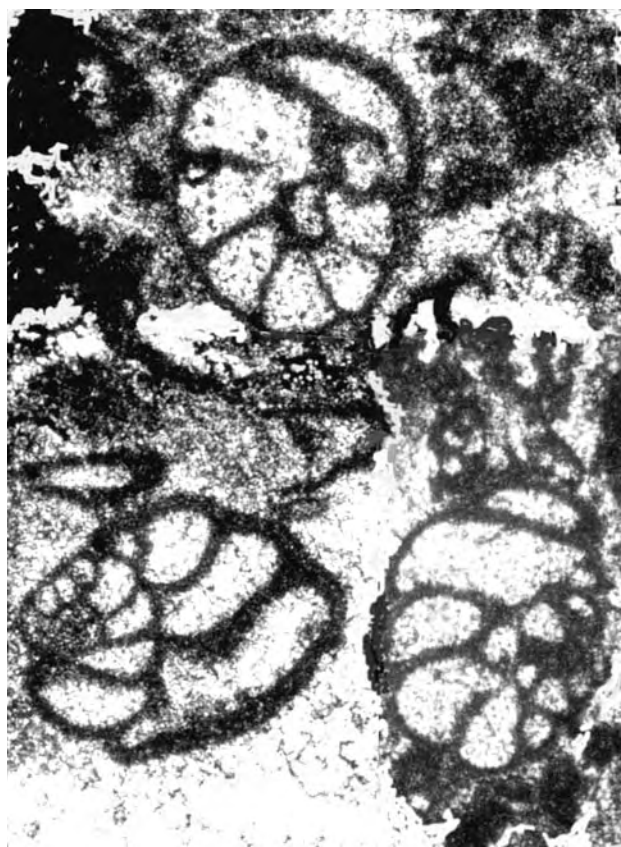
Fig. 4 – Wackestone with Miliolidae, *Spirolectammina multicamerata*, *Lituolidae* sp. ind 1. (x 100)

Civita d'Antino stratigraphic section (Western Marsica, Abruzzi).

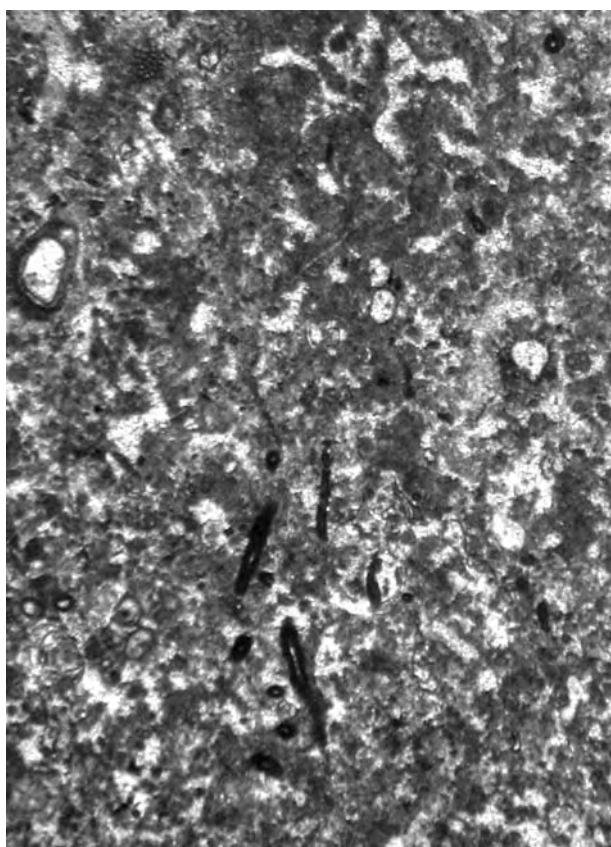
Upper part of the Nezzazatinella cf. aegyptiaca and Nummoloculina cf. irregularis biozone.

Upper Turonian

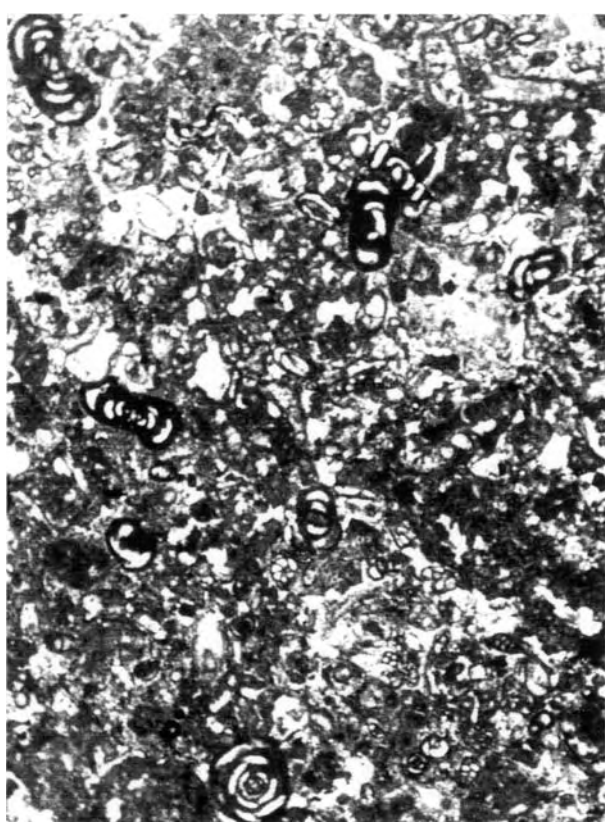
Tavola XXVIII



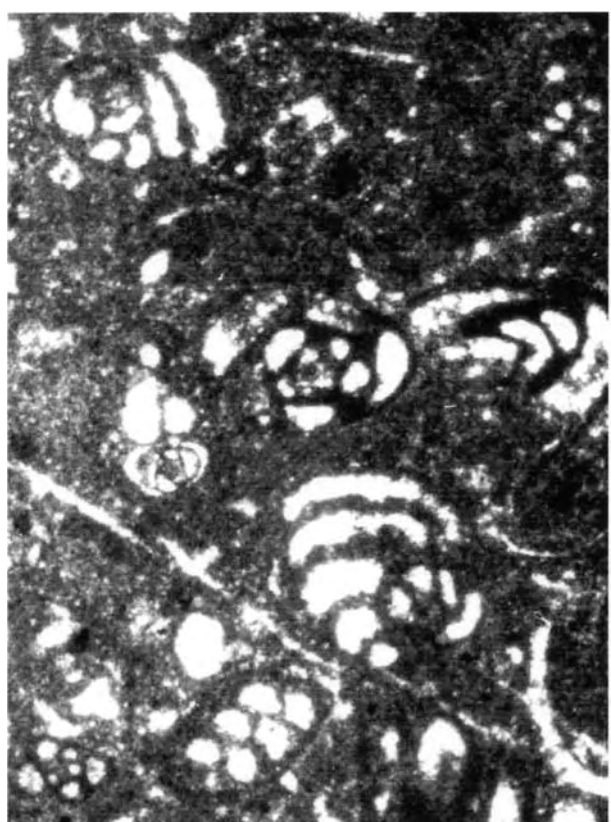
1



2



3



4

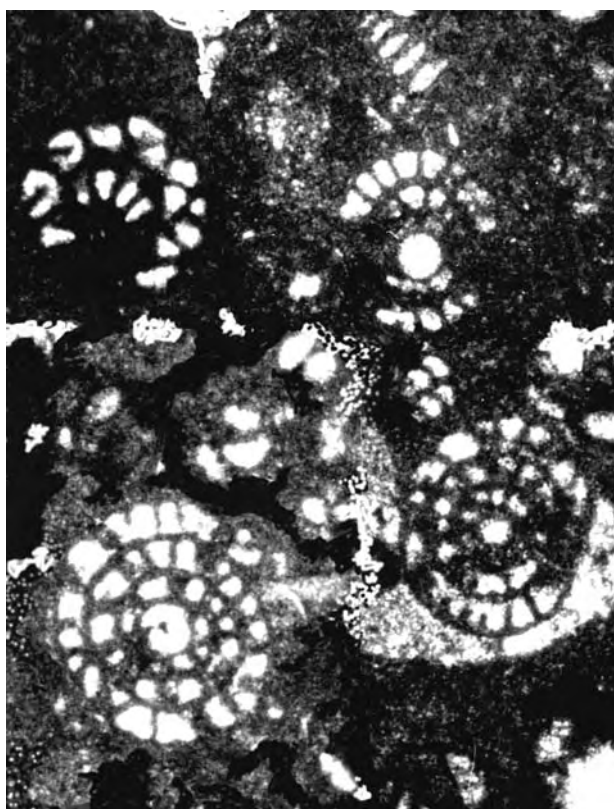
TAVOLA XXIX

- Fig. 1** – Wackestone con *Reticulinella kaeveri* e Miliolidae. (x 100)
 Sezione stratigrafica di Civita d'Antino (Marsica, Abruzzo).
 Parte superiore della biozona a *Nezzazatinella cf. aegyptiaca* e *Nummoloculina cf. irregularis*.
 Turoniano superiore
- Fig. 2** – Floatstone con *Accordiella conica* e *Rotorbinella scarsellai*. (x 25)
 Sezione stratigrafica di Monte Feuci-Crisano (Monti Aurunci orientale, Lazio meridionale).
Biozona a Accordiella conica e Rotorbinella scarsellai.
 Coniaciano - Santoniano
- Fig. 3** – Floatstone con *Moncharmontia apenninica*, *Thaumatoporella parvovesiculifera* e *Cuneolina sp.* (x 30)
 Sezione stratigrafica del Monte Feuci-Crisano (Monti Aurunci orientali, Lazio meridionale).
 Parte inferiore - media della biozona a *Accordiella conica* e *Rotorbinella scarsellai*.
 Coniaciano - Santoniano
- Fig. 4** – Bindstone con *Thaumatoporella parvovesiculifera*. (x 35)
 Sezione stratigrafica del Monte Feuci-Crisano (Monti Aurunci orientali, Lazio meridionale).
 Parte inferiore - media della biozona a *Accordiella conica* e *Rotorbinella scarsellai*.
 Coniaciano - Santoniano

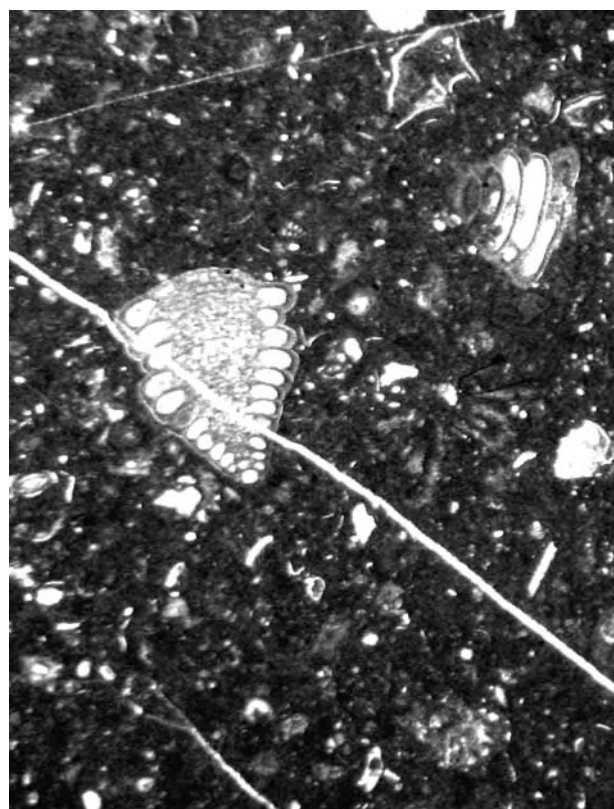
PLATE XXIX

- Fig. 1** – *Wackestone with Reticulinella kaeveri and Miliolidae. (x 100)*
Civita d'Antino stratigraphic section (Western Marsica, Abruzzi).
Upper part of the Nezzazatinella cf. aegyptiaca and Nummoloculina cf. irregularis biozone.
Upper Turonian
- Fig. 2** – *Floatstone with Accordiella conica and Rotorbinella scarsellai. (x 25)*
Monte Feuci-Crisano stratigraphic section (Eastern Aurunci Mts., Southern Latium).
Accordiella conica and Rotorbinella scarsellai biozone.
Coniacian - Santonian
- Fig. 3** – *Floatstone with Moncharmontia apenninica, Thaumatoporella parvovesiculifera*
e Cuneolina sp. (x 30)
Monte Feuci-Crisano stratigraphic section (Eastern Aurunci Mts., Southern Latium).
Lower - middle part of the Accordiella conica and Rotorbinella scarsellai biozone.
Coniacian - Santonian
- Fig. 4** – *Bindstone with Thaumatoporella parvovesiculifera. (x 35)*
Monte Feuci-Crisano stratigraphic section (Eastern Aurunci Mts., Southern Latium).
Lower - middle part of the Accordiella conica and Rotorbinella scarsellai biozone.
Coniacian - Santonian

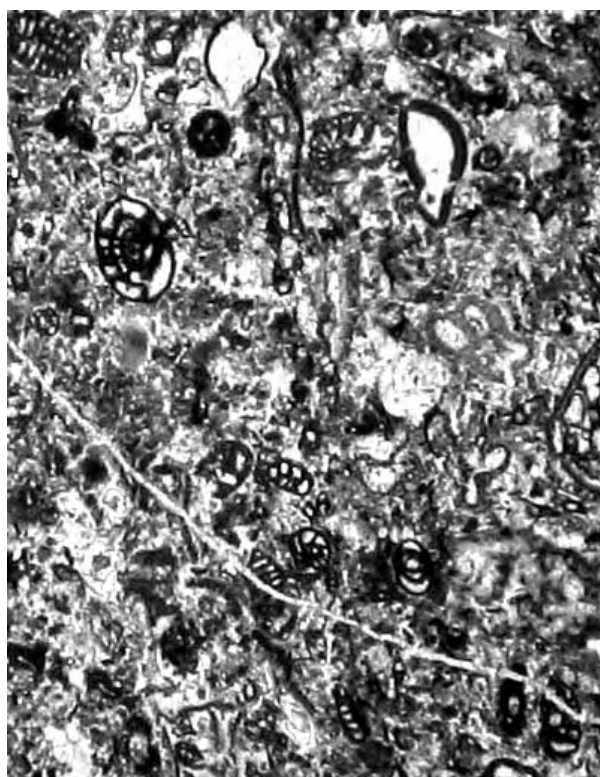
Tavola XXIX



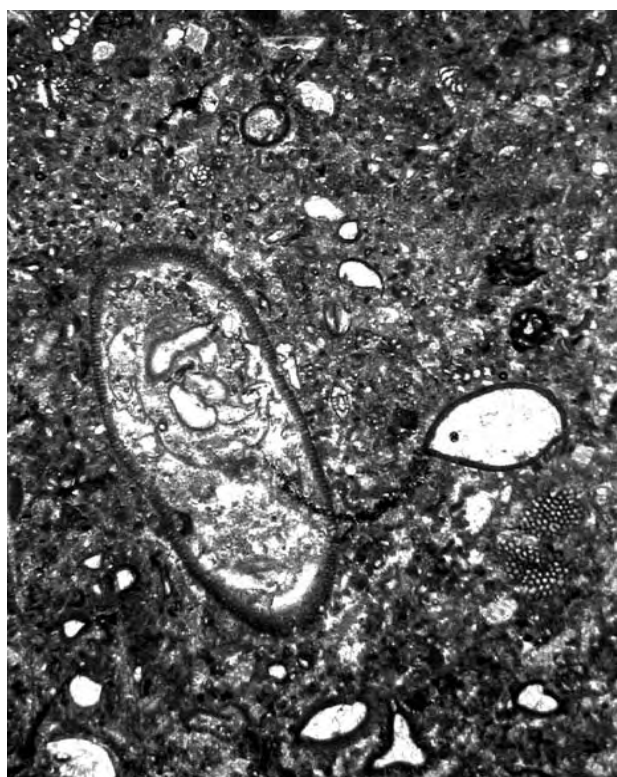
1



2



3



4

TAVOLA XXX

Fig. 1 – Wackestone con *Rotorbinella scarsellai*, *Moncharmontia apenninica*. (x 20)
 Sezione stratigrafica del Monte Feuci-Crisano (Monti Aurunci orientali, Lazio meridionale).
 Parte inferiore - media della biozona a *Accordiella conica* e *Rotorbinella scarsellai*.
 Coniaciano - Santoniano

Fig. 2 – Floatstone con *Accordiella conica* e Miliolidae. (x 60)
 Sezione stratigrafica di Monte Feuci-Crisano (Monti Aurunci orientali, Lazio meridionale).
Biozona a Accordiella conica e Rotorbinella scarsellai.
 Coniaciano - Santoniano

Fig. 3 – Floatstone con *Accordiella conica* e Ostracoda. (x 30)
 Sezione stratigrafica del Monte Feuci-Crisano (Monti Aurunci orientali, Lazio meridionale).
 Parte inferiore - media della biozona a *Accordiella conica* e *Rotorbinella scarsellai*.
 Coniaciano - Santoniano

Fig. 4 – Wackestone con *Pseudocyclammina sphaeroidea* e Nubeculariidae. (x 100)
 Sezione stratigrafica del Monte Feuci-Crisano (Monti Aurunci orientali, Lazio meridionale).
 Parte inferiore - media della biozona a *Accordiella conica* e *Rotorbinella scarsellai*.
 Coniaciano - Santoniano

PLATE XXX

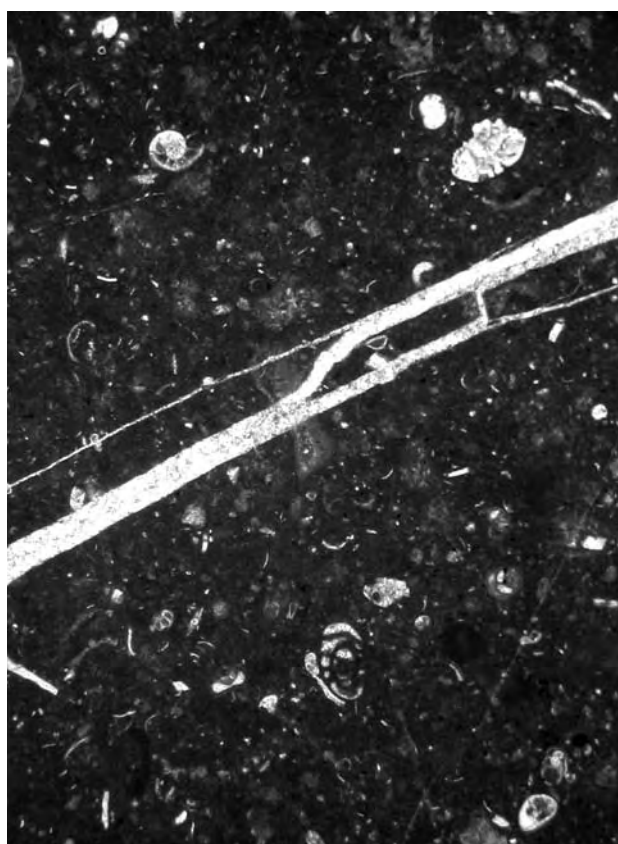
Fig. 1 – *Wackestone with Rotorbinella scarsellai, Moncharmontia apenninica. (x 20)*
Monte Feuci-Crisano stratigraphic section (Eastern Aurunci Mts., Southern Latum).
Lower-middle part of the Accordiella conica and Rotorbinella scarsellai biozone.
Coniacian - Santonian

Fig. 2 – *Floatstone with Accordiella conica and Miliolidae. (x 60)*
Monte Feuci-Crisano stratigraphic section (Eastern Aurunci Mts., Southern Latum).
Accordiella conica and Rotorbinella scarsellai biozone.
Coniacian - Santonian

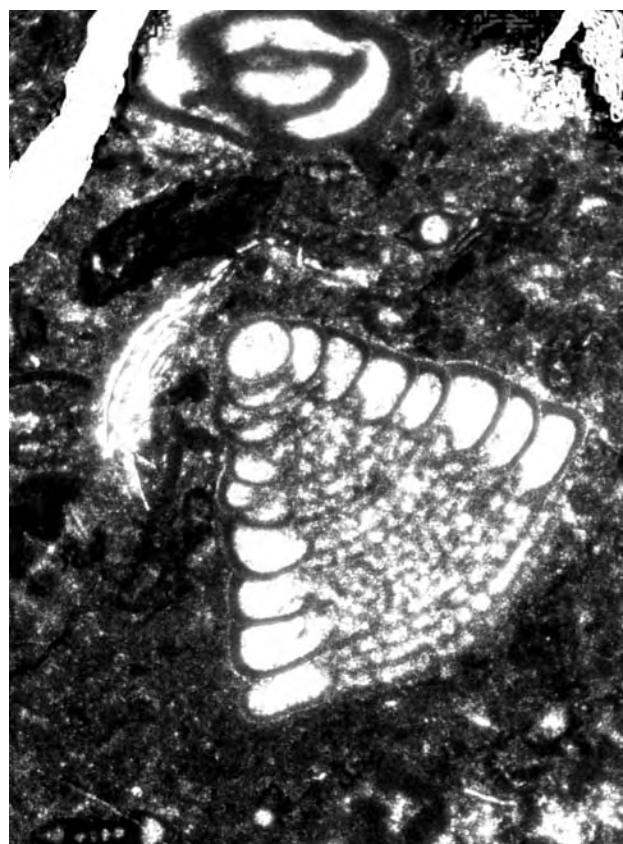
Fig. 3 – *Floatstone with Accordiella conica and Ostracoda. (x 30)*
Monte Feuci-Crisano stratigraphic section (Eastern Aurunci Mts., Southern Latum).
Lower-middle part of the Accordiella conica and Rotorbinella scarsellai biozone.
Coniacian - Santonian

Fig. 4 – *Wackestone with Pseudocyclammina sphaeroidea and Nubeculariidae. (x 100)*
Monte Feuci-Crisano stratigraphic section (Eastern Aurunci Mts., Southern Latum).
Lower-middle part of the Accordiella conica and Rotorbinella scarsellai biozone.
Coniacian - Santonian

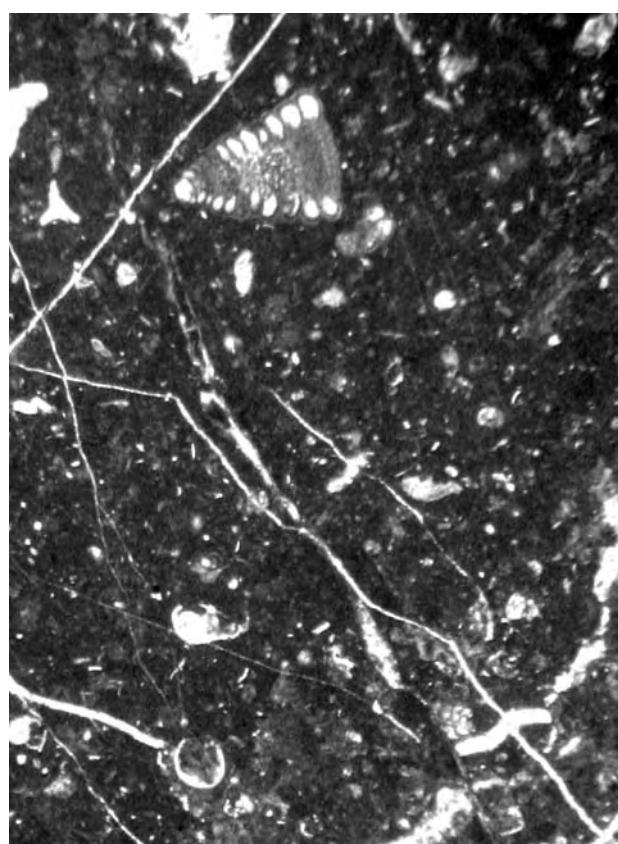
Tavola XXX



1



2



3



4

TAVOLA XXXI

Fig. 1 – Floatstone con *Dicyclina* sp., *Pseudocyclammina sphaeroidea*, Miliolidae, Nubeculariidae. (x 12)
 Sezione stratigrafica del Monte Feuci-Crisano (Monti Aurunci orientali, Lazio meridionale).
 Parte inferiore - media della *biozona a Accordiella conica e Rotorbinella scarsellai*.
 Coniaciano - Santoniano

Fig. 2 – Floatstone con *Dicyclina* sp., Orbitolinidae, *Thamatoporella parvovesiculifera*, Miliolidae. (x 20)
 Sezione stratigrafica del Monte Rotondo (Monti Aurunci orientali, Lazio meridionale).
 Parte media della *biozona ad Accordiella conica e Rotorbinella scarsellai*.
 Coniaciano - Santoniano

Fig. 3 – Packstone mal classato con *Scandonea samnitica* e Miliolidae. (x 30)
 Sezione stratigrafica del Monte Feuci-Crisano (Monti Aurunci orientali, Lazio meridionale).
 Parte media della *biozona a Accordiella conica e Rotorbinella scarsellai*.
 Senonian

Fig. 4 – Packstone mal classato con *Scandonea samnitica* e *Thaumatoporella parvovesiculifera*. (x 70)
 Sezione stratigrafica di San Perna (Monte Cairo, Lazio meridionale).
 Parte media della *biozona a Accordiella conica e Rotorbinella scarsellai*.
 Santoniano

PLATE XXXI

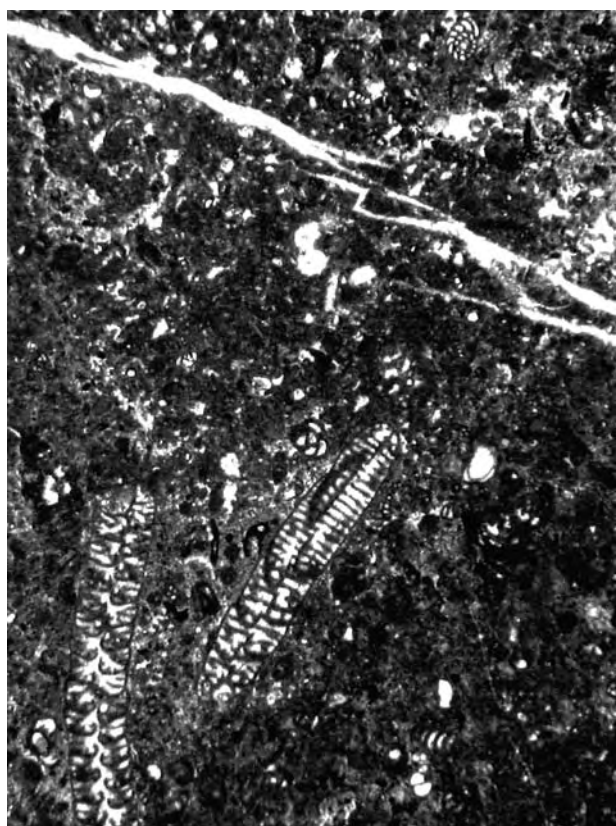
Fig. 1 – *Floatstone with Dicyclina sp., Pseudocyclammina sphaeroidea, Miliolidae, Nubeculariidae. (x 12)*
Monte Feuci-Crisano stratigraphic section (Eastern Aurunci Mts., Southern Latium).
Lower-middle part of the Accordiella conica and Rotorbinella scarsellai biozone.
Coniacian - Santonian

Fig. 2 – *Floatstone with Dicyclina sp., Orbitolinidae, Thamatoporella parvovesiculifera, Miliolidae. (x 20)*
Monte Rotondo stratigraphic section (Eastern Aurunci Mts., Southern Latium).
Middle part of the Accordiella conica and Rotorbinella scarsellai biozone.
Santonian

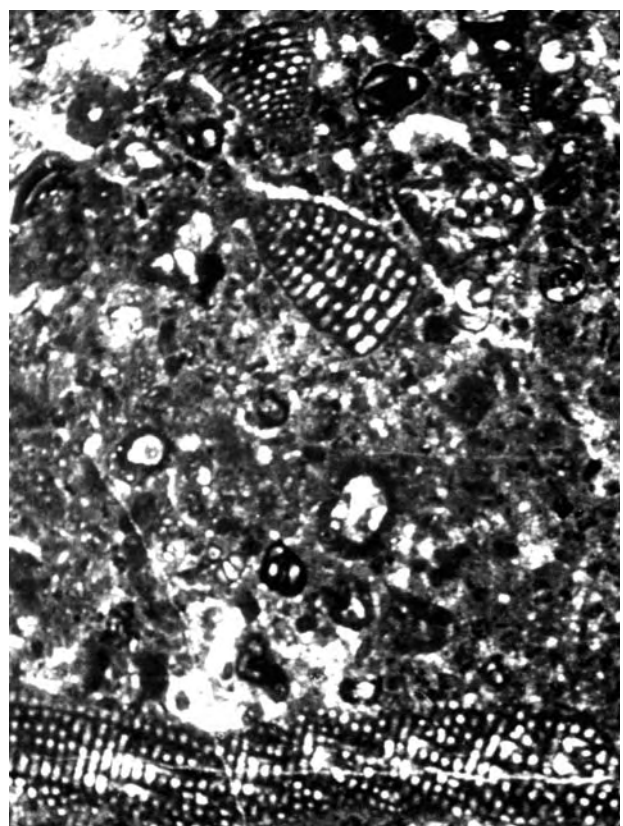
Fig. 3 – *Well sorted packstone with Scandonea samnitica and Miliolidae. (x 30)*
Monte Feuci-Crisano stratigraphic section (Eastern Aurunci Mts., Southern Latium).
Middle part of the Accordiella conica and Rotorbinella scarsellai biozone.
Coniacian - Santonian

Fig. 4 – *Well sorted packstone with Scandonea samnitica and Thaumatoporella parvovesiculifera. (x 70)*
San Perna stratigraphic section (Cairo Mt., Southern Latium).
Middle part of the Accordiella conica and Rotorbinella scarsellai biozone.
Santonian

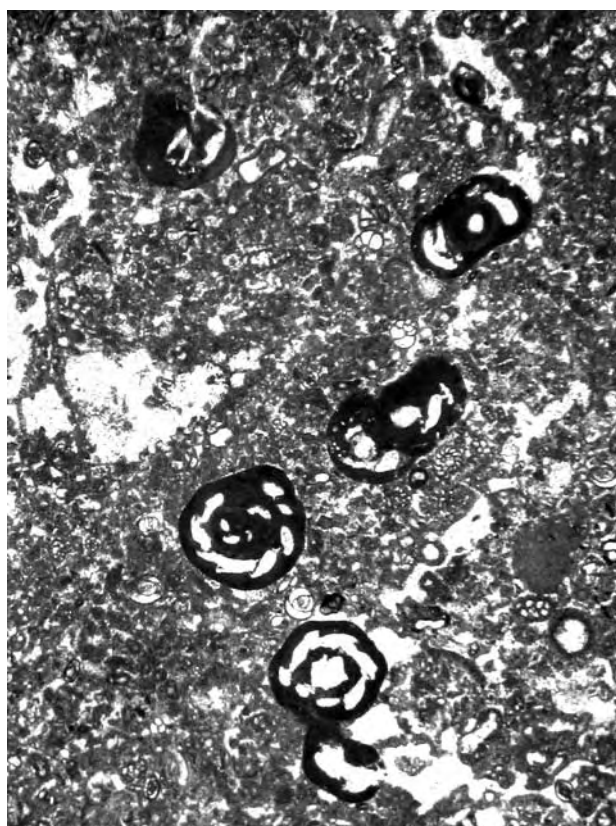
Tavola XXXI



1



2



3



4

TAVOLA XXXII

Fig. 1 – Floatstone con *Keramosphaerina tergestina*, *Dicyclina* sp., Miliolidae. (x 10)
 Sezione stratigrafica e Monte Feuci-Crisano (Monti Aurunci orientali, Lazio meridionale).
 Parte superiore della biozona a *Accordiella conica* e *Rotorbinella scarsellai*.
 Santoniano superiore

Fig. 2 – Floatstone con *Pseudorhaphydionina mediterranea* e Nubeculariidae. (x 60)
 Sezione stratigrafica del Monte Feuci-Crisano (Monti Aurunci orientali, Lazio meridionale).
 Parte superiore della biozona a *Accordiella conica* e *Rotorbinella scarsellai*.
 Santoniano superiore

Fig. 3 – Rudstone con *Raadshoovenia salentina* e Miliolidae. (x 25)
 Sezione stratigrafica di Rava Santa Maria (Monti Lepini, Lazio meridionale).
 Parte sommitale della biozona a *Accordiella conica* e *Rotorbinella scarsellai*
 Santoniano superiore- Campaniano inferiore p.p.

Fig. 4 – Wackestone con *Discorbis* sp. a. (x 110)
 Sezione stratigrafica di Rava Santa Maria (Monti Lepini, Lazio meridionale).
Biozona a Discorbidae e Ostracoda.
 Campaniano inferiore p.p. - Campaniano superiore p.p.

PLATE XXXII

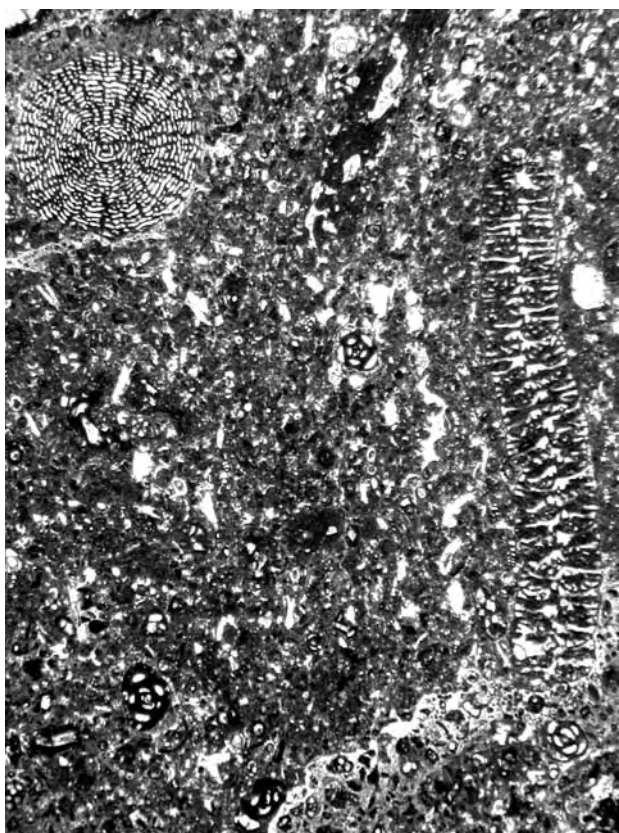
Fig. 1 – *Floatstone with Keramosphaerina tergestina, Dicyclina sp, Miliolidae. (x 10)*
Monte Feuci-Crisano stratigraphic section (Eastern Aurunci Mts., Southern Latium).
Upper part of the Accordiella conica and Rotorbinella scarsellai biozone.
Upper Santonian

Fig. 2 – *Floatstone with Peudorhaphydionina mediterranea and Nubeculariidae. (x 60)*
Monte Feuci-Crisano stratigraphic section (Eastern Aurunci Mts., Southern Latium).
Upper part of the Accordiella conica and Rotorbinella scarsellai biozone.
Upper Santonian

Fig. 3 – *Rudstone with Raadshoovenia salentina and Miliolidae. (x 25)*
Rava Santa Maria stratigraphic section (Lepini Mts., Southern Latium).
Uppermost part of the Accordiella conica and Rotorbinella scarsellai biozone.
Upper Santonian – Lower Campanian p.p.

Fig. 4 – *Wackestone with Discorbis sp. a. (x 110)*
Rava Santa Maria stratigraphic section (Lepini Mts., Southern Latium).
Discorbidae and Ostracoda biozone.
Lower Campanian p.p. – Upper Campanian p.p.

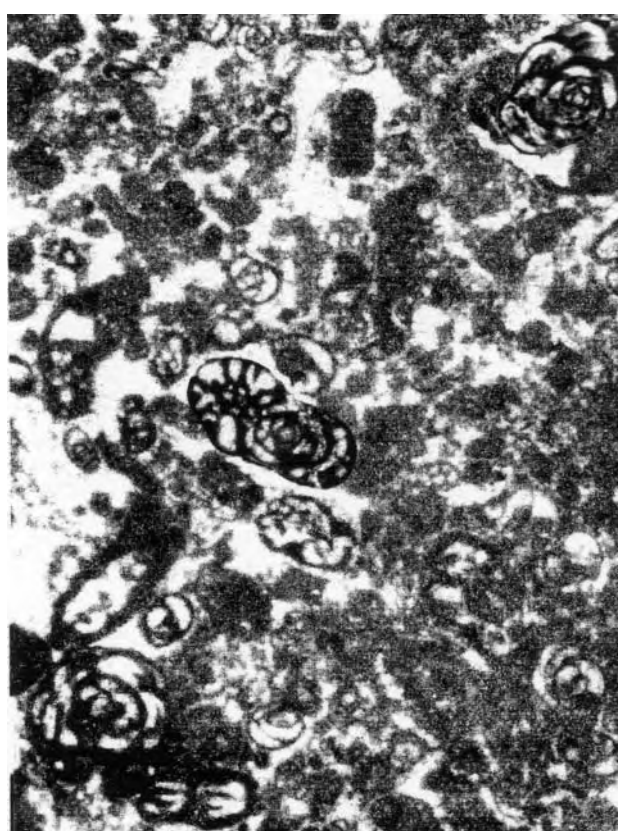
Tavola XXXII



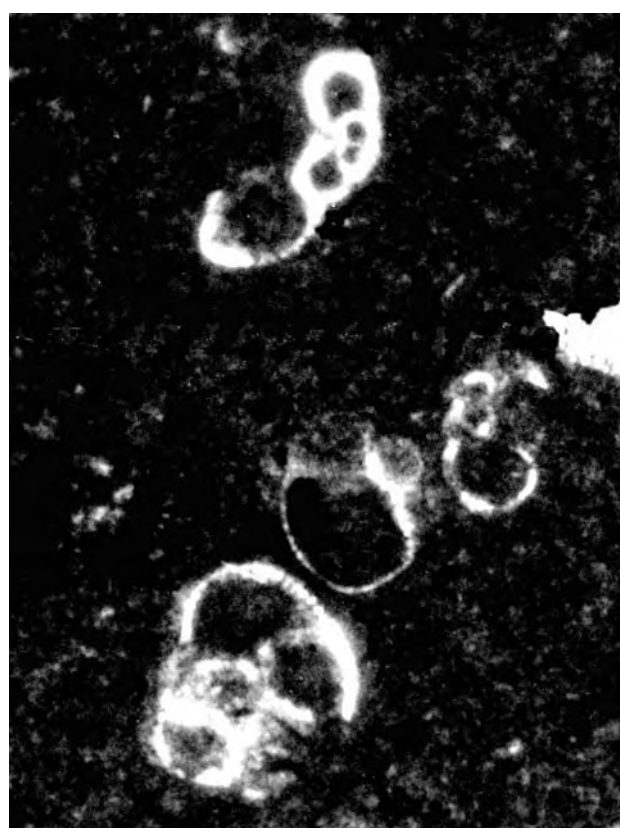
1



2



3



4

TAVOLA XXXIII**Fig. 1** – Rudstone con *Sivasella monolateralis*. (x 80)

Sezione stratigrafica di Rava Santa Maria (Monti Lepini, Lazio meridionale).

Biozona a Orbitoides media.

Campaniano superiore p.p. – Maastrichtiano p.p.

Fig. 2 – Rudstone con *Orbitoides media* e *Orbitoides sp.* (x 50)

Sezione stratigrafica di Rava Santa Maria (Monti Lepini, Lazio meridionale).

Biozona a Orbitoides media.

Campaniano superiore p.p. – Maastrichtiano p.p.

Fig. 3 – Wackestone con *Discorbis sp. b* e *Miliolidae*. (x 50)

Sezione stratigrafica di Rava Santa Maria (Monti Lepini, Lazio meridionale).

Biozona a Discorbidae e Miliolidae.

Maastrichtiano superiore p.p.

Fig. 4 – Packstone con *Rhapydionina liburnica*. (x 60)

Sezione stratigrafica di Rava Santa Maria (Monti Lepini, Lazio meridionale).

Sommità della *Biozona a Discorbidae e Miliolidae*.

Maastrichtiano superiore p.p.

PLATE XXXIII**Fig. 1** – Rudstone with *Sivasella monolateralis*. (x 80)

Rava Santa Maria stratigraphic section (Lepini Mts., Southern Latium).

Orbitoides media biozone.

Upper Campanian p.p. – Maastrichtian p.p.

Fig. 2 – Rudstone with *Orbitoides media* and *Orbitoides sp.* (x 50)

Rava Santa Maria stratigraphic section (Lepini Mts., Southern Latium).

Orbitoides media biozone.

Upper Campanian p.p. – Maastrichtian p.p.

Fig. 3 – Wackestone with *Discorbis sp. b* and *Miliolidae*. (x 50)

Rava Santa Maria stratigraphic section (Lepini Mts., Southern Latium).

Discorbidae and Miliolidae biozone.

Upper Maastrichtian p.p.

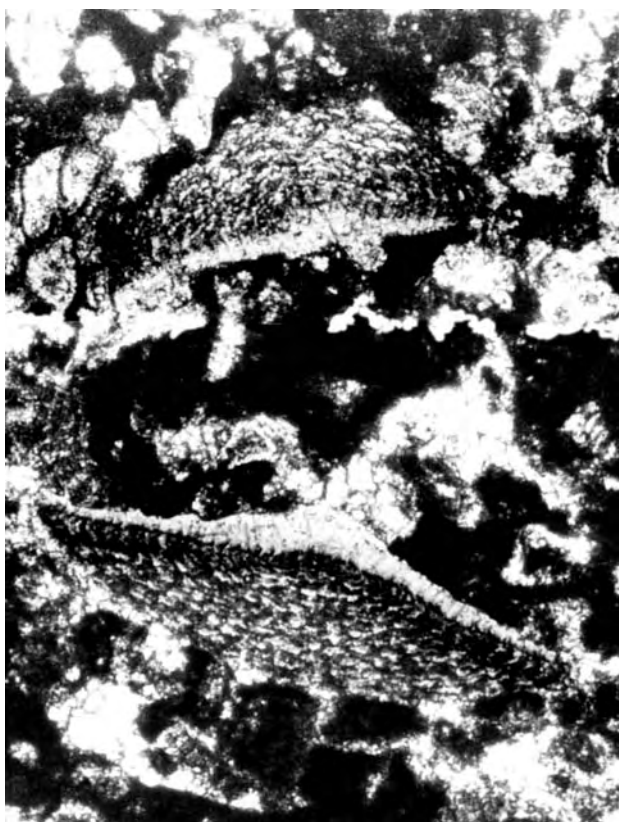
Fig. 4 – Packstone with *Rhapydionina liburnica*. (x 60)

Rava Santa Maria stratigraphic section (Lepini Mts., Southern Latium).

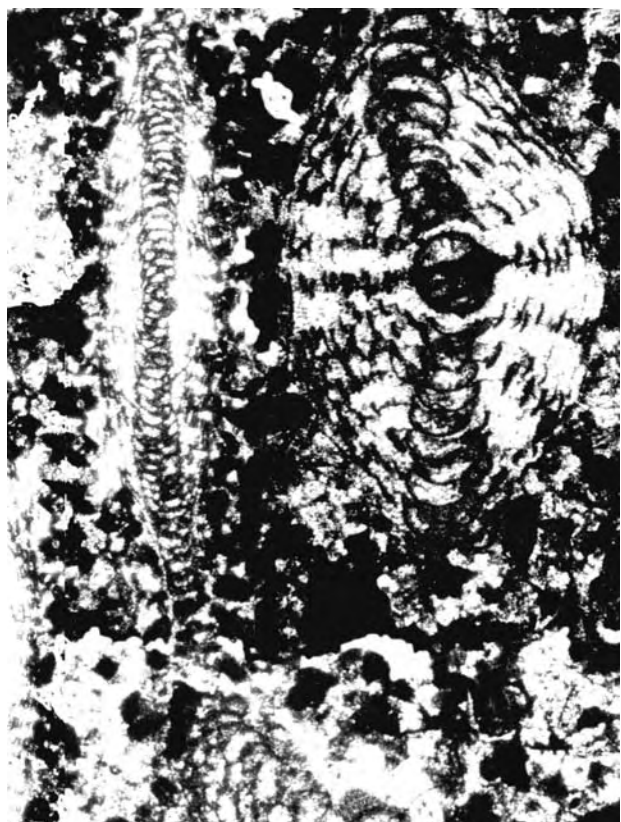
Uppermost part of the Discorbidae and Miliolidae biozone.

Upper Maastrichtian p.p.

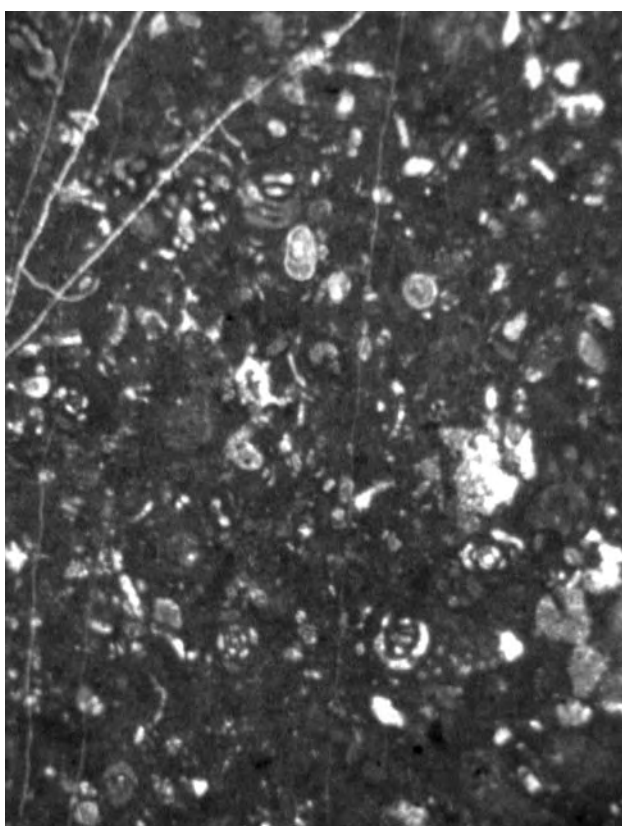
Tavola XXXIII



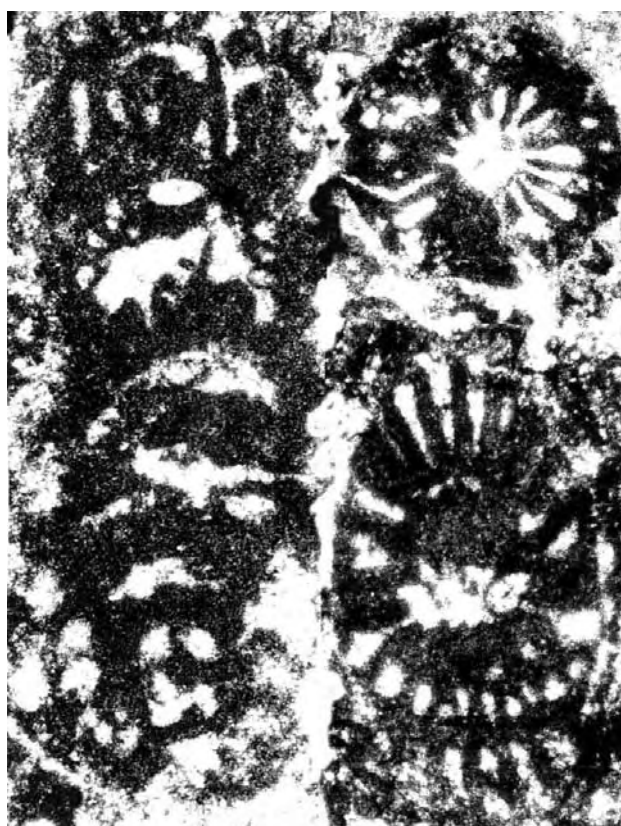
1



2



3



4

TAVOLA XXXIV

Fig. 1 – Packstone con *Triasina hantkeni*, *Gryphoporella curvata*, *Aulotortus friedli*. (x 20)
 Sezione stratigrafica del Monte Meta (Gran Sasso d'Italia, Abruzzo).
Biozona a Triasina hantkeni e Gryphoporella curvata.
 Triassico superiore (Retico)

Fig. 2 – Bindstone laminato con Stromatoliti e *Aulotortus communis*. (x 25)
 Sezione stratigrafica del Monte Meta (Gran Sasso d'Italia, Abruzzo).
Biozona a Triasina hantkeni e Gryphoporella curvata.
 Triassico superiore (Retico)

Fig. 3 – Packstone con Rivulariaceae e Valvulinidae. (x 25)
 Sezione stratigrafica del Monte della Selva (Gran Sasso d'Italia, Abruzzo).
Biozona a Valvulinidae e Rivulariaceae.
 Hettangiano

Fig. 4 – Rudstone parzialmente dolomitizzato con *Palaeodasycladus mediterraneus* e *Rivularia piae*. (x 15)
 Sezione stratigrafica del Monte della Selva (Gran Sasso d'Italia, Abruzzo).
Biozona a Palaeodasycladus mediterraneus e Rivularia piae.
 Sinemuriano inferiore

PLATE XXXIV

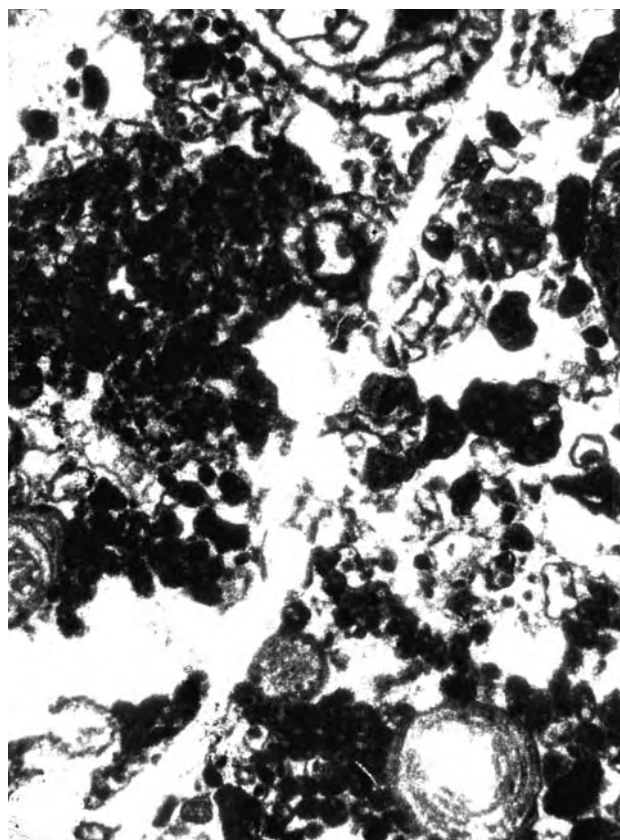
Fig. 1 – Packstone with *Triasina hantkeni*, *Gryphoporella curvata*, *Aulotortus friedli*. (x 20)
 Monte Meta stratigraphic section (Gran Sasso d'Italia, Abruzzi).
Triasina hantkeni and *Gryphoporella curvata* biozone.
 Upper Triassic (Rhaetian)

Fig. 2 – Laminated bindstone with Stromatolites and *Aulotortus communis*. (x 25)
 Monte Meta stratigraphic section (Gran Sasso d'Italia, Abruzzi).
Triasina hantkeni and *Gryphoporella curvata* biozone.
 Upper Triassic (Rhaetian)

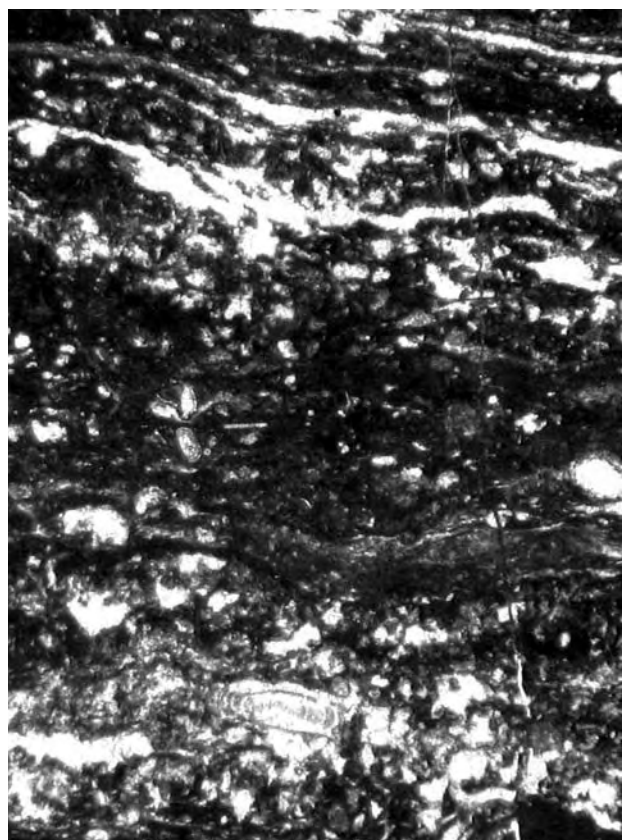
Fig. 3 – Packstone with Rivulariaceae and Valvulinidae. (x 25)
 Monte della Selva stratigraphic section (Gran Sasso d'Italia, Abruzzi).
 Valvulinidae and Rivulariaceae biozone.
 Hettangian

Fig. 4 – Partially dolomitized rudstone with *Palaeodasycladus mediterraneus* and *Rivularia piae*. (x 15)
 Monte della Selva stratigraphic section (Gran Sasso d'Italia, Abruzzi).
Palaeodasycladus mediterraneus and *Rivularia piae* biozone.
 Lower Sinemurian

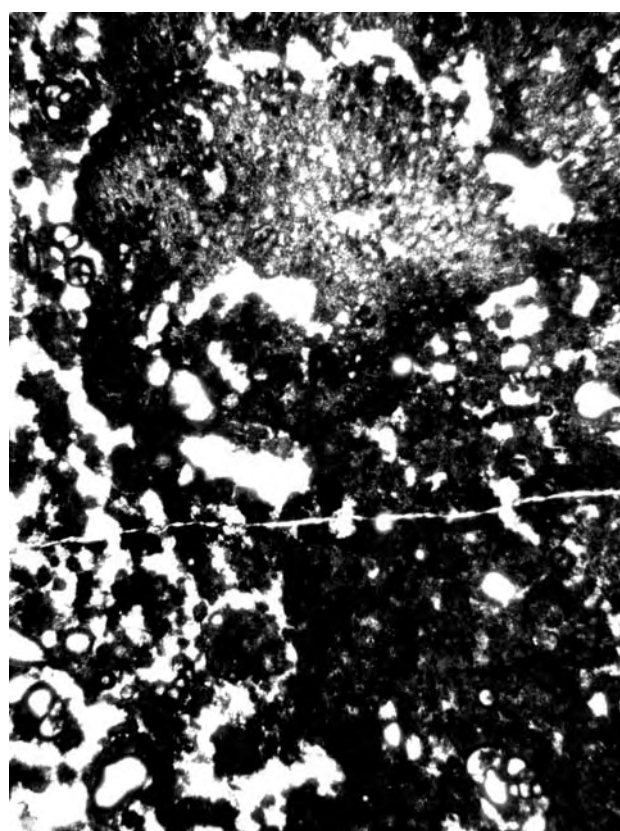
Tavola XXXIV



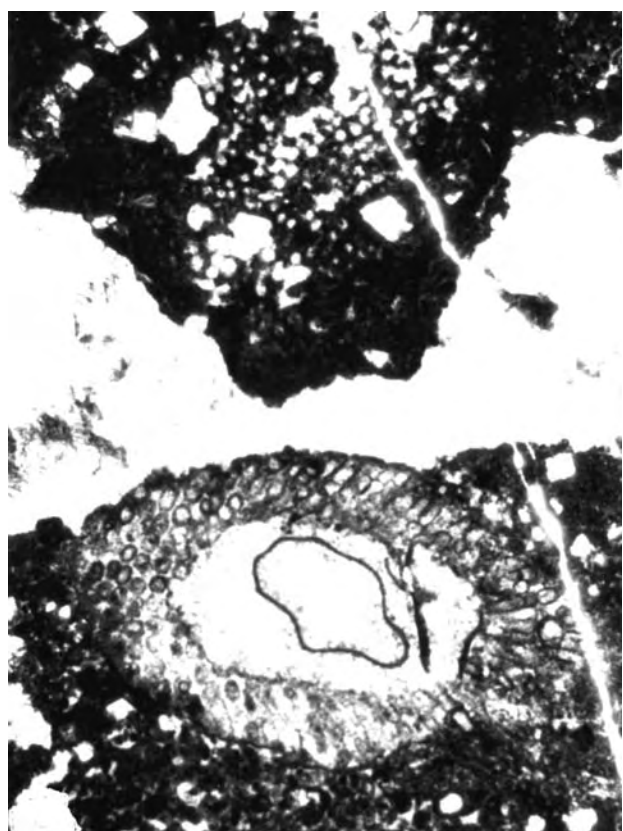
1



2



3



4

TAVOLA XXXV

Fig. 1 – Rudstone con resti di Gastropoda, Anthozoa e Rivulariaceae. (x 15)
 Sezione stratigrafica del Monte della Selva (Gran Sasso d'Italia, Abruzzo).
 Parte inferiore della biozona a *Palaeodasycladus*, *Anthozoa* e *Hydrozoa*.
 Sinemuriano superiore

Fig. 2 – Floatstone con *Orbitopsella dubari*. (x 15)
 Sezione stratigrafica di Castel del Monte (Gran Sasso d'Italia, Abruzzo).
Biozona a Palaeodasycladus, Anthozoa e Hydrozoa; sottozona a Orbitopsella e Agerina martana.
 Pliensbachiano

Fig. 3 - Packstone con *Agerina martana*. (x 110)
 Sezione stratigrafica di Castel del Monte (Gran Sasso d'Italia, Abruzzo).
Biozona a Palaeodasycladus, Anthozoa e Hydrozoa; sottozona a Orbitopsella e Agerina martana.
 Pliensbachiano

Fig. 4 – Floatstone con *Biakovina gradacensis*. (x 25)
 Sezione stratigrafica del Monte della Selva (Gran Sasso d'Italia, Abruzzo).
Biozona a Palaeodasycladus, Anthozoa e Hydrozoa; sottozona a Orbitopsella e Agerina martana.
 Pliensbachiano

PLATE XXXV

Fig. 1 – Rudstone with *Gastropoda*, *Anthozoa* and *Rivulariaceae*. (x 15)
Monte della Selva stratigraphic section (Gran Sasso d'Italia, Abruzzi).
Lower portion of the Palaeodasycladus, Anthozoa and Hydrozoa biozone.
Upper Sinemurian

Fig. 2 – Floatstone with *Orbitopsella dubari*. (x 15)
Monte della Selva stratigraphic section (Gran Sasso d'Italia, Abruzzi).
Palaeodasycladus, Anthozoa and Hydrozoa biozone – Orbitopsella and Agerina martana subzone.
Pliensbachian

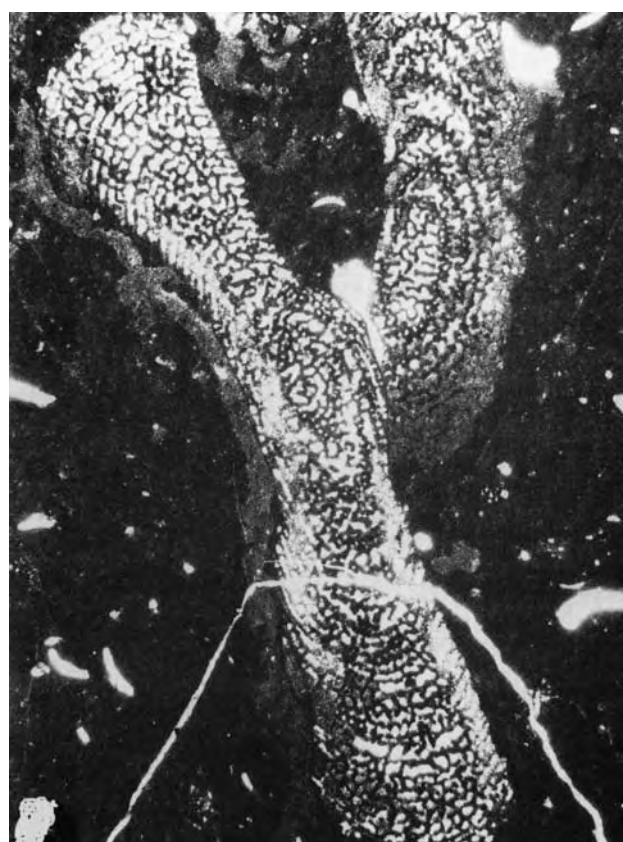
Fig. 3 – Packstone with *Agerina martana*. (x 110)
Monte della Selva stratigraphic section (Gran Sasso d'Italia, Abruzzi).
Palaeodasycladus, Anthozoa and Hydrozoa biozone – Orbitopsella and Agerina martana subzone.
Pliensbachian

Fig. 4 – Floatstone with *Biakovina gradacensis*. (x 25)
Monte della Selva stratigraphic section (Gran Sasso d'Italia, Abruzzi).
Palaeodasycladus, Anthozoa and Hydrozoa biozone – Orbitopsella and Agerina martana subzone.
Pliensbachian

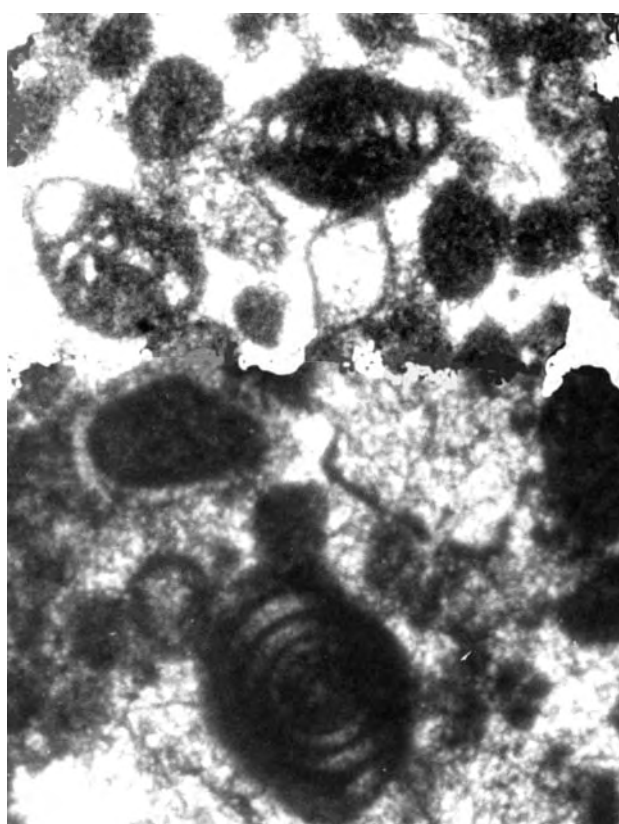
Tavola XXXV



1



2



3



4

TAVOLA XXXVI

Fig. 1 – Grainstone con *Bosniella croatica*, *Siphovahlvulina variabilis*, resti di Echinodermata. (x 50)
 Sezione stratigrafica di Castel del Monte (Gran Sasso d'Italia, Abruzzo).
 Parte media della biozona a *Gutnicella cayeuxi*.
 Aaleniano

Fig. 2 – Rudstone con ooidi, Gastropoda, *Gutnicella cayeuxi* e *Siphovahlvulina* sp. (x 25)
 Sezione stratigrafica del Monte Bolza (Gran Sasso d'Italia, Abruzzo).
Biozona a Gutnicella cayeuxi.
 Toarciano sommitale - Bajociano inferiore p.p.

Fig. 3 – Packstone mal classato con ooidi (talora rotti e rigenerati),
Gutnicella cayeuxi (al nucleo di un ooide), *Nubecularia reicheli*, resti di Gastropoda. (x 20)
 Sezione stratigrafica di Castel del Monte (Gran Sasso d'Italia, Abruzzo).
Biozona a Gutnicella cayeuxi.
 Toarciano sommitale – Bajociano inferiore p.p.

Fig. 4 – Grainstone con *Gutnicella cayeuxi* (individui microsferici e megalosferici), *Nubecularia reicheli*,
 resti di Gastropoda e Echinodermata. (x 20)
 Sezione stratigrafica del Morrone di Pacentro (Monte Morrone, Abruzzo).
Biozona a Gutnicella cayeuxi.
 Toarciano superiore sommitale – Bajociano inferiore p.p.

PLATE XXXVI

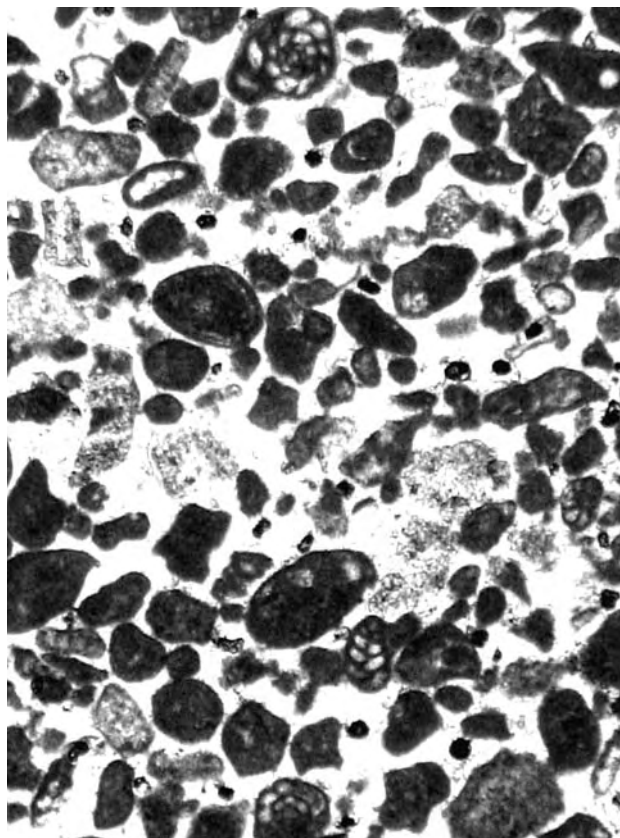
Fig. 1 – *Grainstone with Bosniella croatica, Siphovahlvulina variabilis, Echinodermata remains. (x 50)*
Castel del Monte stratigraphic section (Gran Sasso d'Italia, Abruzzo).
Middle part of the Gutnicella cayeuxi biozone.
Aalenian

Fig. 2 – *Rudstone with Gastropoda, Gutnicella cayeuxi, Siphovahlvulina sp. (x 25)*
Monte Bolza stratigraphic section (Gran Sasso d'Italia, Abruzzo).
Gutnicella cayeuxi biozone.
Uppermost Toarcian – Lower Bajocian p.p.

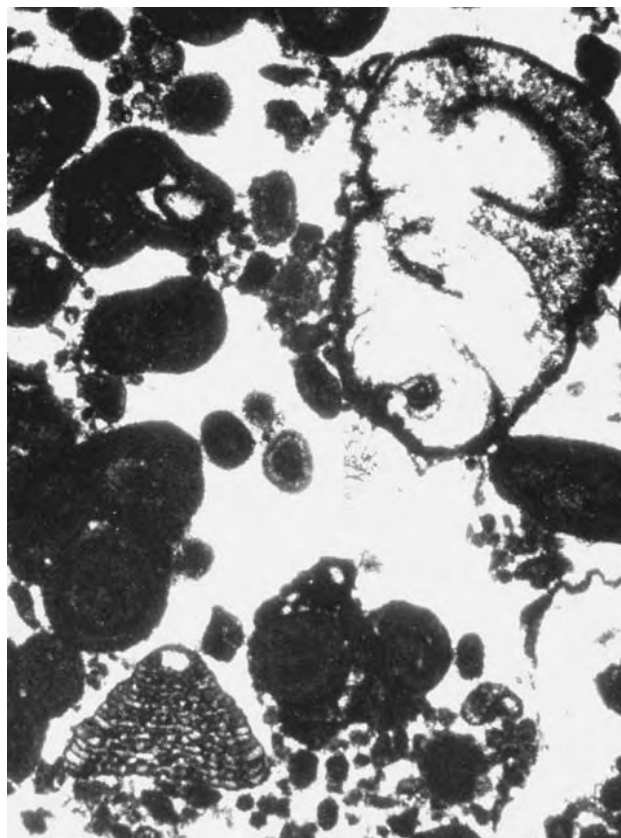
Fig. 3 – *Well-sorted ooids packstone (broken and regenerated) with Gutnicella cayeuxi (oooid nucleus), Nubecularia reicheli, Gastropoda remains. (x 20)*
Castel del Monte stratigraphic section (Gran Sasso d'Italia, Abruzzo).
Gutnicella cayeuxi biozone.
Uppermost Toarcian - Lower Bajocian p.p.

Fig. 4 – *Grainstone with Gutnicella cayeuxi (microspheric and megalospheric specimen), Nubecularia reicheli, Gastropoda and Echinodermata remains. (x 20)*
Morrone di Pacentro stratigraphic section (Morrone Mt., Abruzzo).
Gutnicella cayeuxi biozone.
Uppermost Toarcian – Lower Bajocian p.p.

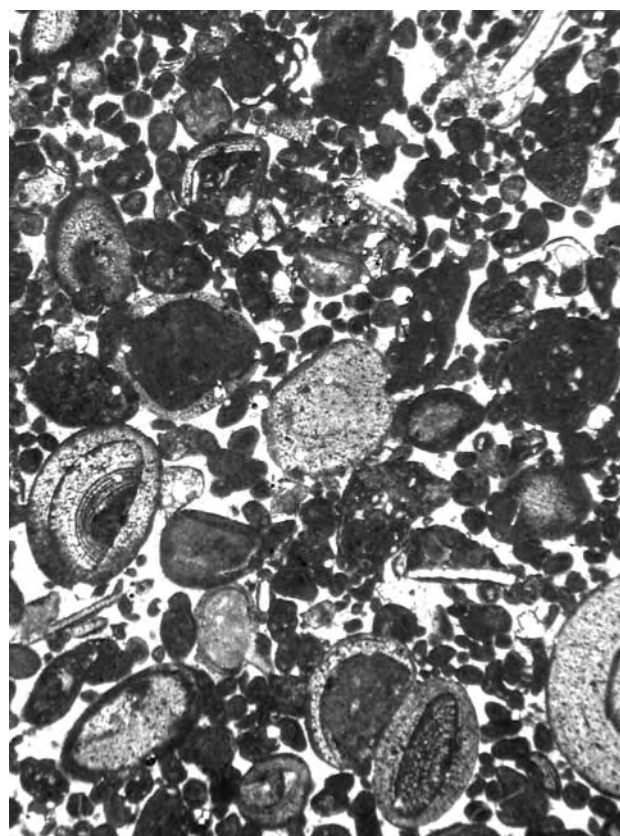
Tavola XXXVI



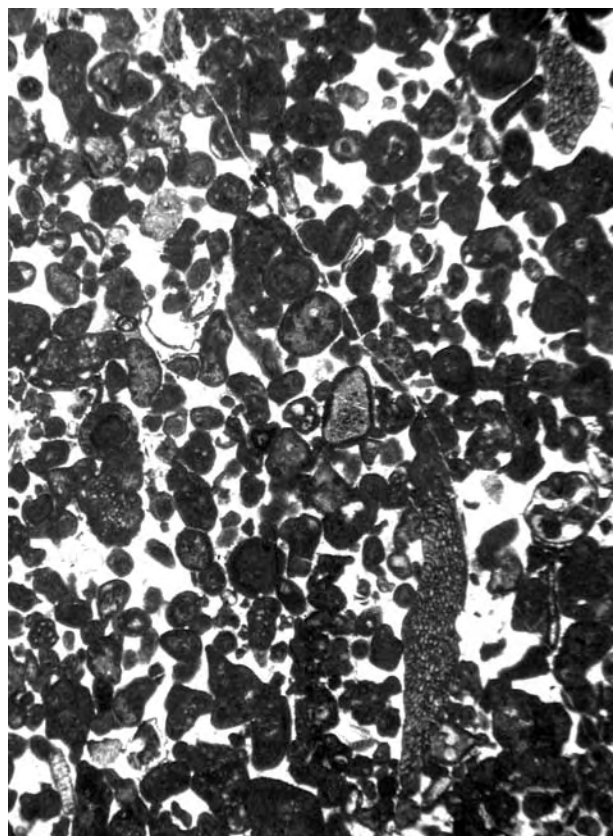
1



2



3



4

TAVOLA XXXVII

Fig. 1 – Rudstone con *Spiraloconulus giganteus*. (x 10)
 Sezione stratigrafica del Monte Bolza (Gran Sasso d'Italia, Abruzzo).
 Parte superiore della biozona a *Gutnicella cayeuxi*.
 Aaleniano superiore – Bajociano inferiore p.p.

Fig. 2 – Packstone con *Protopeneroplis striata*. (x 75)
 Sezione stratigrafica del Monte Bolza (Gran Sasso d'Italia, Abruzzo).
Biozona a Protopeneroplis striata.
 Bajociano inferiore p.p. – Oxfordiano

Fig. 3 – Wackestone con *Archaeosepta platierensis*. (x 100)
 Sezione stratigrafica del Monte Caramanno (Lazio nord-occidentale).
 Parte media della biozona a *Protopeneroplis striata*.
 Bajociano superiore – Bathonian

Fig. 4 – Packstone con *Marzoella ficcarellii*. (x 75)
 Sezione stratigrafica del Colle Marzo (Lazio nord-occidentale).
 Parte inferiore della biozona a *Protopeneroplis striata*.
 Bajociano

PLATE XXXVII

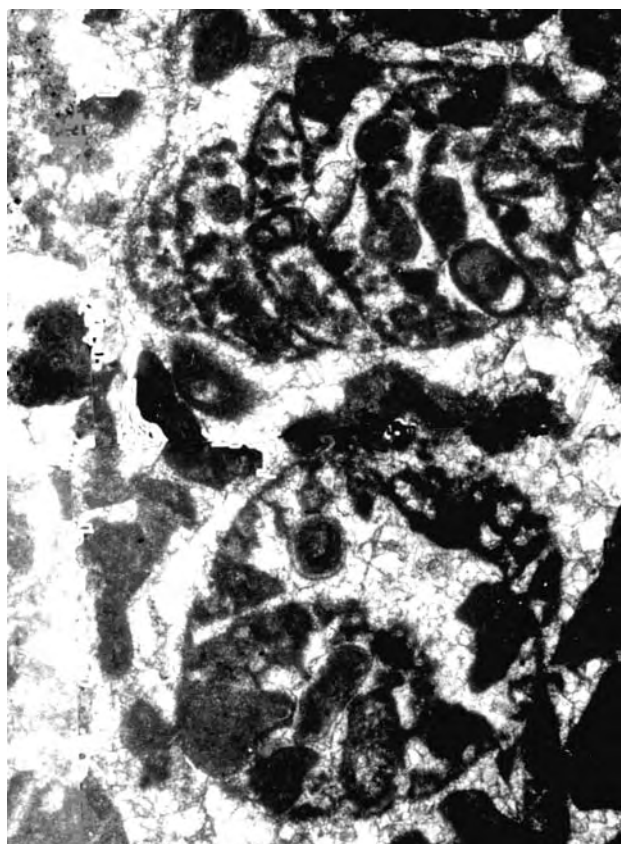
Fig. 1 – Rudstone with *Spiraloconulus giganteus*. (x 10)
Monte Bolza stratigraphic section (Gran Sasso d'Italia, Abruzzi).
Upper part of the Gutnicella cayeuxi biozone.
Upper Aalenian – Lower Bajocian p.p.

Fig. 2 – Packstone with *Protopeneroplis striata*. (x 75)
Monte Bolza stratigraphic section (Gran Sasso d'Italia, Abruzzi).
Protopeneroplis striata biozone.
Lower Bajocian p.p.- Oxfordian

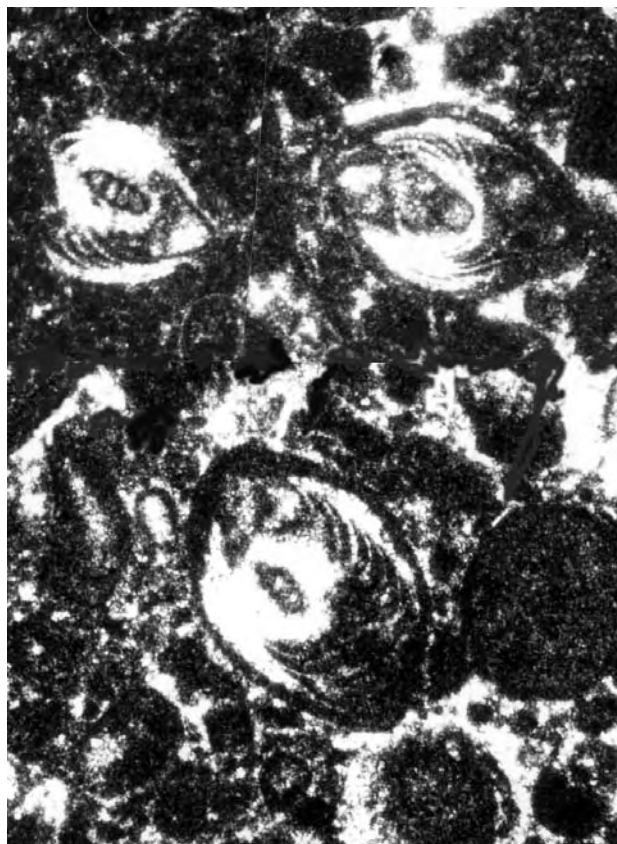
Fig. 3 – Wackestone with *Archaeosepta platierensis*. (x 100)
Monte Caramanno stratigraphic section (North-Western Latium).
Middle part of the Protopeneroplis striata biozone.
Upper Bajocian – Bathonian

Fig. 4 – Packstone with *Marzoella ficcarellii*. (x 75)
Colle Marzo stratigraphic section (North-Western Latium).
Lower part of the Protopeneroplis striata biozone.
Bajocian

Tavola XXXVII



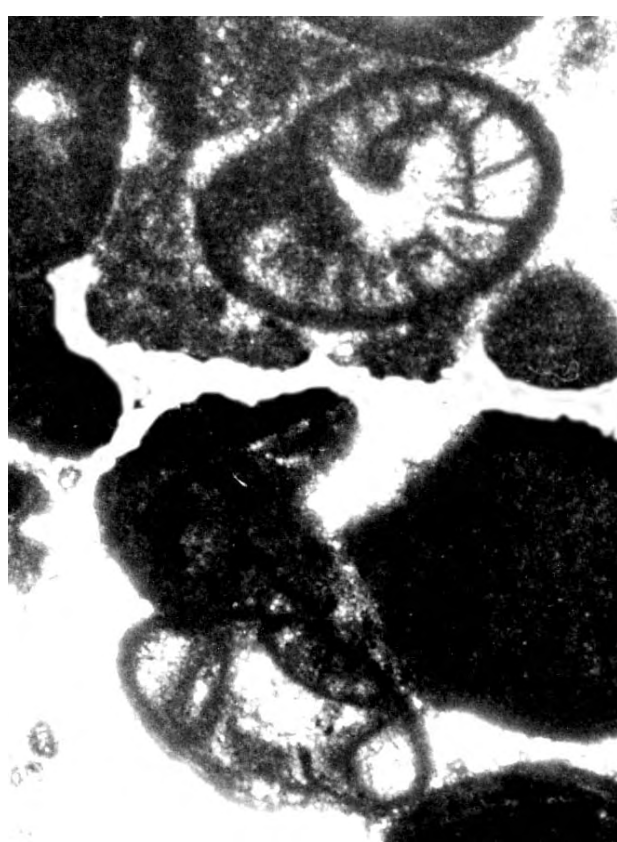
1



2



3



4

TAVOLA XXXVIII

Fig. 1 – Rudstone con *Tubiphytes morronensis*, *Sestrostomella* sp. e Anthozoa. (x 15)
 Sezione stratigrafica del Monte Bolza (Gran Sasso d'Italia, Abruzzo).
Biozona a Tubiphytes morronensis.
 Kimmeridgiano – Titoniano

Fig. 2 – Grainstone con *Tubiphytes morronensis* e resti di Echinodermata. (x 50)
 Sezione stratigrafica del Monte Bolza (Gran Sasso d'Italia, Abruzzo).
Biozona a Tubiphytes morronensis.
 Kimmeridgiano – Titoniano

Fig. 3 – Grainstone con oncoidi, ? *Mercierella dacica*, *Tubiphytes morronensis* e resti di Echinodermata. (x 35)
 Sezione stratigrafica di Capodichima (Monte Cairo, Lazio meridionale).
Biozona a Lithocodium aggregatum; sottozona a Protopeneroplis ultragranulata.
 Berriasiano – Valanginiano p.p.

Fig. 4 – Grainstone parzialmente ricristallizzato con ? *Mercierella dacica*, *Acrulammina longa*, resti di Mollusca e di Echinodermata. (x 35)
 Sezione stratigrafica di Capodichima (Monte Cairo, Lazio meridionale).
Biozona a Lithocodium aggregatum; sottozona a Protopeneroplis ultragranulata.
 Berriasiano - Valanginiano p.p

PLATE XXXVIII

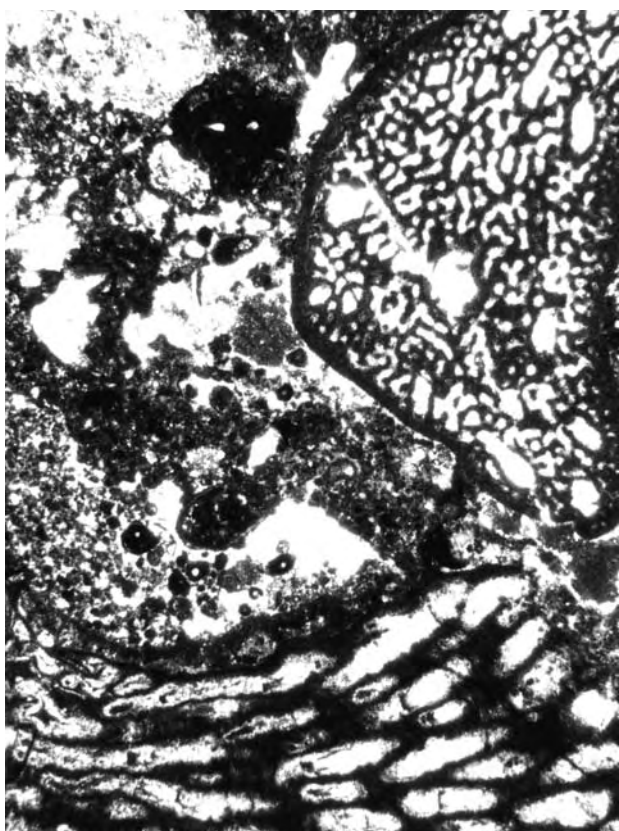
Fig. 1 – Rudstone with *Tubiphytes morronensis*, *Sestrostomella* sp. and Anthozoa. (x 15)
 Monte Bolza stratigraphic section (Gran Sasso d'Italia, Abruzzo).
Tubiphytes morronensis biozone.
 Kimmeridgian - Tithonian

Fig. 2 – Grainstone with *Tubiphytes morronensis* and Echinodermata remains. (x 50)
 Monte Bolza stratigraphic section (Gran Sasso d'Italia, Abruzzo).
Tubiphytes morronensis biozone.
 Kimmeridgian - Tithonian

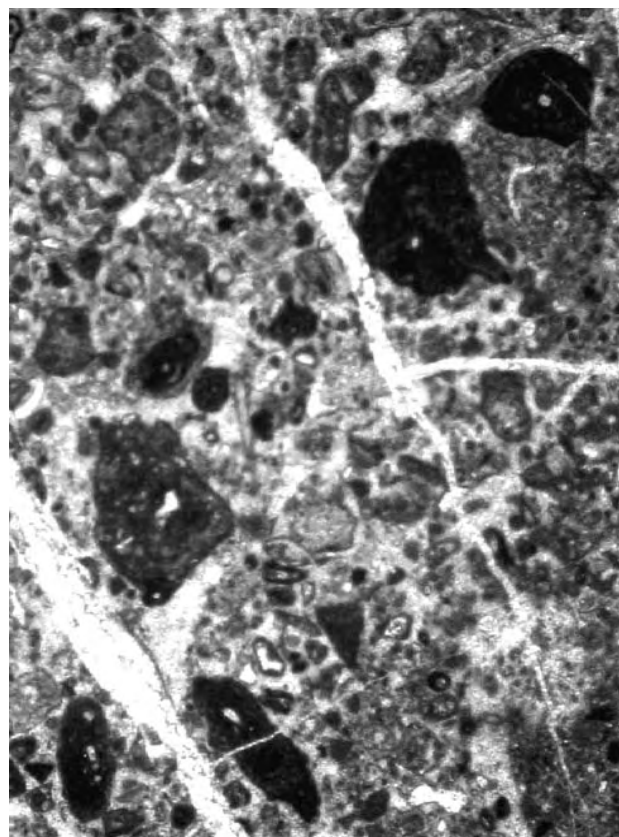
Fig. 3 – Grainstone with ? *Mercierella dacica*, *Tubiphytes morronensis*, Echinodermata remains. (x 35)
 Capodichima stratigraphic section (Cairo Mt., Southern Latium).
Lithocodium aggregatum biozone – *Protopeneroplis ultragranulata* subzone.
 Berriasian – Valanginian p.p.

Fig. 4 – Partially recrystallized grainstone with ? *Mercierella dacica*, *Acrulammina longa*, Mollusca and Echinodermata remains. (x 35)
 Capodichima stratigraphic section (Cairo Mt., Southern Latium).
Lithocodium aggregatum biozone – *Protopeneroplis ultragranulata* subzone.
 Berriasian – Valanginian p.p.

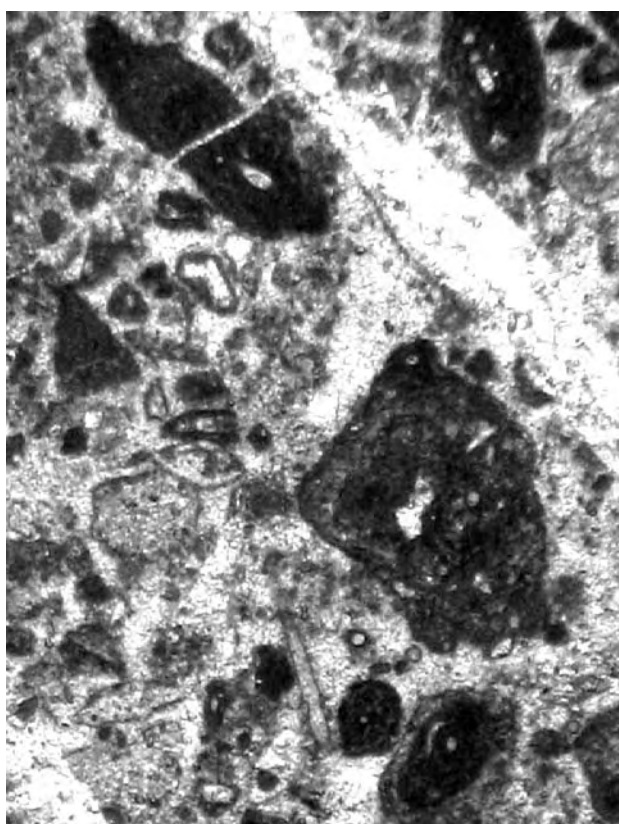
Tavola XXXVIII



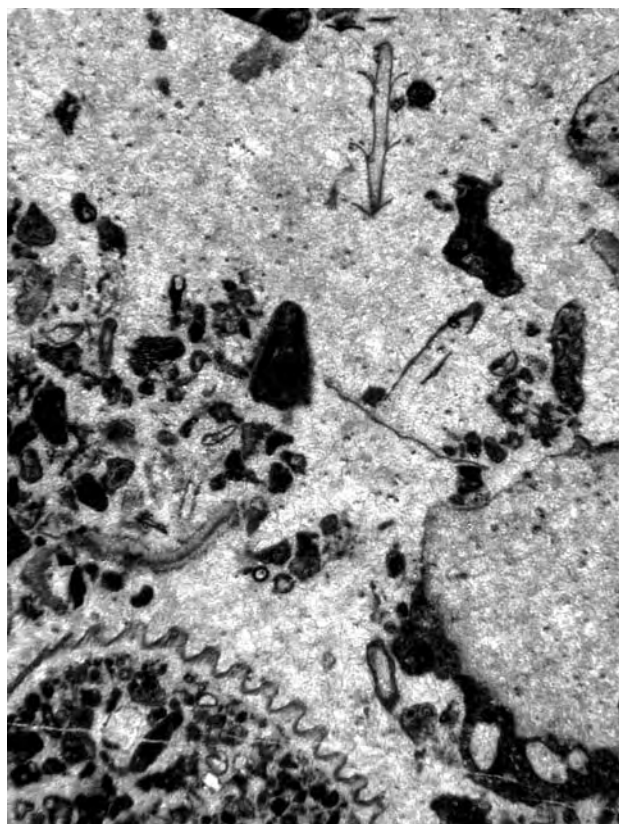
1



2



3



4

TAVOLA XXXIX

Fig. 1 – Rudstone con oncoidi, *Charentia cuvillieri*, *Protopeneroplis ultragranulata*, *Trocholina* sp., Anthozoa e Echinodermata. (x 20)

Sezione stratigrafica della Costa dell'Orsa (Gran Sasso d'Italia, Abruzzo).

Biozona a Lithocodium aggregatum; sottozona a Protopeneroplis ultragranulata.
Berriasiano – Valanginiano

Fig. 2 – Rudstone con Anthozoa, *Protopeneroplis ultragranulata*, *Lithocodium aggregatum*. (x 20)

Sezione stratigrafica della Costa dell'Orsa (Gran Sasso d'Italia, Abruzzo).

Biozona a Lithocodium aggregatum; sottozona a Protopeneroplis ultragranulata.
Berriasiano – Valanginiano

Fig. 3 – Grainstone con *Protopeneroplis ultragranulata*, *Mohlerina basiliensis*, *Trocholina chiocchini*, *Verneuilina* sp. (x 40)

Sezione stratigrafica della Costa dell'Orsa (Gran Sasso d'Italia, Abruzzo).

Biozona a Lithocodium aggregatum; sottozona a Protopeneroplis ultragranulata.
Berriasiano - Valanginiano

Fig. 4 – Rudstone con *Lithocodium aggregatum*, *Protopeneroplis ultragranulata* e resti di Echinodermata. (x 25)

Sezione stratigrafica di Costa di Piccipoli (Gran Sasso d'Italia, Abruzzo).

Biozona a Lithocodium aggregatum; sottozona a Protopeneroplis ultragranulata.
Berriasiano – Valanginiano

PLATE XXXIX

Fig. 1 – *Oncolitic rudstone with Charentia cuvillieri, Protopeneroplis ultragranulata, Trocholina sp., Anthozoa and Echinodermata.* (x 20)

Costa dell'Orsa stratigraphic section (Gran Sasso d'Italia, Abruzzo).

Lithocodium aggregatum biozone – Protopeneroplis ultragranulata subzone.
Berriasian – Valanginian

Fig. 2 – *Rudstone with Anthozoa*, *Protopeneroplis ultragranulata*, *Lithocodium aggregatum*. (x 20)

Costa dell'Orsa stratigraphic section (Gran Sasso d'Italia, Abruzzo).

Lithocodium aggregatum biozone – Protopeneroplis ultragranulata subzone.
Berriasian – Valanginian

Fig. 3 – *Grainstone with Protopeneroplis ultragranulata*, *Mohlerina basiliensis*, *Trocholina chiocchini*, *Verneuilina* sp. (x 40)

Costa dell'Orsa stratigraphic section (Gran Sasso d'Italia, Abruzzo).

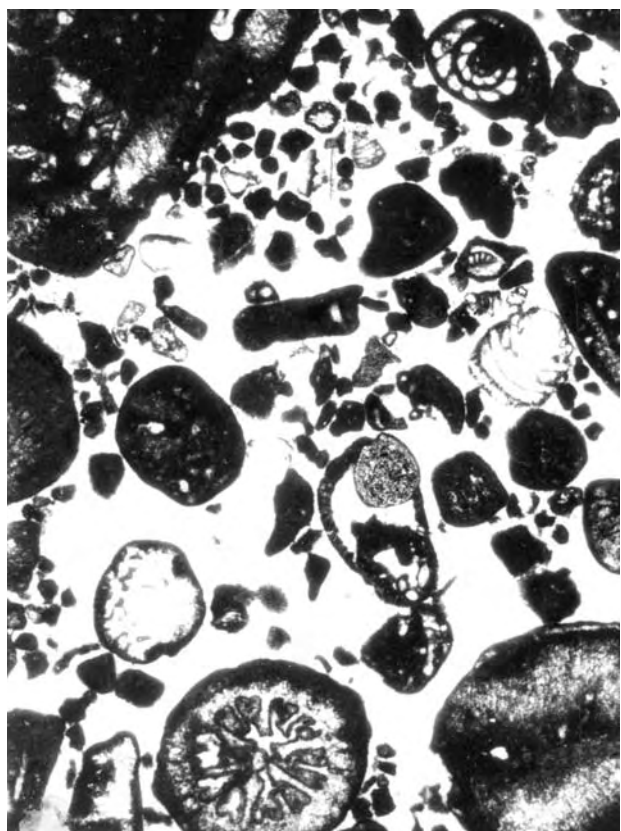
Lithocodium aggregatum biozone – Protopeneroplis ultragranulata subzone.
Berriasian – Valanginian

Fig. 4 – *Rudstone with Litocodium aggregatum, Protopeneroplis ultragranulata and Echinodermata remains.* (x 25)

Costa di Piccipoli stratigraphic section (Gran Sasso d'Italia, Abruzzo).

Lithocodium aggregatum biozone – Protopeneroplis ultragranulata subzone.
Berriasian – Valanginian

Tavola XXXIX



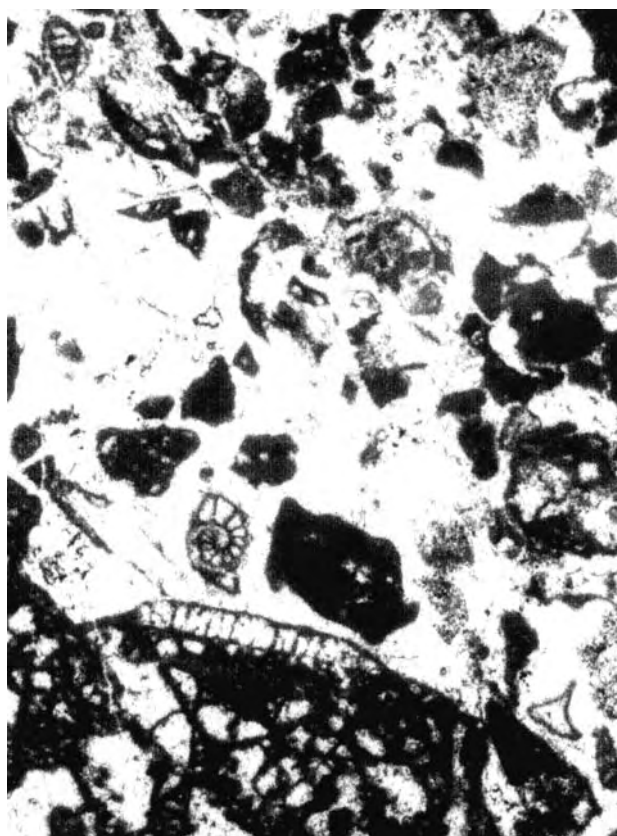
1



2



3



4

TAVOLA XL

Fig. 1 – Floatstone con *Trocholina chiocchinii*, *Trocholina campanella*, *Tubiphytes morronensis*, resti di Gastropoda e Echinodermata. (x 20)
 Sezione stratigrafica della Costa dell'Orsa (Gran Sasso d'Italia, Abruzzo).
Biozona a Lithocodium aggregatum; sottozona a *Protopeneroplis ultragranulata*.
 Berriasiano – Valanginiano

Fig. 2 – Grainstone con *Trocholina chouberti* e *Trocholina odukpaniensis*. (x 50)
 Sezione stratigrafica della Costa dell'Orsa (Gran Sasso d'Italia, Abruzzo).
Biozona a Lithocodium aggregatum; parte superiore della sottozona a *Protopeneroplis ultragranulata*.
 Valanginiano.

Fig. 3 – Bindstone con *Lithocodium aggregatum*. (x 20)
 Sezione stratigrafica della Costa di Piecipopoli (Gran Sasso d'Italia, Abruzzo).
Biozona a Lithocodium aggregatum; sottozona a *Protopeneroplis ultragranulata*.
 Berriasiano – Valanginiano

Fig. 4 – Rudstone con *Rivularia piae* e *Macroporella praturloni*. (x 25)
 Sezione stratigrafica del Monte Camarda (Gran Sasso d'Italia, Abruzzo).
Biozona a Lithocodium aggregatum; sottozona a *Protopeneroplis ultragranulata*.
 Berriasiano – Valanginiano

PLATE XL

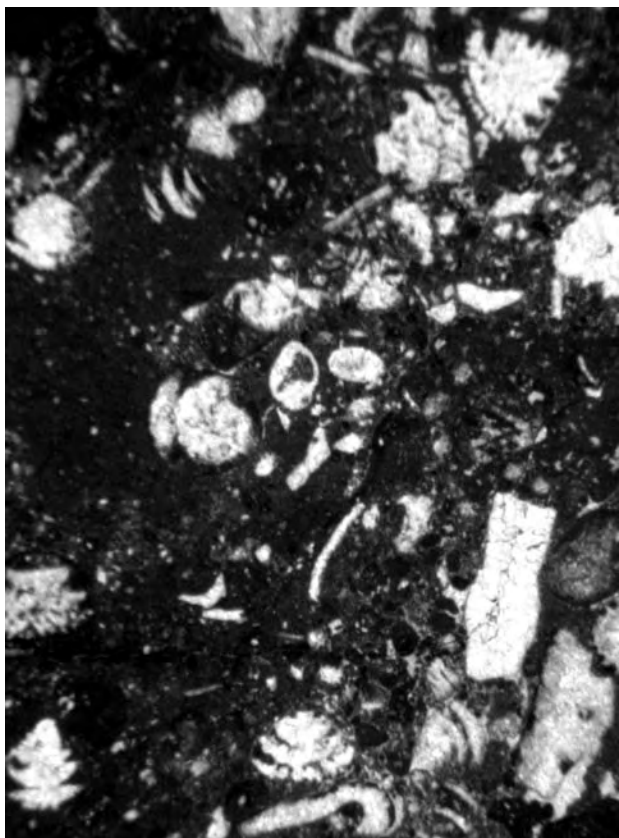
Fig. 1 – *Floatstone with Trocholina chiocchinii, Trocholina campanella, Tubiphytes morronensis, Gastropoda and Echinodermata remains. (x 20)*
Costa dell'Orsa stratigraphic section (Gran Sasso d'Italia, Abruzzi).
Lithocodium aggregatum biozone – Protopeneroplis ultragranulata subzone.
Berriasian – Valanginian

Fig. 2 – *Grainstone with Trocholina chouberti (above) and Trocholina odukpaniensis (below). (x 50)*
Costa dell'Orsa stratigraphic section (Gran Sasso d'Italia, Abruzzi).
Lithocodium aggregatum biozone - upper part of the Protopeneroplis ultragranulata subzone.
Valanginian

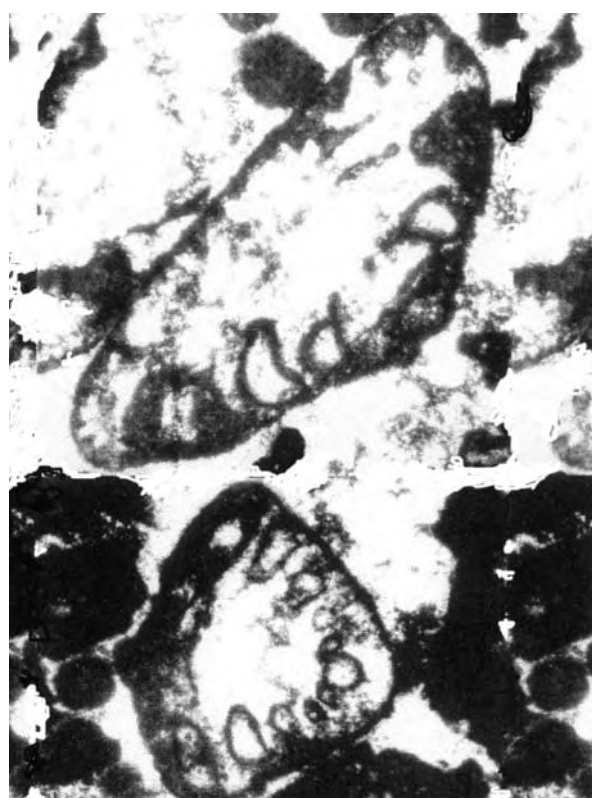
Fig. 3 – *Bindstone with Lithocodium aggregatum. (x 20)*
Costa di Piecipopoli stratigraphic section (Gran Sasso d'Italia, Abruzzi).
Lithocodium aggregatum biozone – Protopeneroplis ultragranulata subzone.
Berriasian – Valanginian

Fig. 4 – *Rudstone with Rivularia piae (above) and Macroporella praturloni (below). (x 25)*
Monte Camarda stratigraphic section (Gran Sasso d'Italia, Abruzzi).
Lithocodium aggregatum biozone – Protopeneroplis ultragranulata subzone.
Berriasian – Valanginian

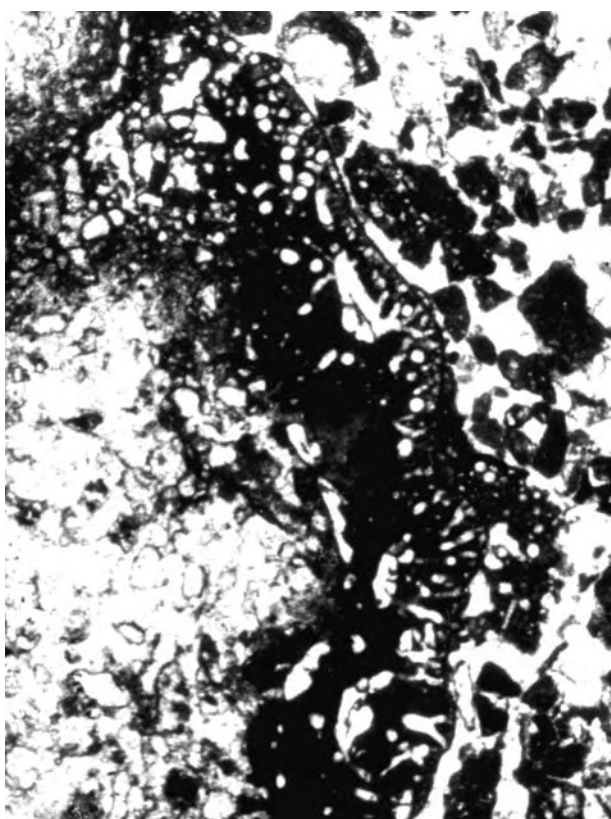
Tavola XL



1



2



3



4

TAVOLA XLI

Fig. 1 – Floatstone with *Charentia cuvillieri*, *Protopeneroplis ultragranulata*, *Tubiphytes morronensis*, resti di Echinodermata e ?Porifera. (x 20)
 Sezione stratigrafica della Costa dell'Orsa (Gran Sasso d'Italia, Abruzzo).
Biozona a Lithocodium aggregatum; sottozona a Protopeneroplis ultragranulata.
 Berriasiano - Valanginiano

Fig. 2 – Packstone con *Pseudocyammina lituus*, *Salpingoporella annulata*, Miliolidae. (x 30)
 Sezione stratigrafica di Costa di Piecipopoli (Gran Sasso d'Italia, Abruzzo).
 Parte media della *Biozona a Lithocodium aggregatum*.
 Valanginiano

Fig. 3 – Rudstone con *Montseicella arabica*, *Chaetetopsis* sp. e resti di Echinodermata. (x 20)
 Sezione stratigrafica di Colle Paradiso (Gran Sasso d'Italia, Abruzzo).
 Parte superiore della *Biozona a Lithocodium aggregatum*.
 Barremiano superiore – Aptiano inferiore p.p.

Fig. 4 – Rudstone mal classato con *Orbitolina (Conicorbitolina) moulladei* e piccoli frammenti di Hippuritacea. (x 32)
 Sezione stratigrafica di Fossato Macchè (Monti d'Ocre, Abruzzo).
 Parte media della *Biozona a Orbitolina*.
 Albiano superiore – Cenomaniano inferiore.

PLATE XLI

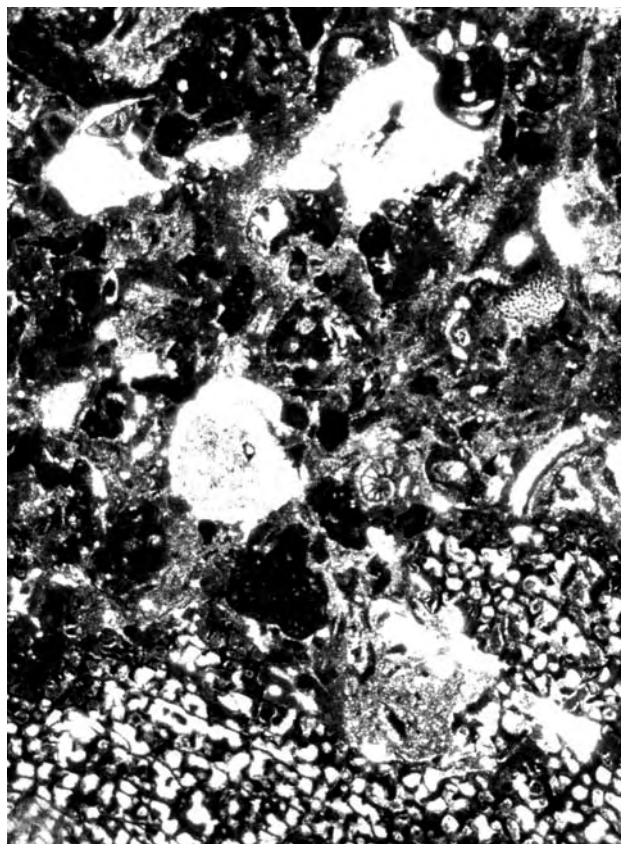
Fig. 1 – *Floatstone with Charentia cuvillieri, Protopeneroplis ultragranulata, Tubiphytes morronensis, Echinodermata and ?Porifera remains. (x 20)*
Costa dell'Orsa stratigraphic section (Gran Sasso d'Italia, Abruzzi).
Lithocodium aggregatum biozone – Protopeneroplis ultragranulata subzone.
Berriasian – Valanginian

Fig. 2 – *Packstone with Pseudocyammina lituus, Salpingoporella annulata, Miliolidae. (x 30)*
Costa di Piecipopoli stratigraphic section (Gran Sasso d'Italia, Abruzzi).
Middle part of the Lithocodium aggregatum biozone.
Valanginian

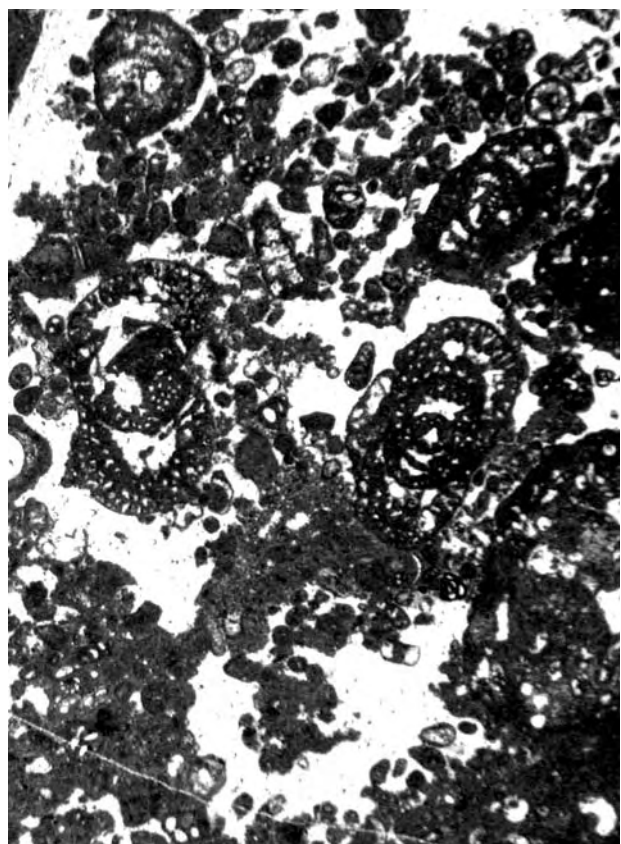
Fig. 3 – *Rudstone with Montseicella arabica, Chaetetopsis sp. and Echinodermata remains. (x 20)*
Colle Paradiso stratigraphic section (Gran Sasso d'Italia, Abruzzi).
Upper part of the Lithocodium aggregatum biozone.
Upper Berriasian – Lower Aptian p.p.

Fig. 4 – *Well sorted rudstone with Orbitolina (Conicorbitolina) moulladei and small fragments of Hippuritacea. (x 32)*
Fossato Macchè stratigraphic section (d'Ocre Mts., Abruzzi).
Middle part of the Orbitolina biozone.
Upper Albian – Lower Cenomanian

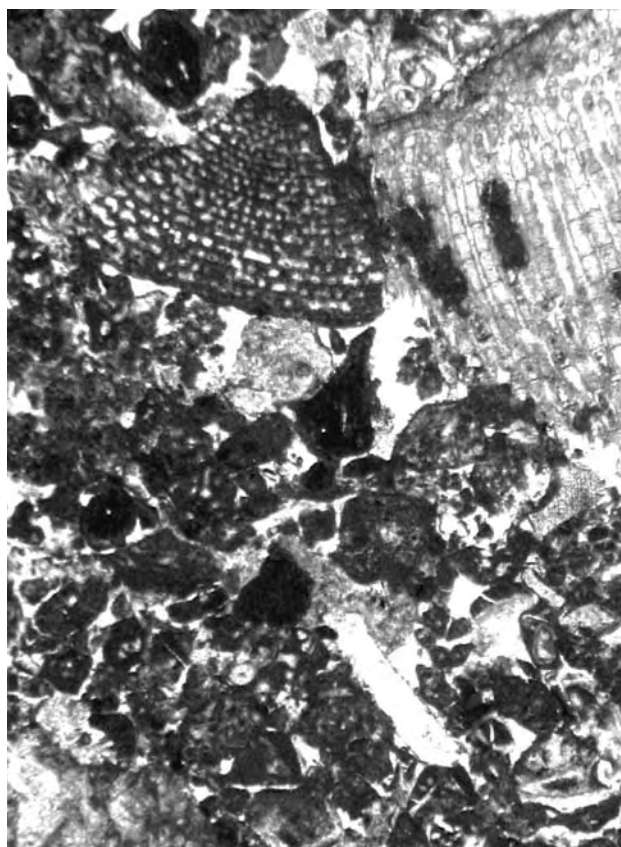
Tavola XLI



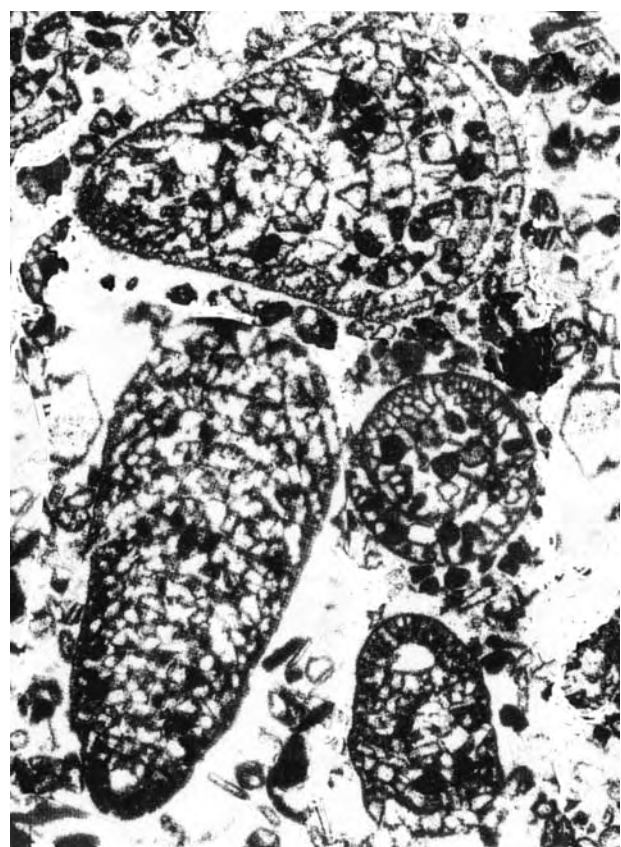
1



2



3



4

TAVOLA XLII

Fig. 1 – Rudstone con *Orbitolina (Mesorbitolina)* sp. e resti di Echinodermata. (x 30)
 Sezione stratigrafica della Costa Grande (Gran Sasso d'Italia, Abruzzo).
 Parte inferiore della *biozona a Orbitolina*.
 Aptiano inferiore p.p. – Albiano

Fig. 2 – Rudstone con Orbitolinidae e resti elaborati di Caprotinidae e Radiolitidae. (x 25)
 Fossa Mezzaspada (Monti d'Ocre, Abruzzo).
 Parte superiore della *biozona a Orbitolina*.
 Cenomaniano inferiore

Fig. 3 – Rudstone con resti di Radiolitidae. (x 12)
 Le Quartore (Monti d'Ocre, Abruzzo).
Biozona a Radiolitidae e Hippuritidae.
 Cenomaniano superiore p.p. – Campaniano superiore p.p.

Fig. 4 – Floatstone con *Omphalocyclus macroporus*, *Siderolites calcitrapoides* e ? *Orbitoides* sp. (x 12)
 Sezione stratigrafica di Costa Grande (Monti d'Ocre, Abruzzo).
 Parte superiore della *biozona a Orbitoides*.
 Maastrichtiano

PLATE XLII

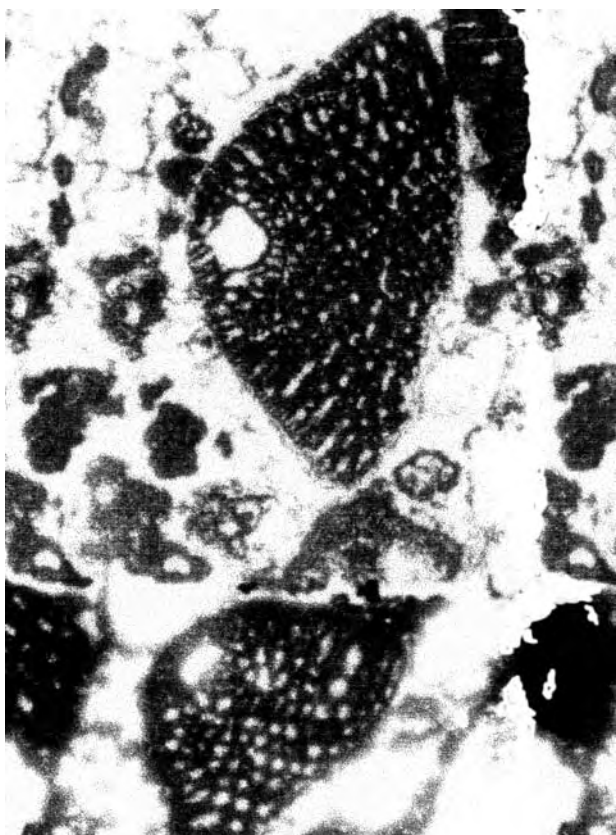
Fig. 1 – Rudstone with *Orbitolina (Mesorbitolina)* sp. and Echinodermata remains. (x 30)
Costa Grande stratigraphic section (Gran Sasso d'Italia, Abruzzi).
 Lower part of the *Orbitolina* biozone.
 Lower Aptian p.p. – Albian

Fig. 2 – Rudstone with Orbitolinidae, Caprotinidae and Radiolitidae rounded remains. (x 25)
Fossa Mezzaspada (d'Ocre Mts., Abruzzi).
 Upper part of the *Orbitolina* biozone.
 Lower Cenomanian

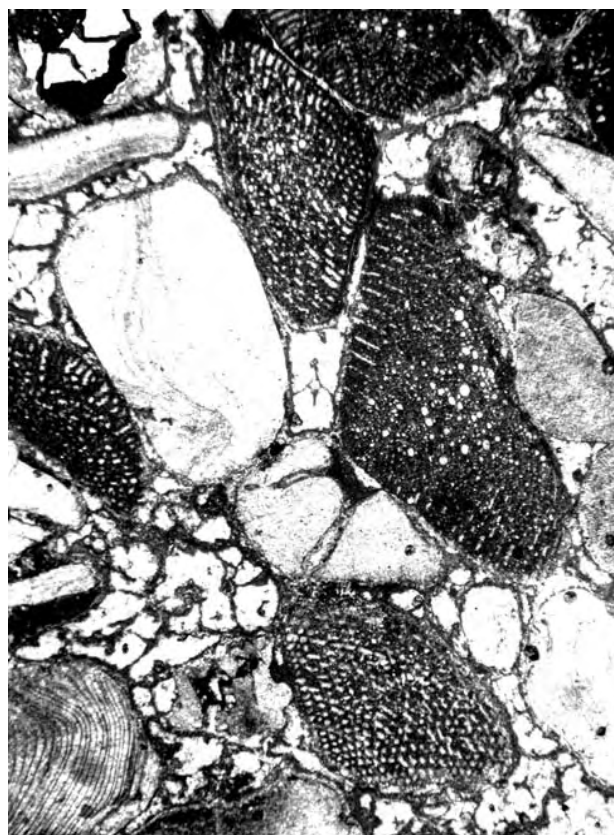
Fig. 3 – Rudstone with Radiolitidae. (x 12)
Le Quartore (d'Ocre Mts., Abruzzi).
 Radiolitidae and Hippuritidae biozone.
 Upper Cenomanian p.p. – Upper Campanian p.p.

Fig. 4 – Floatstone with *Omphalocyclus macroporus*, *Siderolites calcitrapoides*, ? *Orbitoides* sp. (x 12)
Costa Grande stratigraphic section (d'Ocre Mts., Abruzzi).
 Upper part of the *Orbitoides* biozone.
 Maastrichtian

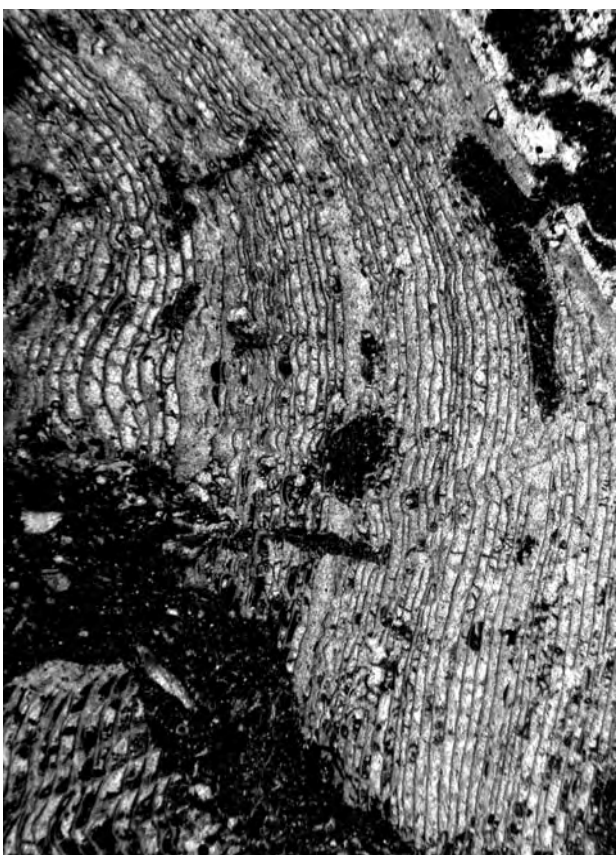
Tavola XLII



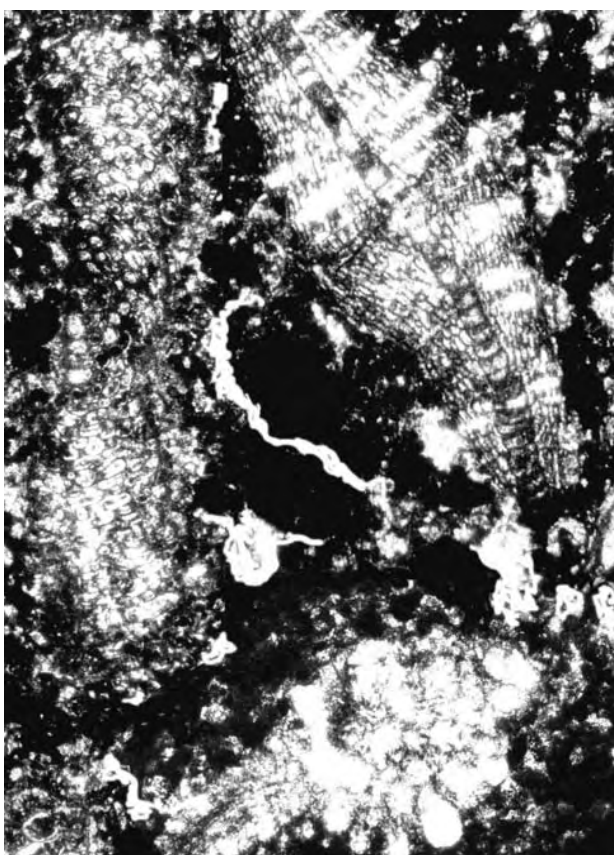
1



2



3



4

TAVOLA XLIII

Fig. 1 – Rudstone bioclastico con Radiolaria, *Orbitopsella* sp., *Siphovahlvulina* sp., frammenti di Mollusca e Echinodermata (x 15)
 Sezione stratigrafica del Monte Biffone (Gran Sasso d'Italia, Abruzzo).
Biozona a Radiolaria, Orbitopsella e Agerina martana.
 Pliensbachiano

Fig. 2 – Packstone bioclastico con *Posidonia-Bositra* isorientati e frammenti di Echinodermata. (x 20)
 Sezione stratigrafica del Monte Carpesco (Gran Sasso d'Italia, Abruzzo).
 Parte inferiore della *biozona a Posidonia-Bositra e Protopeneroplis striata*.
 Bajociano inferiore p.p. – Bathonian

Fig. 3 – Packstone bioclastico con *Tubiphytes morronensis*, *Saccocoma* sp., Radiolaria, frammenti di Echinodermata. (x 25)
 Sezione stratigrafica del Duca degli Abruzzi (Gran Sasso d'Italia, Abruzzo).
Biozona a Saccocoma e Tubiphytes morronensis.
 Kimmeridgiano superiore – Tithoniano superiore p.p.

Fig. 4 – Packstone bioclastico con *Aptychus* sp., *Tubiphytes morronensis*, *Saccocoma* sp., *Colomisphaera* sp., Radiolaria, frammenti di Echinodermata. (x 15)
 Sezione stratigrafica del Pizzo di Camarda (Gran Sasso d'Italia, Abruzzo).
 Parte superiore della *biozona a Saccocoma e Tubiphytes morronensis*.
 Tithonian inferiore

PLATE XLIII

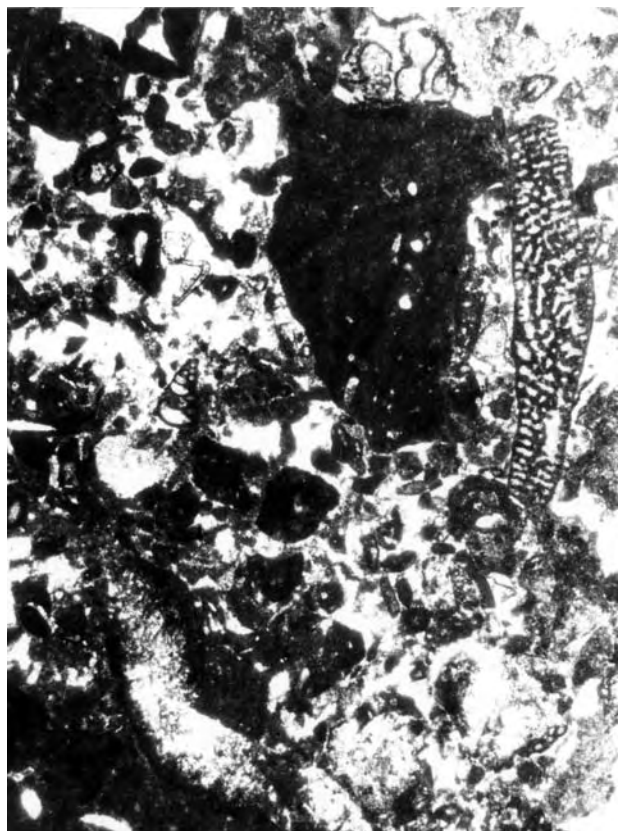
Fig. 1 – Bioclastic rudstone with Radiolaria, *Orbitopsella* sp., *Siphovalvulina* sp., Mollusca and Echinodermata fragments. (x 15)
 Monte Biffone stratigraphic section (Gran Sasso d'Italia, Abruzzi).
 Radiolaria, *Orbitopsella* and *Agerina martana* biozone.
 Pliensbachian

Fig. 2 – Bioclastic packstone with isooriented *Posidonia-Bositra* and Echinodermata fragments. (x 20)
 Monte Carpesco stratigraphic section (Gran Sasso d'Italia, Abruzzi).
 Lower part of the *Posidonia - Bositra* and *Protopeneroplis striata* biozone.
 Lower Bajocian p.p. – Bathonian

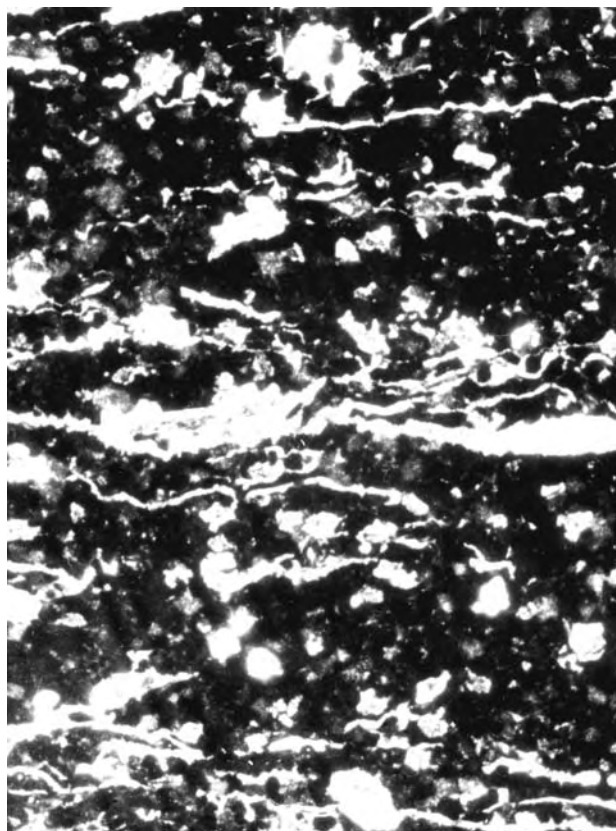
Fig. 3 – Bioclastic packstone with *Tubiphytes morronensis*, *Saccocoma* sp., Radiolaria, Echinodermata fragments. (x 25)
 Duca degli Abruzzi stratigraphic section (Gran Sasso d'Italia, Abruzzi).
Saccocoma and *Tubiphytes morronensis* biozone.
 Upper Kimmeridgian – Upper Tithonian p.p.

Fig. 4 – Bioclastic packstone with *Aptychus* sp., *Tubiphytes morronensis*, *Saccocoma* sp., *Colomisphaera* sp., Radiolaria, Echinodermata fragments. (x 15)
 Pizzo di Camarda stratigraphic section (Gran Sasso d'Italia, Abruzzi).
 Upper part of the *Saccocoma* and *Tubiphytes morronensis* biozone.
 Lower Tithonian

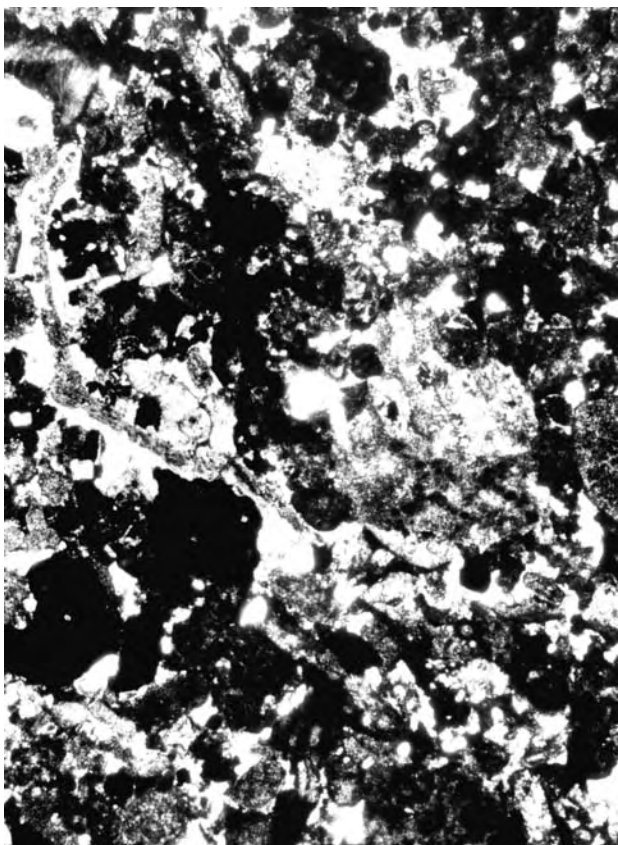
Tavola XLIII



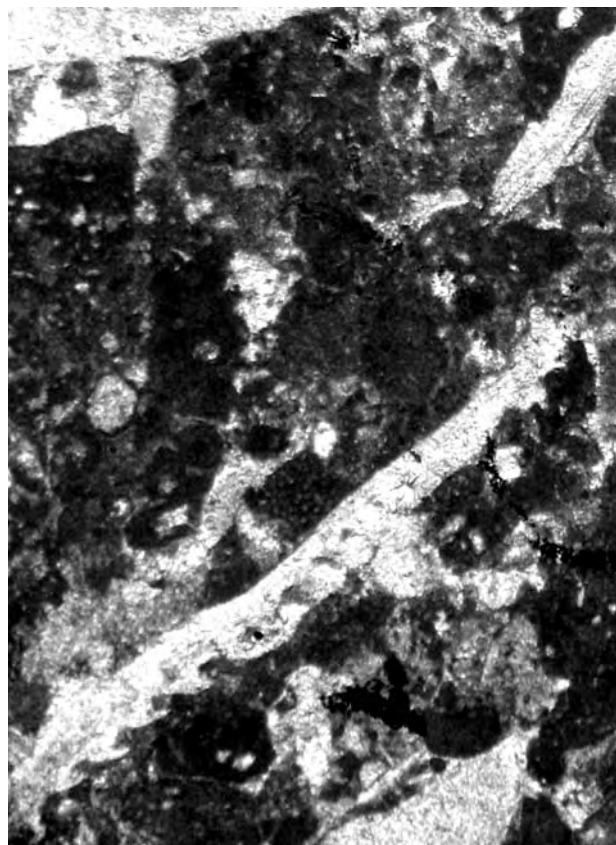
1



2



3



4

TAVOLA XLIV

Fig. 1 – Packstone bioclastico con piccoli frammenti di Echinodermata, *Calpionella alpina*, *Crassicollaria massutiniana*, *Colomisphaera carpathica*, Radiolaria. (x 60)
 Sezione stratigrafica del Pizzo Cefalone (Gran Sasso d'Italia, Abruzzo).
 Parte inferiore della biozona a *Crassicollaria*, *Calpionella*, *Lithocodium aggregatum* e *Tubiphytes morronensis*.
 Titoniano superiore p.p

Fig. 2 – Packstone bioclastico con piccoli frammenti di Echinodermata e Mollusca, *Colomisphaera carpathica*, *Calpionella alpina*, *Crassicollaria parvula*, *Remaniella ferasini*. (x 35)
 Sezione stratigrafica del Pizzo di Camarda (Gran Sasso d'Italia, Abruzzo).
 Parte inferiore della biozona a *Crassicollaria*, *Calpionella*, *Lithocodium aggregatum* e *Tubiphytes morronensis*.
 Berriasiano basale

Fig. 3 – Floatstone bioclastico con frammenti di Echinodermata, *Protopeneroplis ultragranulata*, *Crassicollaria parvula*, *Calpionella alpina*, *Colomisphaera carpathica*. (x 50)
 Sezione stratigrafica del Pizzo di Camarda (Gran Sasso d'Italia, Abruzzo).
 Biozona a *Crassicollaria*, *Calpionella*, *Lithocodium aggregatum* e *Tubiphytes morronensis*.
 Berriasiano inferiore

Fig. 4 – Floatstone bioclastico con *Tubiphytes morronensis*, frammenti di Echinodermata, *Calpionella alpina*, *Calpionella elliptica*. (x 40)
 Sezione stratigrafica del Pizzo di Camarda (Gran Sasso d'Italia, Abruzzo).
 Biozona a *Crassicollaria*, *Calpionella*, *Lithocodium aggregatum* e *Tubiphytes morronensis*.
 Berriasiano

PLATE XLIV

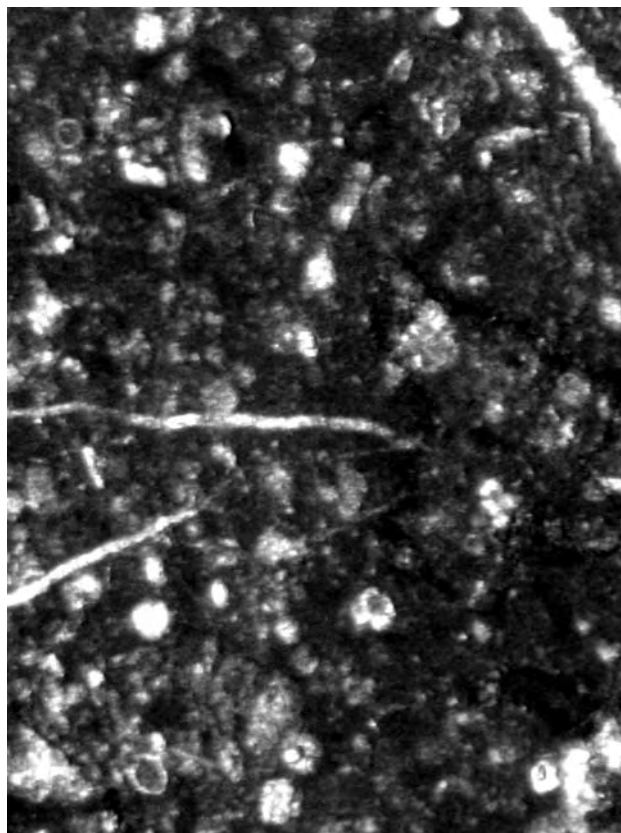
Fig. 1 – Bioclastic packstone with Echinodermata small fragments, *Calpionella alpina*, *Crassicollaria massutiniana*, *Colomisphaera carpathica*, Radiolaria. (x 60)
Pizzo Cefalone stratigraphic section (Gran Sasso d'Italia, Abruzzi).
Lower part of the Crassicollaria, *Calpionella*, *Lithocodium aggregatum* and *Tubiphytes morronensis* biozone.
Upper Tithonian p.p.

Fig. 2 – Bioclastic packstone with Echinodermata and Mollusca small fragments, *Colomisphaera carpathica*, *Calpionella alpina*, *Crassicollaria parvula*, *Remaniella ferasini*. (x 35)
Pizzo di Camarda stratigraphic section (Gran Sasso d'Italia, Abruzzi).
Lower part of the Crassicollaria, *Calpionella*, *Lithocodium aggregatum* and *Tubiphytes morronensis* biozone.
Lowermost Berriasian

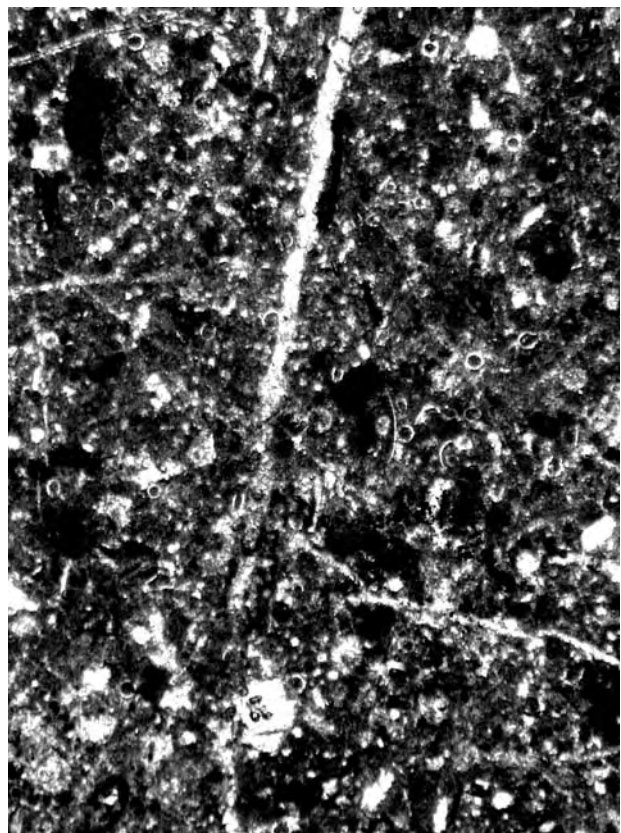
Fig. 3 – Bioclastic floatstone with Echinodermata fragments, *Protopeneroplis ultragranulata*, *Crassicollaria parvula*, *Calpionella alpina*, *Colomisphaera carpathica*. (x 50)
Pizzo di Camarda stratigraphic section (Gran Sasso d'Italia, Abruzzi).
Lower part of the Crassicollaria, *Calpionella*, *Lithocodium aggregatum* and *Tubiphytes morronensis* biozone.
Lower Berriasian

Fig. 4 – Bioclastic floatstone with *Tubiphytes morronensis*, Echinodermata fragments, *Calpionella alpina*, *Calpionella elliptica*. (x 40)
Pizzo di Camarda stratigraphic section (Gran Sasso d'Italia, Abruzzi).
Lower part of the Crassicollaria, *Calpionella*, *Lithocodium aggregatum* and *Tubiphytes morronensis* biozone.
Berriasian

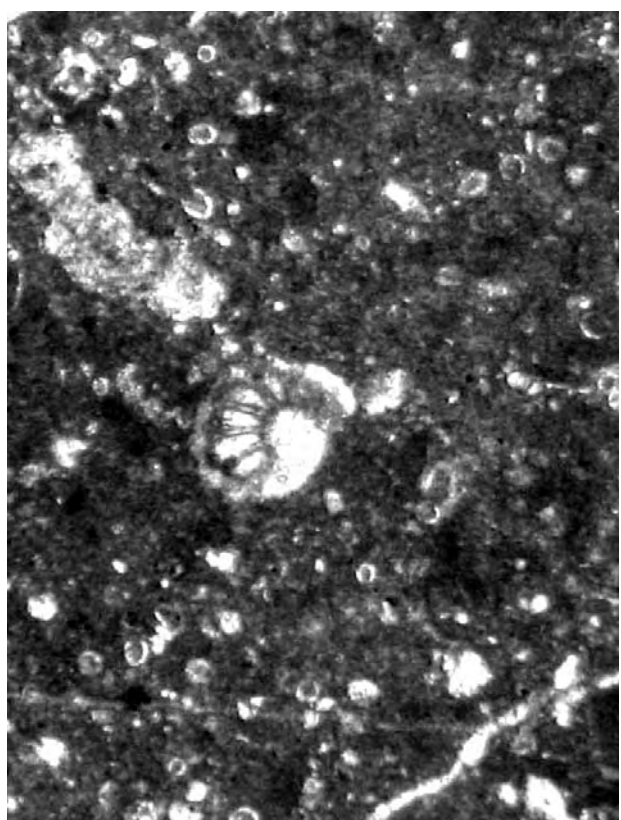
Tavola XLIV



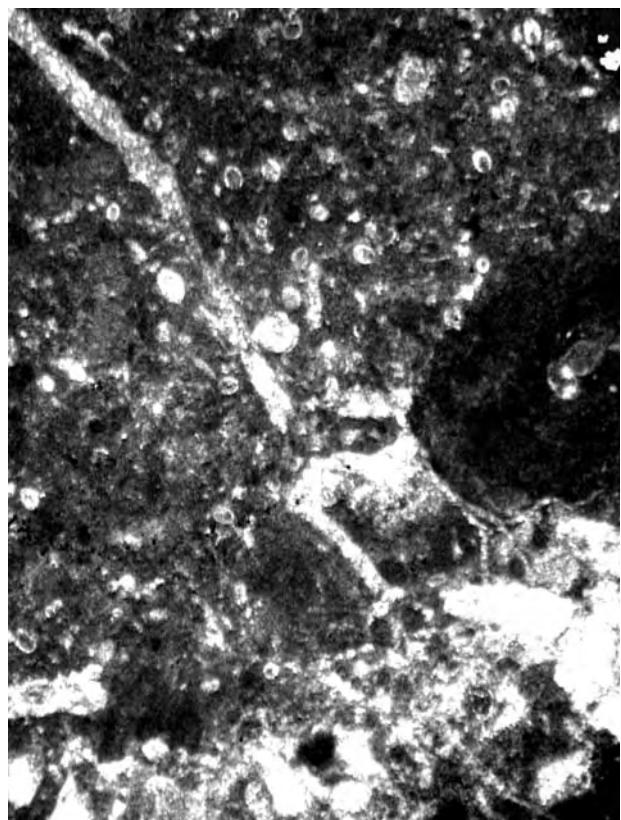
1



2



3



4

TAVOLA XLV

Fig. 1 – Floatstone bioclastico con piccoli frammenti di Echinodermata, *Tubiphytes morronensis*, *Calpionella alpina*, *Colomisphaera carpathica*. (x 60)
 Sezione stratigrafica del Pizzo Cefalone (Gran Sasso d'Italia, Abruzzo).
Biozona a Crassicollaria, Calpionella, Lithocodium aggregatum e Tubiphytes morronensis. Berriasiano.

Fig. 2 – Floatstone bioclastico con frammenti di Echinodermata e Mollusca, *Tubiphytes morronensis*, *Calpionella alpina*, *Calpionella elliptica*, Radiolaria. (x 45)
 Sezione stratigrafica del Pizzo Cefalone (Gran Sasso d'Italia, Abruzzo).
Biozona a Crassicollaria, Calpionella, Lithocodium aggregatum e Tubiphytes morronensis. Berriasiano

Fig. 3 – Floatstone bioclastico con frammenti di Hydrozoa, Radiolaria, *Colomisphaera* sp., *Calpionella alpina* e *Calpionella elliptica*. (x 35)
 Sezione stratigrafica del Pizzo di Camarda (Gran Sasso d'Italia, Abruzzo).
Biozona a Crassicollaria, Calpionella, Lithocodium aggregatum e Tubiphytes morronensis. Berriasiano.

Fig. 4 – Floatstone bioclastico con frammenti di Echinodermata e Hydrozoa, *Tubiphytes morronensis*, *Calpionella cf. elliptica*. (x 30)
 Sezione stratigrafica del Pizzo di Camarda (Gran Sasso d'Italia, Abruzzo).
Biozona a Crassicollaria, Calpionella, Lithocodium aggregatum e Tubiphytes morronensis. Berriasiano

PLATE XLV

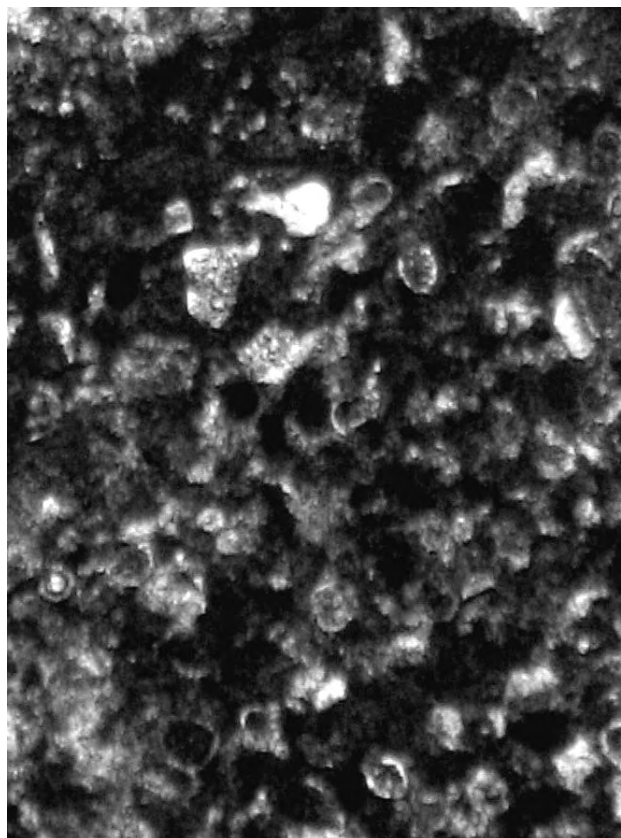
Fig. 1 – Bioclastic floatstone with Echinodermata small fragments, *Tubiphytes morronensis*, *Calpionella alpina*, *Colomisphaera carpathica*. (x 60)
Pizzo Cefalone stratigraphic section (Gran Sasso d'Italia, Abruzzi).
 Crassicollaria, Calpionella, Lithocodium aggregatum and *Tubiphytes morronensis* biozone.
Berriaskan

Fig. 2 – Bioclastic floatstone with Echinodermata and Mollusca fragments, *Tubiphytes morronensis*, *Calpionella alpina*, *Calpionella elliptica*, Radiolaria. (x 45)
Pizzo Cefalone stratigraphic section (Gran Sasso d'Italia, Abruzzi).
 Crassicollaria, Calpionella, Lithocodium aggregatum and *Tubiphytes morronensis* biozone.
Berriaskan

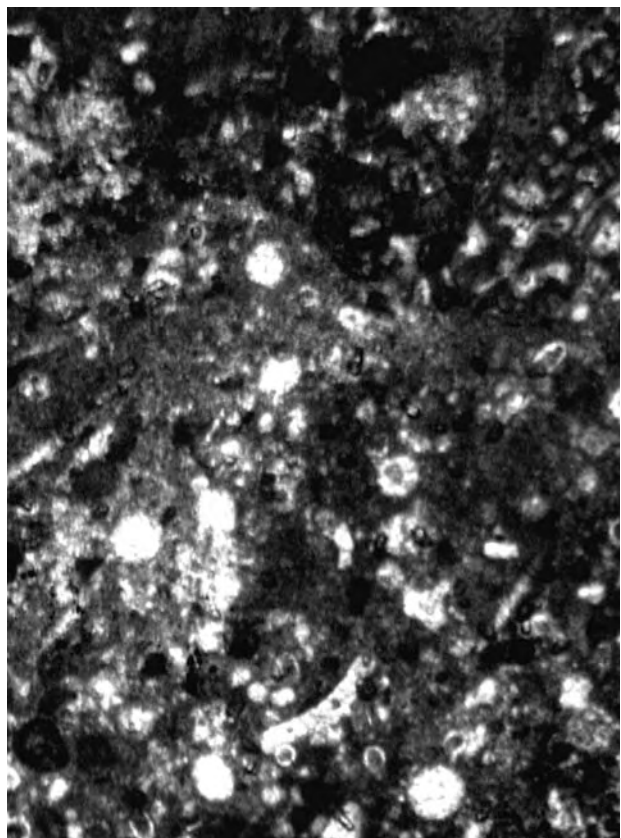
Fig. 3 – Bioclastic floatstone with Hydrozoa fragments, Radiolaria, *Colomisphaera* sp., *Calpionella alpina*, *Calpionella elliptica*. (x 35)
Pizzo di Camarda stratigraphic section (Gran Sasso d'Italia, Abruzzi).
 Crassicollaria, Calpionella, Lithocodium aggregatum and *Tubiphytes morronensis* biozone.
Berriaskan

Fig. 4 – Bioclastic floatstone with Echinodermata and Hydrozoa fragments, *Tubiphytes morronensis*, *Calpionella cf. elliptica*. (x 30)
Pizzo di Camarda stratigraphic section (Gran Sasso d'Italia, Abruzzi).
 Crassicollaria, Calpionella, Lithocodium aggregatum and *Tubiphytes morronensis* biozone.
Berriaskan

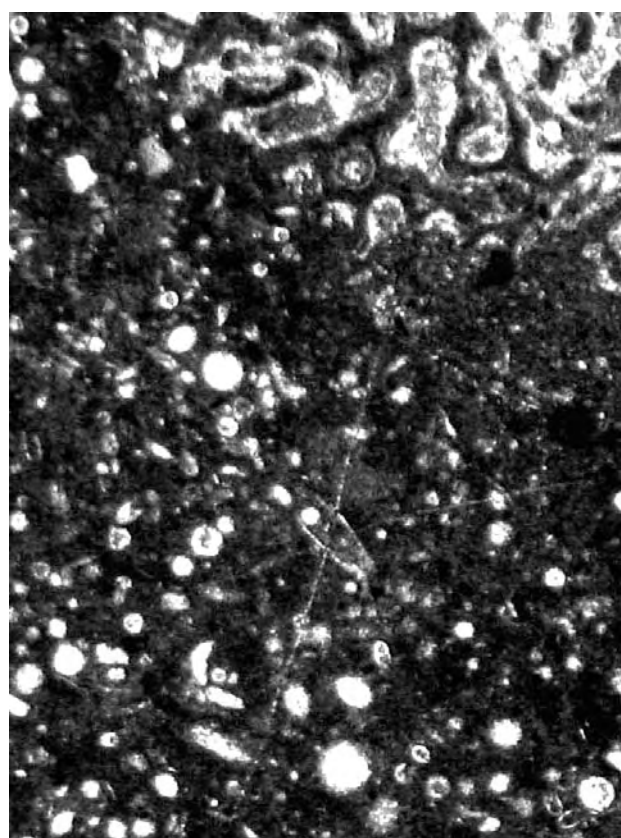
Tavola XLV



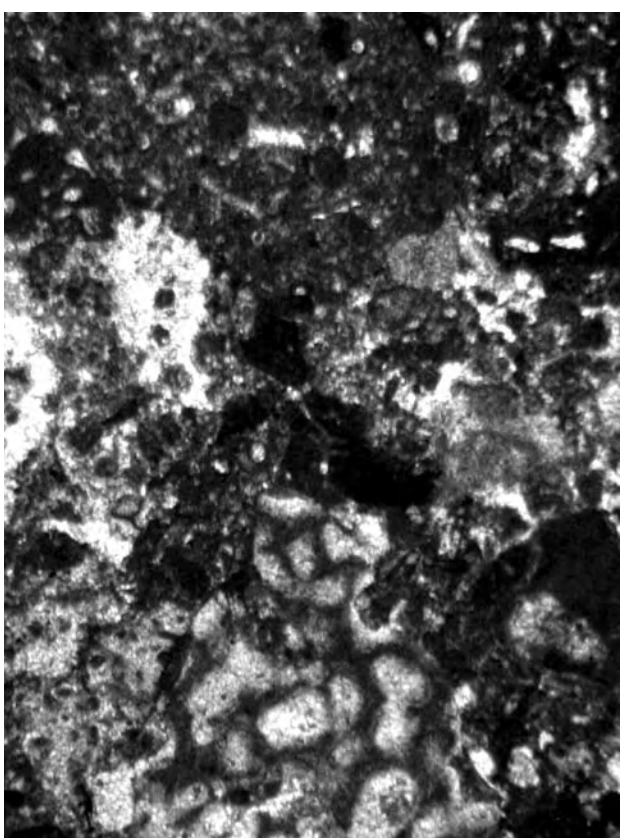
1



2



3



4

TAVOLA XLVI

Fig. 1 – Floatstone bioclastico con frammenti di Echinodermata e Mollusca, *Tintinnopsella carpathica*, *Calpionellopsis oblonga*. (x 35)
 Sezione stratigrafica del Pizzo di Camarda (Gran Sasso d'Italia, Abruzzo).
Biozona a Calpionellopsis, Calpionellites e Lithocodium aggregatum.
 Berriasiano superiore

Fig. 2 – Floatstone bioclastico con frammenti di Echinodermata e Mollusca, *Calpionellopsis oblonga*, *Calpionellopsis simplex*. (x 35)
 Sezione stratigrafica del Pizzo Cefalone (Gran Sasso d'Italia, Abruzzo).
Biozona a Calpionellopsis, Calpionellites e Lithocodium aggregatum.
 Berriasiano superiore

Fig. 3 – Packstone bioclastico con piccoli frammenti di Echinodermata, *Calpionellopsis oblonga*, *Calpionellopsis simplex*, *Calpionella alpina* (piccole forme). (x 35)
 Sezione stratigrafica del Pizzo Cefalone (Gran Sasso d'Italia, Abruzzo).
Biozona a Calpionellopsis, Calpionellites e Lithocodium aggregatum.
 Berriasiano superiore

Fig. 4 – Floatstone bioclastico con frammenti di Echinodermata e Mollusca, *Tubiphytes morronensis*, *Calpionellopsis oblonga*, *Remaniella cadischiana*. (x 35)
 Sezione stratigrafica del Pizzo Cefalone (Gran Sasso d'Italia, Abruzzo).
Biozona a Calpionellopsis, Calpionellites e Lithocodium aggregatum.
 Berriasiano superiore

PLATE XLVI

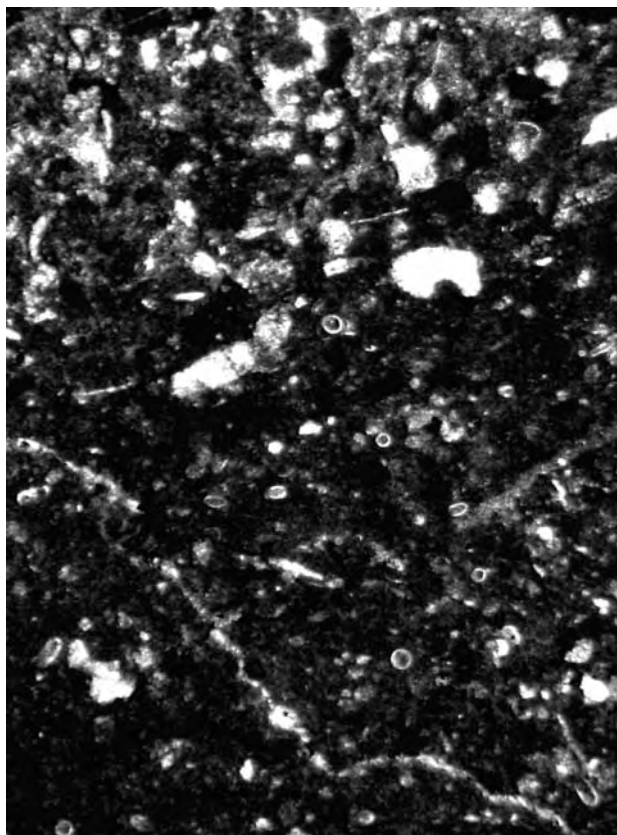
Fig. 1 – Bioclastic floatstone with Echinodermata and Mollusca fragments, *Tintinnopsella carpathica*, *Calpionellopsis oblonga*. (x 35)
Pizzo di Camarda stratigraphic section (Gran Sasso d'Italia, Abruzzi).
Calpionellopsis, Calpionellites and Lithocodium aggregatum biozone.
Upper Berriasian

Fig. 2 – Bioclastic floatstone with Echinodermata and Mollusca fragments, *Calpionellopsis oblonga*, *Calpionellopsis simplex*. (x 35)
Pizzo Cefalone stratigraphic section (Gran Sasso d'Italia, Abruzzi).
Calpionellopsis, Calpionellites and Lithocodium aggregatum biozone.
Upper Berriasian

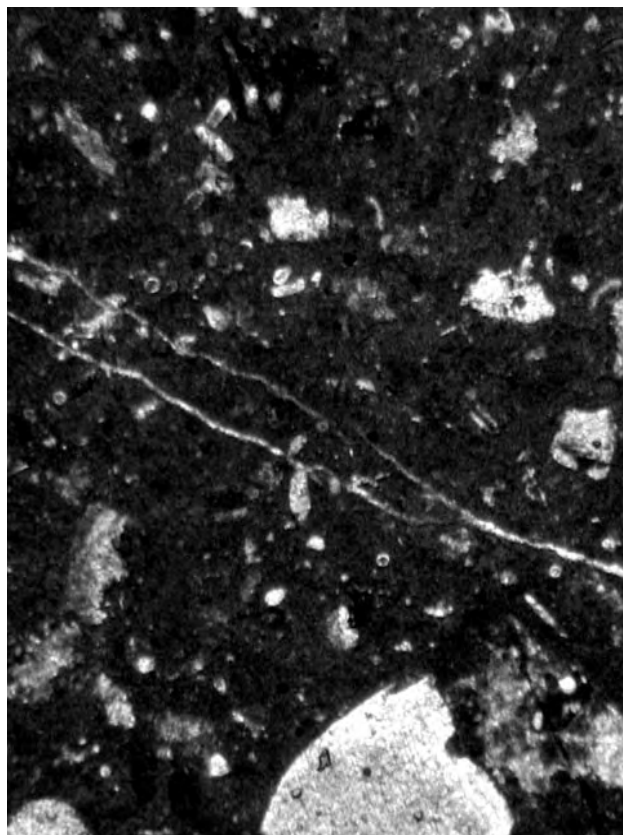
Fig. 3 – Bioclastic packstone with Echinodermata small fragments, *Calpionellopsis oblonga*, *Calpionellopsis simplex*, *Calpionella alpina* (small specimen). (x 35)
Pizzo Cefalone stratigraphic section (Gran Sasso d'Italia, Abruzzi).
Calpionellopsis, Calpionellites and Lithocodium aggregatum biozone.
Upper Berriasian

Fig. 4 – Bioclastic floatstone with Echinodermata and Mollusca fragments, *Tubiphytes morronensis*, *Calpionellopsis oblonga*, *Remaniella cadischiana*. (x 35)
Pizzo Cefalone stratigraphic section (Gran Sasso d'Italia, Abruzzi).
Calpionellopsis, Calpionellites and Lithocodium aggregatum biozone.
Upper Berriasian

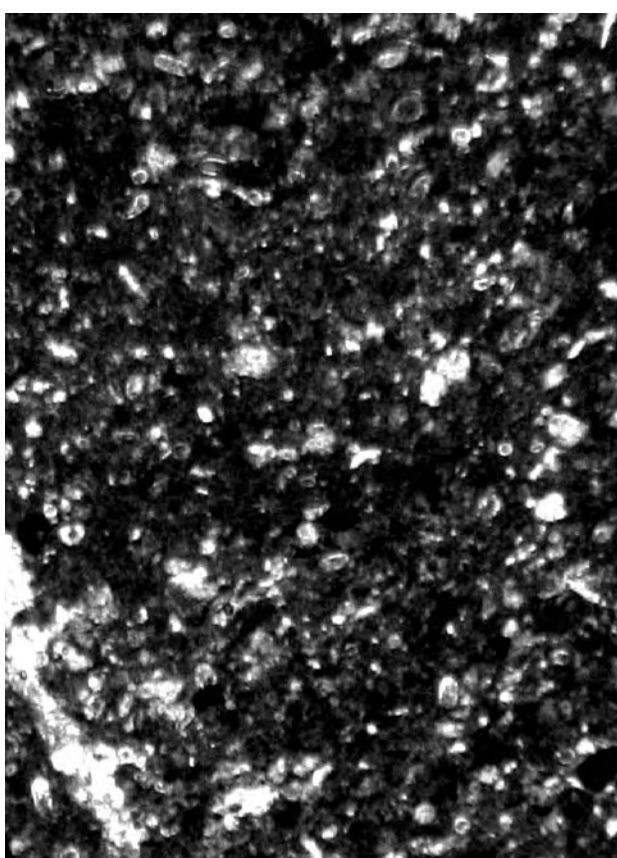
Tavola XLVI



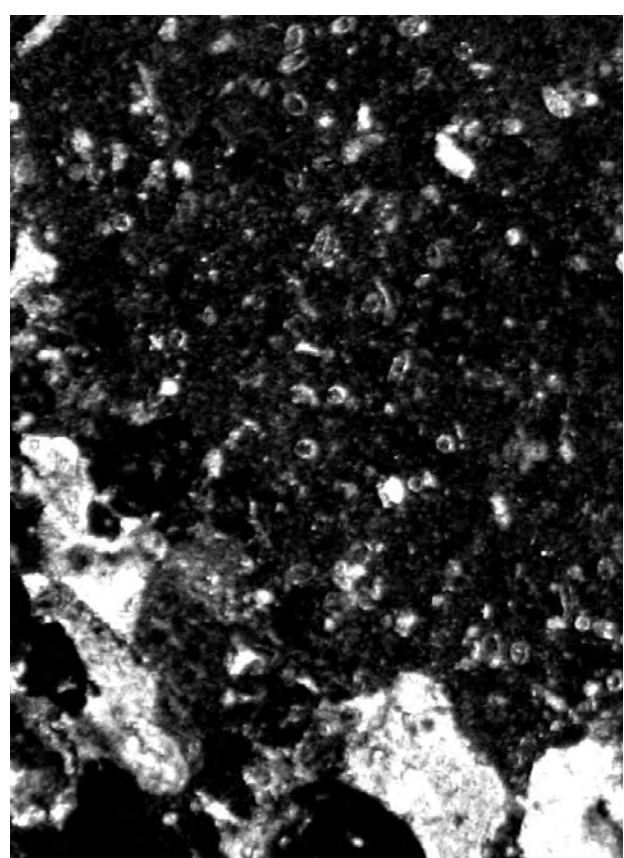
1



2



3



4

TAVOLA XLVII

Fig. 1 – Rudstone bioclastico con frammenti di Echinodermata e Mollusca, *Tubiphytes morronensis*, *Montseicella arabica*, *Gorbachikella kugleri*. (x 70)
 Sezione stratigrafica del Pizzo di Camarda (Gran Sasso d'Italia, Abruzzo)
 Parte iniziale della biozona a *Hedbergella e Lithocodium aggregatum*.
 Barremiano inferiore

Fig. 2 – Rudstone bioclastico con frammenti di Echinodermata e Radiolitidae, *Orbitolina* sp., *Hedbergella similis*. (x 70)
 Sezione stratigrafica del Pizzo Cefalone (Gran Sasso d'Italia, Abruzzo).
 Parte inferiore della biozona a *Hedbergella e Orbitolina*.
 Aptiano inferiore

Fig. 3 – Rudstone bioclastico con frammenti di Radiolitidae e Echinodermata, *Orbitolina (Mesorbitolina)* sp., *Hedbergella planispira*. (x 50)
 Sezione stratigrafica del Pizzo Cefalone (Gran Sasso d'Italia, Abruzzo).
 Biozona a *Hedbergella e Orbitolina*.
 Aptiano inferiore p.p. – Albiano inferiore

Fig. 4 – Rudstone bioclastico con frammenti di Echinodermata e Radiolitidae, *Orbitolina* sp., *Hedbergella rischi*. (x 50)
 Sezione stratigrafica del Monte Cappucciata (Gran Sasso d'Italia, Abruzzo).
 Parte superiore della biozona a *Hedbergella e Orbitolina*.
 Albiano inferiore

PLATE XLVII

Fig. 1 – Bioclastic rudstone with Echinodermata and Mollusca fragments, *Tubiphytes morronensis*, *Montseicella arabica*, *Gorbachikella kugleri*. (x 70)
 Pizzo di Camarda stratigraphic section (Gran Sasso d'Italia, Abruzzi).
 Lower part of the Hedbergella and Lithocodium aggregatum biozone.
 Lower Barremian

Fig. 2 – Bioclastic rudstone with Echinodermata and Radiolitidae fragments, *Orbitolina* sp., *Hedbergella similis*. (x 70)
 Pizzo Cefalone stratigraphic section (Gran Sasso d'Italia, Abruzzi).
 Lower part of the Hedbergella and Orbitolina biozone.
 Lower Aptian

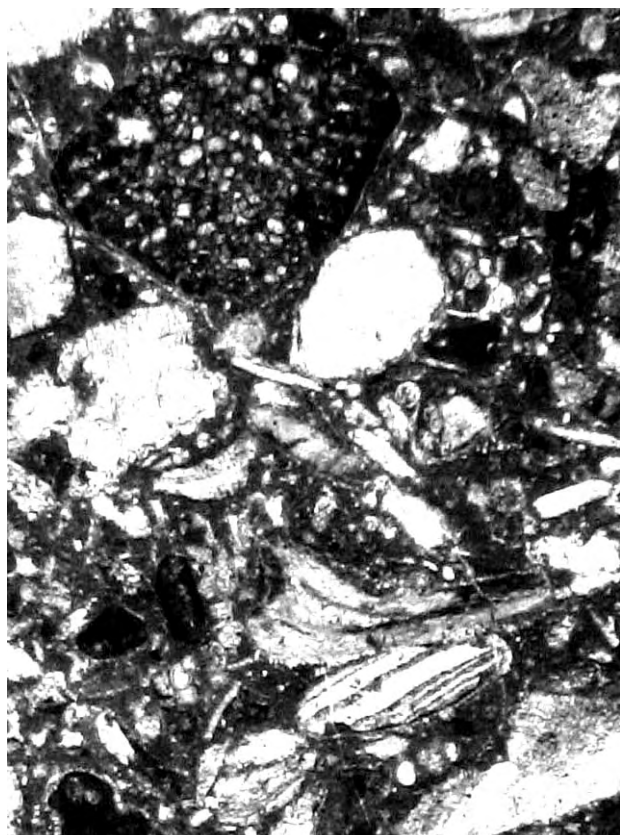
Fig. 3 – Bioclastic rudstone with Radiolitidae and Echinodermata fragments, *Orbitolina (Mesorbitolina)* sp., *Hedbergella planispira*. (x 50)
 Pizzo Cefalone stratigraphic section (Gran Sasso d'Italia, Abruzzi).
 Hedbergella and Orbitolina biozone.
 Lower Aptian p.p. – Lower Albian

Fig. 4 – Bioclastic rudstone with Echinodermata and Radiolitidae fragments, *Orbitolina* sp., *Hedbergella rischi*. (x 50)
 Monte Cappucciata stratigraphic section (Gran Sasso d'Italia, Abruzzi).
 Upper part of the Hedbergella and Orbitolina biozone.
 Lower Albian

Tavola XLVII



1



2



3



4

TAVOLA XLVIII

Fig. 1 – Floatstone bioclastico con frammenti di Radiolitidae e Echinodermata, *Orbitolina (Mesorbitolina) sp.*, *Hedbergella sp.* (x 25)
Sezione stratigrafica del Monte Cappucciata (Gran Sasso d'Italia, Abruzzo).
Biozona a Hedbergella e Orbitolina.
Aptiano – Albiano inferiore

Fig. 2 – Floatstone bioclastico con frammenti di Hippuritaceae e Echinodermata, *Rotalipora appenninica*, *Whiteinella sp.*, *Planomalina buxtorfi*. (x 25)
Sezione stratigrafica di Pizzo Cefalone (Gran Sasso d'Italia, Abruzzo).
Parte inferiore della *Biozona a Rotalipora e Orbitolina.*
Albiano superiore

Fig. 3 – Wackestone bioclastico con frammenti di Hippuritacea e Echinodermata, *Rotalipora appenninica*, *Rotalipora greenhornensis*, *Hedbergella sp.* (x 25)
Sezione stratigrafica del Monte La Meta (Monti della Meta, Abruzzo).
Parte superiore della *Biozona a Rotalipora e Orbitolina.*
Cenomaniano

Fig. 4 – Floatstone bioclastico con frammenti di Hippuritidae e Echinodermata, *Helvetoglobotruncana helvetica*. (x 25)
Sezione stratigrafica del Monte La Meta (Monti della Meta, Abruzzo).
Biozona a Helvetoglobotruncana e Hippuritidae.
Turoniano inferiore

PLATE XLVIII

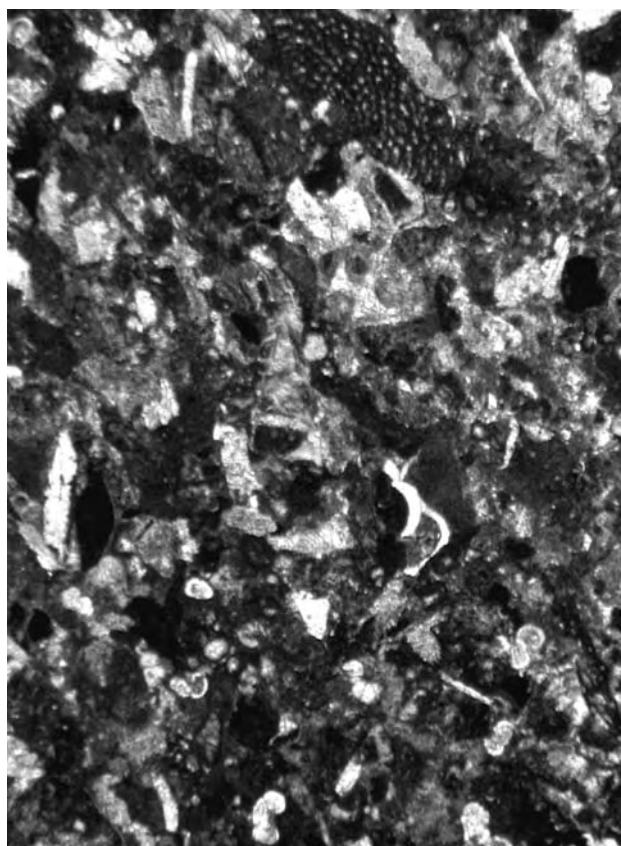
Fig. 1 – Bioclastic floatstone with Radiolitidae and Echinodermata fragments,
Orbitolina (Mesorbitolina) sp., *Hedbergella sp.* (x 25)
Monte Cappucciata stratigraphic section (Gran Sasso d'Italia, Abruzzi).
Hedbergella and Orbitolina biozone.
Aptian – Lower Albian

Fig. 2 – Bioclastic Floatstone with Hippuritacea and Echinodermata fragments, *Rotalipora appenninica*, *Whiteinella sp.*, *Planomalina buxtorfi*. (x 25)
Pizzo Cefalone stratigraphic section (Gran Sasso d'Italia, Abruzzi).
Lower part of the Rotalipora and Orbitolina biozone.
Upper Albian

Fig. 3 – Bioclastic wackestone with Hippuritacea and Echinodermata fragments, *Rotalipora appenninica*, *Rotalipora greenhornensis*, *Hedbergella sp.* (x 25)
Monte La Meta stratigraphic section (Meta Mts., Abruzzi).
Upper part of the Rotalipora and Orbitolina biozone.
Cenomanian

Fig. 4 – Bioclastic floatstone with Hippuritidae and Echinodermata fragments,
Helvetoglobotruncana helvetica. (x 25)
Monte La Meta stratigraphic section (Meta Mts., Abruzzi).
Helvetoglobotruncana and Hippuritidae biozone.
Lower Turonian

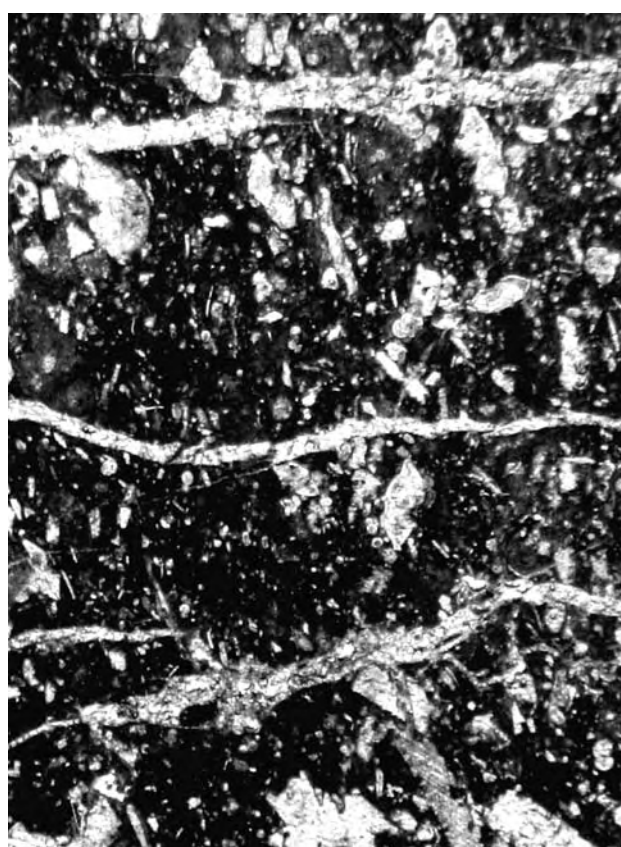
Tavola XLVIII



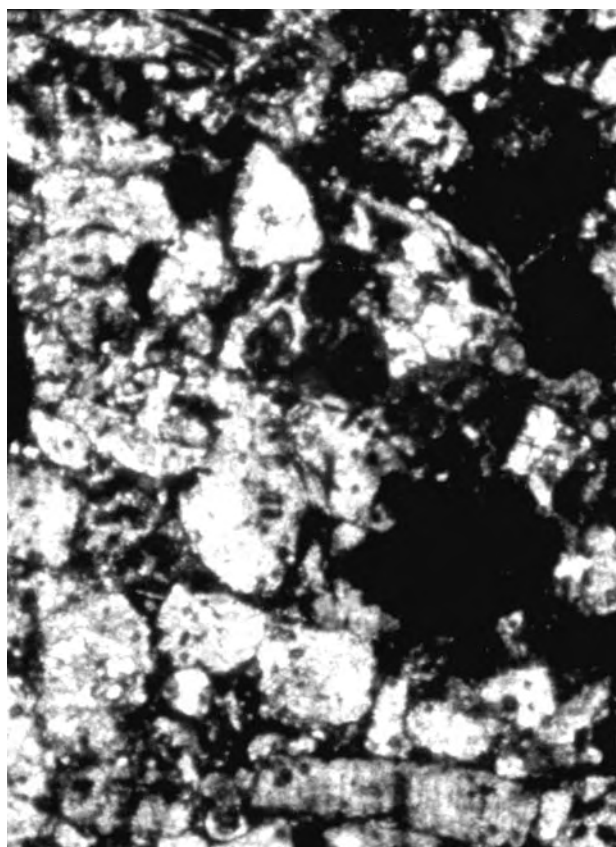
1



2



3



4

TAVOLA XLIX

Fig. 1 – Wackestone bioclastico con frammenti di Hippuritidae e Echinodermata, *Marginotruncana coronata*, *Marginotruncana pseudolinneiana*, *Dicarinella concavata*. (x 50) Sezione stratigrafica di Campo Imperatore (Gran Sasso d'Italia, Abruzzo). *Biozona a Marginotruncana e Hippuritidae*. Turoniano superiore – Coniaciano inferiore

Fig. 2 – Floatstone bioclastico con frammenti di Hippuritidae e Echinodermata, *Dicarinella primitiva*, *Marginotruncana pseudolinneiana*. (x 30) Sezione stratigrafica di Campo Imperatore (Gran Sasso d'Italia, Abruzzo) *Biozona a Marginotruncana e Hippuritidae*. Turoniano superiore – Coniaciano inferiore

Fig. 3 – Floatstone bioclastico con frammenti di Hippuritidae e Echinodermata, *Marginotruncana coronata*, *Marginotruncana tarfayaensis* e *Dicarinella primitiva*. (x 25) Sezione stratigrafica del Monte Cappucciata (Gran Sasso d'Italia, Abruzzo). *Biozona a Marginotruncana e Hippuritidae*. Turoniano superiore - Coniaciano inferiore

Fig. 4 – Floatstone bioclastico con frammenti di Echinodermata e Hippuritidae, *Marginotruncana schneegansi*. (x 50) Sezione stratigrafica del Monte Cappucciata (Gran Sasso d'Italia, Abruzzo). Parte superiore della *Biozona a Marginotruncana e Hippuritidae*. Coniaciano inferiore

PLATE XLIX

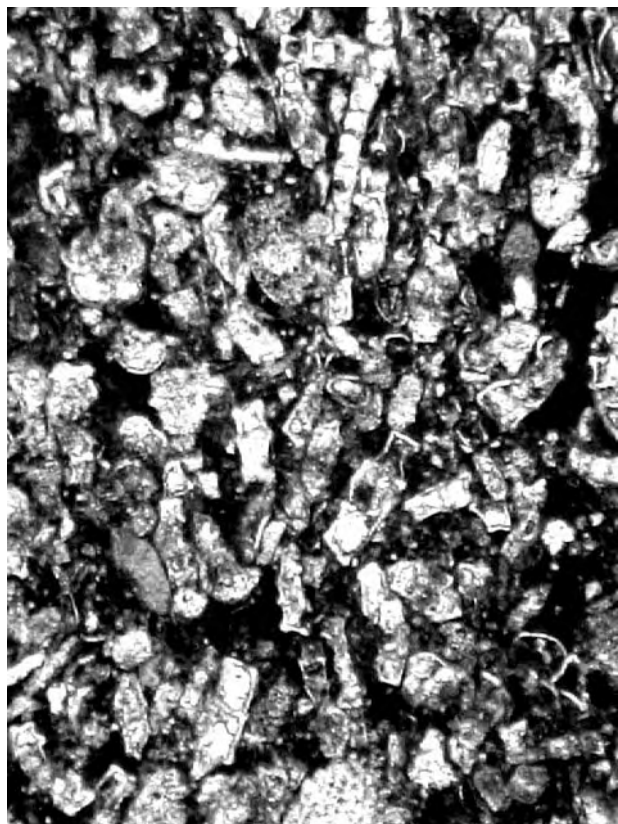
Fig. 1 – Bioclastic wackestone with Hippuritidae and Echinodermata fragments, *Marginotruncana coronata*, *Marginotruncana pseudolinneiana*, *Dicarinella concavata*. (50) *Campo Imperatore stratigraphic section (Gran Sasso d'Italia, Abruzzi)*. Marginotruncana and Hippuritidae biozone. *Upper Turonian – Lower Coniacian*

Fig. 2 – Bioclastic floatstone with Hippuritidae and Echinodermata fragments, *Dicarinella primitiva*, *Marginotruncana pseudolinneiana*. (x 30) *Campo Imperatore stratigraphic section (Gran Sasso d'Italia, Abruzzi)*. Marginotruncana and Hippuritidae biozone. *Upper Turonian – Lower Coniacian*

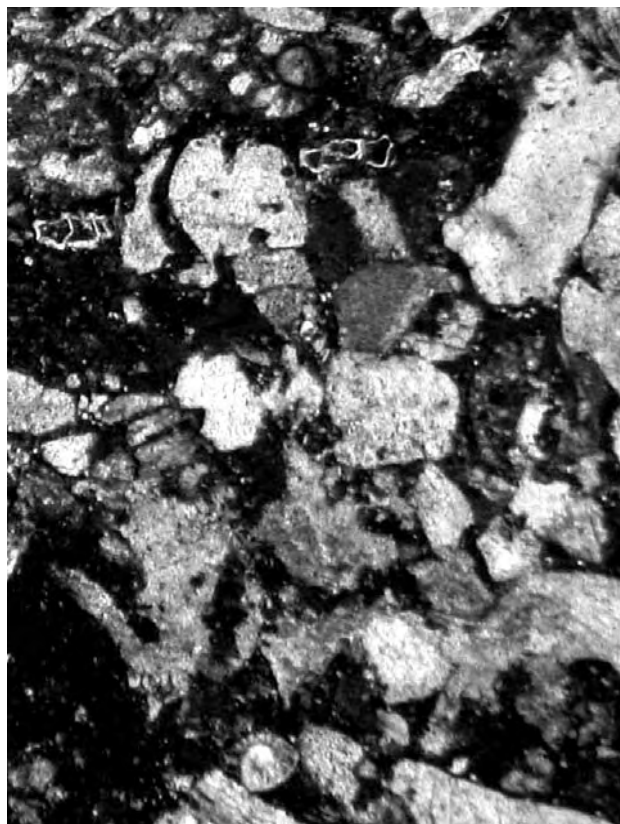
Fig. 3 – Bioclastic floatstone with Hippuritidae and Echinodermata fragments, *Marginotruncana coronata*, *Marginotruncana tarfayaensis*, *Dicarinella primitiva*. (x 25) *Monte Cappucciata stratigraphic section (Gran Sasso d'Italia, Abruzzi)*. Marginotruncana and Hippuritidae biozone. *Upper Turonian – Lower Coniacian*

Fig. 4 – Bioclastic floatstone with Echinodermata and Hippuritidae fragments, *Marginotruncana schneegansi*. (x 50) *Monte Cappucciata stratigraphic section (Gran Sasso d'Italia, Abruzzi)*. Upper part of the Marginotruncana and Hippuritidae biozone. *Lower Coniacian*

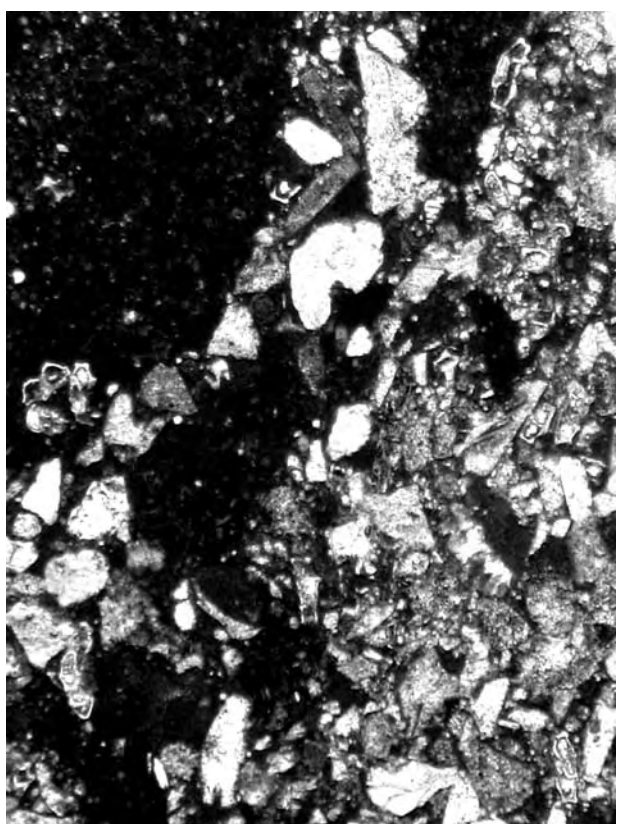
Tavola XLIX



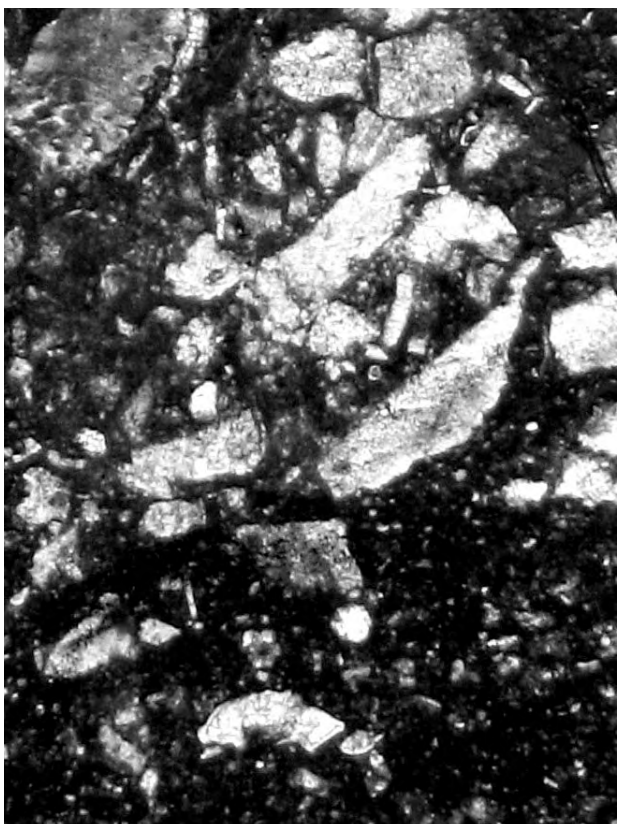
1



2



3



4

TAVOLA L

Fig. 1 – Wackestone bioclastico con piccoli frammenti di Hippuritacea e Echinodermata, *Marginotruncana pseudolinneiana*, *Marginotruncana schneegansi*, *Marginotruncana coronata*. (x 25) Sezione stratigrafica di Campo Imperatore Gran Sasso d'Italia, Abruzzo). Parte superiore della biozona a *Marginotruncana* e *Hippuritidae*. Coniaciano inferiore

Fig. 2 – Floatstone bioclastico con frammenti di Hippuritidae e Echinodermata, *Globotruncana linneiana*, *Contusotruncana fornicata*. (x 30) Sezione stratigrafica del Monte Cappucciata (Gran Sasso d'Italia, Abruzzo). Parte superiore della biozona a *Globotruncana* e *Hippuritidae*. Santoniano inferiore

Fig. 3 – Floatstone bioclastico con frammenti di Hippuritidae e Echinodermata, *Globotruncanita stuartiformis*, *Globotruncana arca*, *Globotruncana linneiana*. (x 30) Sezione stratigrafica del Monte Cappucciata (Gran Sasso d'Italia, Abruzzo). Biozona a *Globotruncanita* e *Hippuritidae*. Santoniano superiore – Campaniano inferiore

Fig. 4 – Floatstone bioclastico con frammenti di Hippuritidae e Echinodermata, *Globotruncanita elevata*. (x 50) Sezione stratigrafica del Monte Cappucciata (Gran Sasso d'Italia, Abruzzo). Parte superiore della biozona a *Globotruncanita* e *Hippuritidae*. Campaniano inferiore

PLATE L

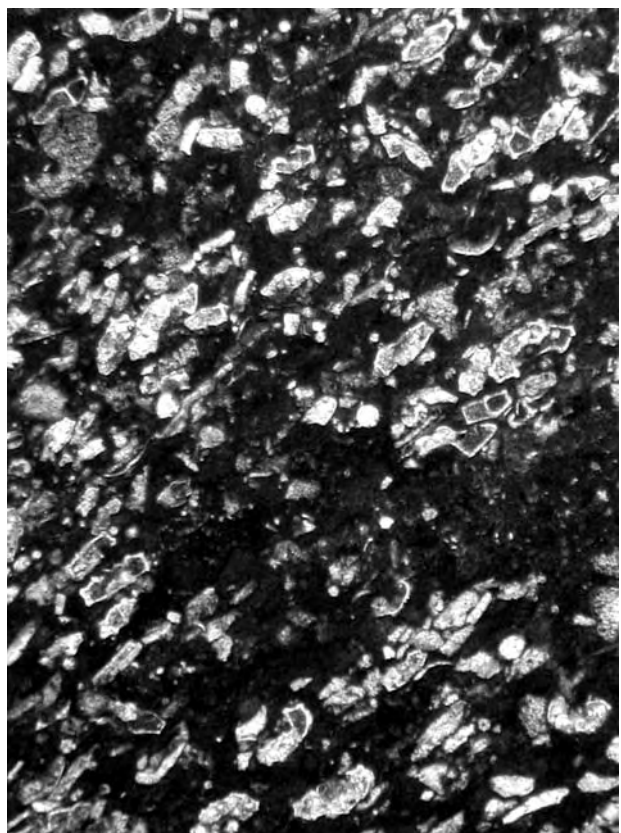
Fig. 1 – Bioclastic wackestone with Hippuritacea and Echinodermata small fragments, *Marginotruncana pseudolinneiana*, *Marginotruncana schneegansi*, *Marginotruncana coronata*. (x 25) Campo Imperatore stratigraphic section (Gran Sasso d'Italia, Abruzzo). Upper part of the Marginotruncana and Hippuritidae biozone. Lower Coniacian

Fig. 2 – Bioclastic floatstone with Hippuritidae and Echinodermata fragments, *Globotruncana linneiana*, *Contusotruncana fornicata*. (x 30) Monte Cappucciata stratigraphic section (Gran Sasso d'Italia, Abruzzo). Upper part of the Globotruncana and Hippuritidae biozone. Lower Santonian

Fig. 3 – Bioclastic floatstone with Hippuritidae and Echinodermata fragments, *Globotruncanita stuartiformis*, *Globotruncana arca*, *Globotruncana linneiana*. (x 30) Monte Cappucciata stratigraphic section (Gran Sasso d'Italia, Abruzzo). Globotruncanita and Hippuritidae biozone. Upper Santonian – Lower Campanian

Fig. 4 – Bioclastic floatstone with Hippuritidae and Echinodermata fragments, *Globotruncanita elevata*. (x 50) Monte Cappucciata stratigraphic section (Gran Sasso d'Italia, Abruzzo). Upper part of the Globotruncanita and Hippuritidae biozone. Lower Campanian

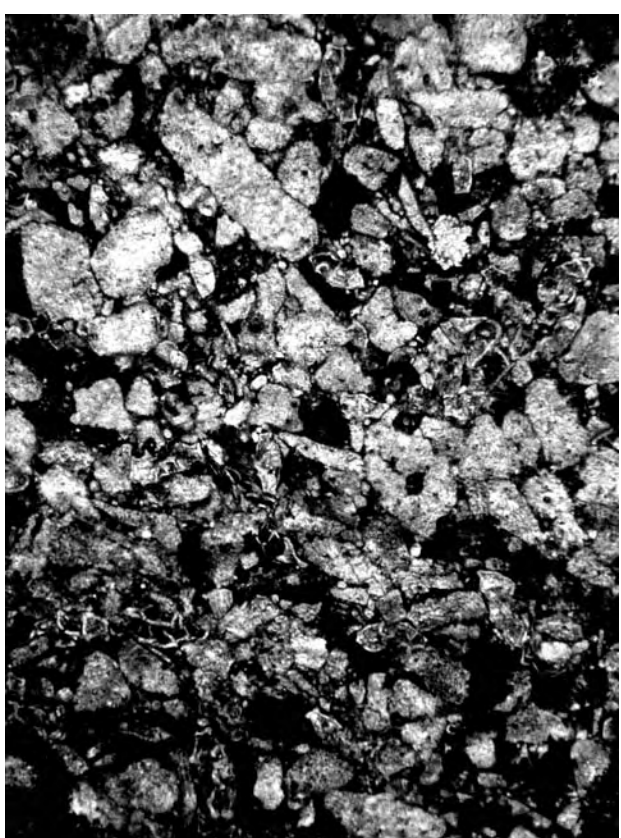
Tavola L



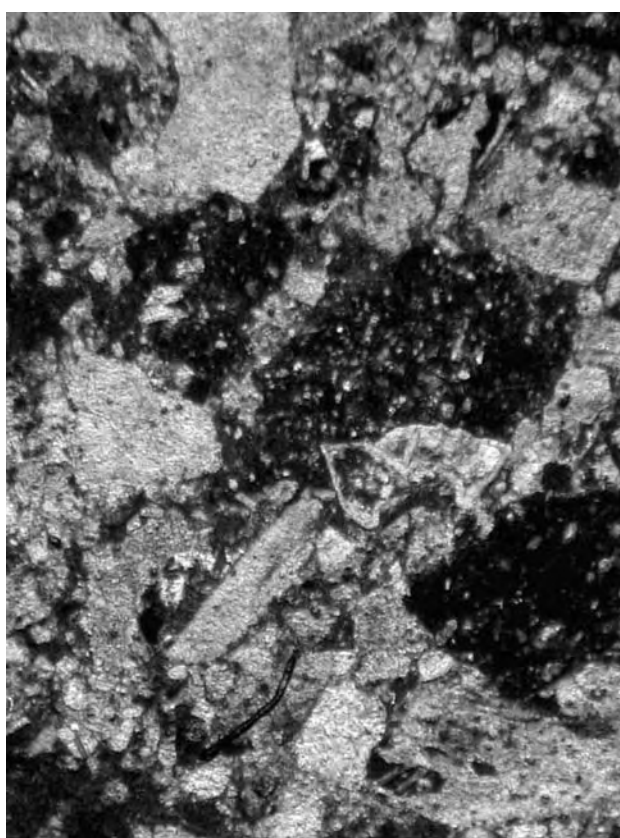
1



2



3



4

TAVOLA LI

Fig. 1 – Wackestone bioclastico con piccoli frammenti di Hippuritacea e Echinodermata, *Globotruncana bulloides*, *Globotruncana linneiana*, *Globotruncanita elevata*, *Globotruncanita stuartiformis*. (x 35) Sezione stratigrafica di Campo Imperatore (Gran Sasso d'Italia, Abruzzo). Parte superiore della biozona a *Globotruncanita* e *Hippuritidae*. Campaniano inferiore

Fig. 2 – Wackestone bioclastico con frammenti di Hippuritidae e Echinodermata, *Globotruncanita elevata*, *Contusotruncana fornicata*. (x 35) Sezione stratigrafica di Campo Imperatore (Gran Sasso d'Italia, Abruzzo). Parte superiore della biozona a *Globotruncanita* e *Hippuritidae*. Campaniano inferiore

Fig. 3 – Wackestone bioclastico con frammenti di Hippuritidae e Echinodermata, *Globotruncanita stuartiformis*, *Goupillaudina daguini*. (x 35) Sezione stratigrafica di Campo Imperatore (Gran Sasso d'Italia, Abruzzo). Parte inferiore della biozona a *Globotruncana*, *Globotruncanita* e *Orbitoides*. Campaniano superiore

Fig. 4 – Wackestone bioclastico con frammenti di Hippuritidae e Echinodermata, *Globotruncana linneiana*, *Globotruncana bulloides*, *Globotruncana ventricosa*. (x 40) Sezione stratigrafica del Monte Cappucciata (Gran Sasso d'Italia, Abruzzo). Biozona a *Globotruncana*, *Globotruncanita* e *Orbitoides*. Campaniano superiore – Maastrichtiano

PLATE LI

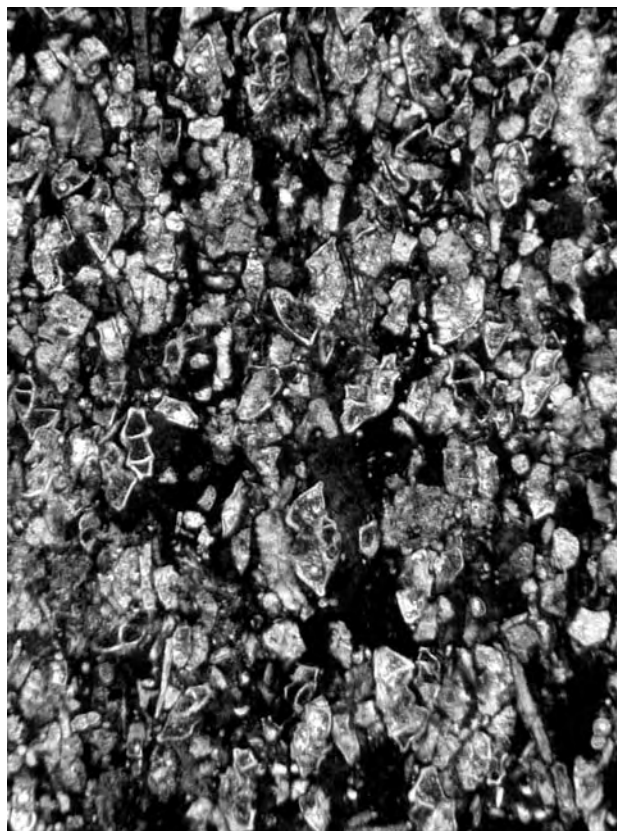
Fig. 1 – Bioclastic wackestone with Hippuritacea and Echinodermata small fragments, *Globotruncana bulloides*, *Globotruncana linneiana*, *Globotruncanita elevata*, *Globotruncanita stuartiformis*. (x 35) Campo Imperatore stratigraphic section (Gran Sasso d'Italia, Abruzzi). Upper part of the Globotruncanita and Hippuritidae biozone. Lower Campanian

Fig. 2 – Bioclastic wackestone with Hippuritidae and Echinodermata fragments, *Globotruncanita elevata*, *Contusotruncana fornicata*. (x 35) Campo Imperatore stratigraphic section (Gran Sasso d'Italia, Abruzzi). Upper part of the Globotruncanita and Hippuritidae biozone. Lower Campanian

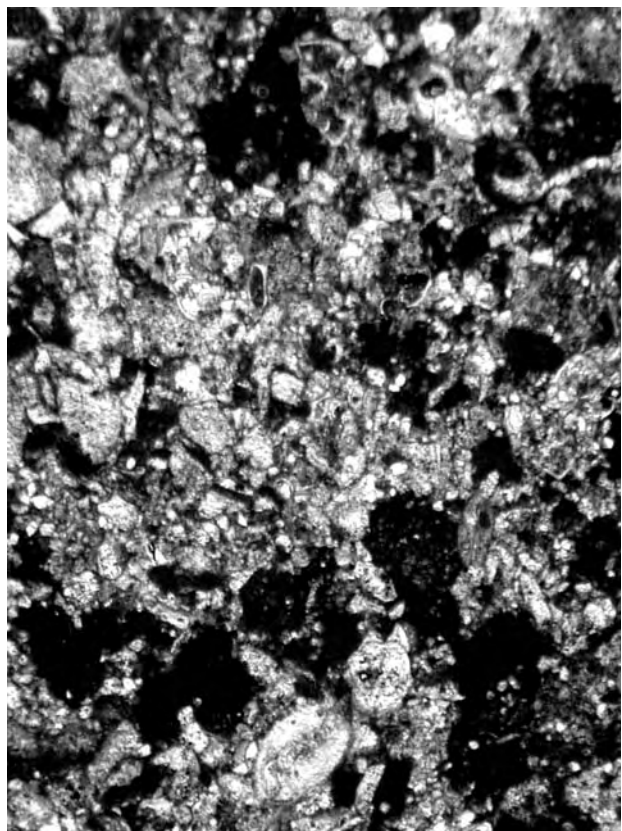
Fig. 3 – Bioclastic wackestone with Hippuritidae and Echinodermata fragments, *Globotruncanita stuartiformis*, *Goupillaudina daguini*. (x 35) Campo Imperatore stratigraphic section (Gran Sasso d'Italia, Abruzzi). Lower part of the Globotruncana, Globotruncanita and Orbitoides biozone. Upper Campanian

Fig. 4 – Bioclastic wackestone with Hippuritidae and Echinodermata fragments, *Globotruncana linneiana*, *Globotruncana bulloides*, *Globotruncana ventricosa*. (x 40) Monte Cappucciata stratigraphic section (Gran Sasso d'Italia, Abruzzi). Globotruncana, Globotruncanita and Orbitoides biozone. Upper Campanian - Maastrichtian

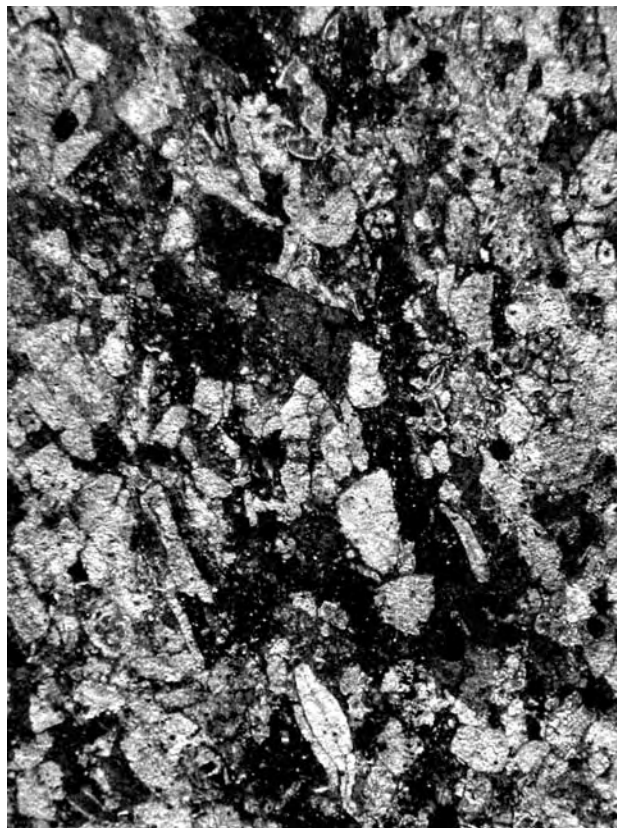
Tavola LI



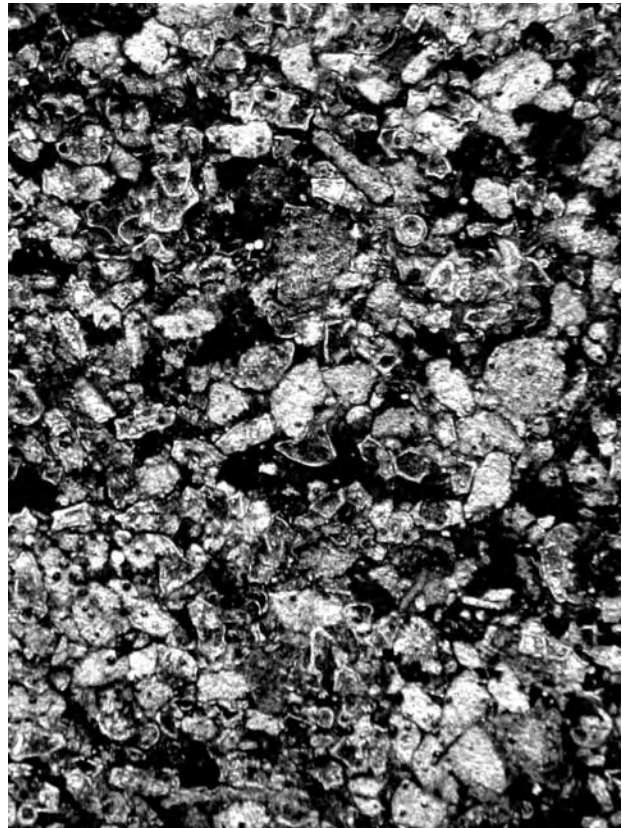
1



2



3



4

TAVOLA LII

Fig. 1 – Floatstone bioclastico mal classato con frammenti di Hippuritacea, *Orbitoides* sp., *Globotruncanita stuarti*, *Globotruncanita conica*. (x 15)

Sezione stratigrafica del Monte Cappucciata (Gran Sasso d'Italia, Abruzzo).

Biozona a Globotruncana, Globotruncanita e Orbitoides.

Campaniano superiore – Maastrichtiano

Fig. 2 – Floatstone bioclastico con frammenti di Hippuritidae, *Loftusia* sp., *Globotruncana rosetta*. (x 15)

Sezione stratigrafica del Monte Cappucciata (Gran Sasso d'Italia, Abruzzo).

Parte superiore della *biozona a Globotruncana, Globotruncanita e Orbitoides.*

Maastrichtiano

Fig. 3 – Floatstone bioclastico con frammenti di Hippuritidae e Echinodermata, *Contusotruncana gr. contusa*. (x 30)

Sezione stratigrafica del Monte Cappucciata (Gran Sasso d'Italia, Abruzzo).

Parte superiore della *biozona a Globotruncana, Globotruncanita e Orbitoides.*

Maastrichtiano

Fig. 4 – Rudstone bioclastico con frammenti di Hippuritidae, Echinodermata e Globotruncanidae, *Orbitoides* sp., *Siderolites calcitrapoides*. (x 15)

Sezione stratigrafica del Monte Tartaro (Monti della Meta, Abruzzo).

Parte superiore della *biozona a Globotruncana, Globotruncanita e Orbitoides.*

Maastrichtiano

PLATE LII

Fig. 1 – Well sorted bioclastic floatstone with Hippuritacea fragments, *Orbitoides* sp., *Globotruncanita stuarti*, *Globotruncanita conica*. (x 15)

Monte Cappucciata stratigraphic section (Gran Sasso d'Italia, Abruzzi).

Globotruncana, Globotruncanita and Orbitoides biozone.

Upper Campanian - Maastrichtian

Fig. 2 – Bioclastic floatstone with Hippuritidae fragments, *Loftusia* sp., *Globotruncana rosetta*. (x 15)

Monte Cappucciata stratigraphic section (Gran Sasso d'Italia, Abruzzi).

Upper part of the Globotruncana, Globotruncanita and Orbitoides biozone.

Maastrichtian

Fig. 3 – Bioclastic floatstone with Hippuritidae and Echinodermata fragments, *Contusotruncana gr. contusa*. (x 30)

Monte Cappucciata stratigraphic section (Gran Sasso d'Italia, Abruzzi).

Upper part of the Globotruncana, Globotruncanita and Orbitoides biozone.

Maastrichtian

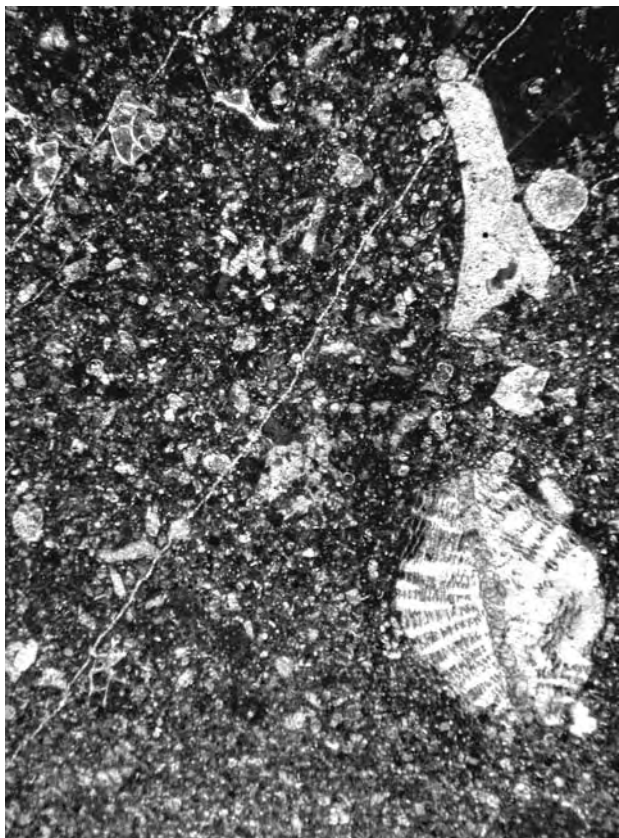
Fig. 4 – Bioclastic rudstone with Hippuritidae, Echinodermata and Globotruncanidae fragments, *Orbitoides* sp., *Siderolites calcitrapoides*. (x 15)

Monte Tartaro stratigraphic section (Meta Mts., Abruzzi).

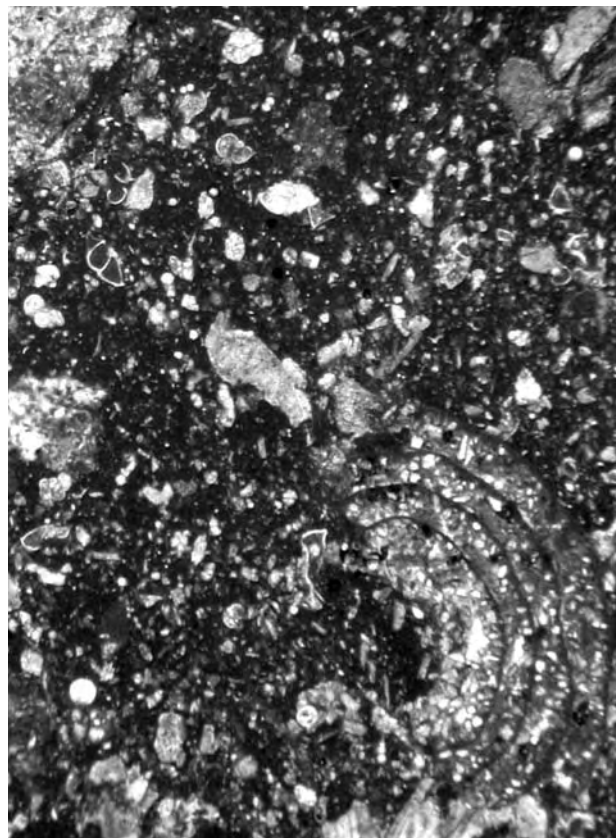
Upper part of the Globotruncana, Globotruncanita and Orbitoides biozone.

Maastrichtian

Tavola LII



1



2



3



4